

В. А. ВИТЕНКО, Б. П. КАБЫШЕВ

ЗАКОНОМЕРНОСТИ
СТРОЕНИЯ
И ФОРМИРОВАНИЯ
ТЕКТОНИЧЕСКИХ
ЭКРАНИРОВАННЫХ
ЗАЛЕЖЕЙ
НЕФТИ И ГАЗА



МИНИСТЕРСТВО ГЕОЛОГИИ УССР
УКРАИНСКИЙ НАУЧНО-ИССЛЕДОВАТЕЛЬСКИЙ ГЕОЛОГОРАЗВЕДОЧНЫЙ
ИНСТИТУТ
(УкрНИГРИ)

ТРУДЫ

ВЫПУСК ХХVIII

В.А. ВИТЕНКО, Б.П. КАБЫШЕВ

ЗАКОНОМЕРНОСТИ СТРОЕНИЯ И ФОРМИРОВАНИЯ
ТЕКТОНИЧЕСКИ ЭКРАНИРОВАННЫХ ЗАЛЕЖЕЙ
НЕФТИ И ГАЗА

Издательство Львовского университета
1971

В работе анализируются месторождения нефти и газа в ловушках тектонически экранированного типа, расположенные на моноклиналях и в мезантклинальных зонах, непосредственно не связанные с локальными положительными структурами. Объектом анализа являются конкретные месторождения, развитые в различных нефтегазоносных регионах мира: владины Галф Кост, Восточновенесуэльская, Сан-Хоакин, Венская, Магдаленская, Иллинойская, грабены Рейн-ский, Судэцкий и др. Подробно освещается строение многих месторождений, история и характер формирования экранирующих залежей сбросов. Описываются установленные общие закономерности строения залежей тектонически экранированного типа в зависимости от различных факторов. Даётся классификация тектонически экранированных ловушек, а также рассматриваются некоторые вопросы методики поисков месторождений нефти и газа с залежами этого типа.

Высказаны рекомендации по поискам тектонически экранированных залежей в Днепровско-Донецкой владине и других регионах Советского Союза.

В заключение рассмотрены некоторые вопросы формирования месторождений с тектонически экранированными залежами.

Работа рассчитана на широкий круг геологов, занимающихся вопросами поисков и разведки залежей нефти и газа, а также их формирования.

Редакционный совет:

Канд. геол.-минер. наук В.А. Витенко (председатель), канд. геол.-минер. наук С.С. Восанчук (ст. секретарь), инженер В.И. Герц, канд. геол.-минер. наук Т.С. Изотова, канд. геол.-минер. наук С.С. Круглов (зам. председателя), канд. геол.-минер. наук И.Н. Лихоманова, канд. геол.-минер. наук Я.А. Пиличи, канд. геол.-минер. наук Л.С. Пиманова, канд. техн. наук М.И. Червонский, канд. хим. наук Е.Ф. Невченко.

ВВЕДЕНИЕ

Объектом настоящего исследования являются месторождения нефти и газа с залежами в ловушках тектонически экранированного типа, расположенные на моноклиналях и непосредственно не связанные с локальными положительными структурами. Ловушки на таких месторождениях образованы сбросом в сочетании с различными структурными осложнениями (структурные носы и др.) или несколькими сбросами. Эти месторождения в общем балансе нефтяных и газовых месторождений мира занимают подчиненное положение (по количеству и по запасам) сравнительно со структурными сводовыми, стратиграфически и литологически экранированными, хотя в ряде регионов и имеют большое распространение. На территории Советского Союза пока известны единичные примеры таких месторождений, чем, видимо, обусловлено незначительное внимание, уделяемое им, и, соответственно, малочисленность публикаций на эту тему. Во всяком случае ни в зарубежной, ни в отечественной литературе нет обобщающей работы, посвященной анализу месторождений с тектонически экранированными залежами на моноклиналях, подобно сводкам по стратиграфическим и литологическим залежам.

Значение месторождений с залежами в тектонически экранированных ловушках на моноклиналих весьма велико как в практическом, так и в теоретическом отношении. Они известны во многих нефтегазонесущих провинциях мира, причем в некоторых из них на их долю приходится большая или подавляющая часть запасов нефти и газа (Восточно-новенесуэльский и Венский бассейны, провинция Галф Кост и др.). Во многих регионах Советского Союза имеются благоприятные геологические предпосылки для обнаружения таких месторождений. Особенно актуальной является организация поисков их в освоенных районах, где фонд еще не разведенных антиклинальных структур на малых и средних глубинах исчерпывается, как, например, в Днепровско-Донецкой впадине. В теоретическом отношении анализ тектони-

чески экранированных залежей на моноклиналях даст возможность выявить новые важные закономерности условий формирования нефтяных и газовых месторождений вообще.

Месторождения с залежами в тектонически экранированных ловушках на моноклиналях характеризуются рядом специфических особенностей строения, распространения и условий формирования даже по сравнению с тектонически экранированными залежами в сводовых и присводовых частях локальных положительных структур. Главное различие состоит в том, что на моноклиналях сброс является основным фактором образования ловушки и если его в какой-то период времени еще не существовало, то значит не было и ловушки, а следовательно, не могло быть и данной залежи углеводородов. В других условиях находятся тектонически экранированные залежи на локальных поднятиях. Здесь они могли сформироваться раньше появления сброса, но быть сводовыми, не нарушенными и лишь позднее превратиться в тектонически экранированные. Это сужает определение возрастных границ образования залежей углеводородов в ловушках тектонически экранированного типа на моноклиналях по сравнению с таковыми на локальных поднятиях и позволяет делать более обоснованные выводы по данному вопросу.

Для поисков тектонически экранированных залежей на моноклиналях требуется применение и специфических методических приемов по сравнению с поисками сводовых нарушенных залежей. В последнем случае выбор методики обуславливается необходимостью выявления локальных положительных структур, а в первом случае – сбросов.

Изложенное выше стимулирует проведение целенаправленного исследования строения и условий формирования месторождений нефти и газа с залежами в ловушках тектонически экранированного типа на моноклиналях. В работе излагаются результаты анализа данных по 150 таким месторождениям, распространенным в 14 регионах мира (владины Гадф Кост, Восточновенесуэльская, Сан-Хоакин, Венская, Магдаленская, Иллинской, Гифхорн, Днепровско-Донецкая, грабены Реканково, Рейнский, Суэций, остров Тринидад, бассейны Неукен и Прибрежной низменности в Перу, Среднеевропейский). Материалом для исследования послужили публикации, большей частью в зарубежной печати, о строении конкретных месторождений. Определены критерии перспективности поисков тектонически экранированных залежей нефти и газа вне пределов локальных поднятий в нефтегазоносных регионах Советского Союза. В частности, на основе фактического геологического материала сделан анализ перспективности поисков тектонически экранированных залежей в Днепровско-Донецкой впадине.

I. МЕСТОРОЖДЕНИЯ С ТЕКТОНИЧЕСКИ ЭКРАНИРОВАННЫМИ ЗАЛЕЖАМИ НЕФТИ И ГАЗА ЗА РУБЕКОМ

ВОСТОЧНОВЕНЕСУЭЛЬСКИЙ БАССЕЙН

В тектоническом отношении Восточновенесуэльский (Оринокский) бассейн представляет собой предгорный прогиб складчатого сооружения Анд. Он занимает северо-восточную часть Венесуэлы (рис. I). Северной границей бассейна является хребет Серрания дель Интериор (восточная широтная ветвь Анд), сложенный меловыми и в меньшей степени палеогеновыми образованиями. Последние прорваны интрузиями. Южной границей бассейна является Гвианская щит, сложенный до-камбрийскими породами. На востоке бассейн открывается в Атлантический океан, а на западе выступом Эль-Бауль отделяется от Западновенесуэльского (Маракайбского) бассейна.

Восточновенесуэльский бассейн вытянут в субширотном направлении и имеет размеры 700 x 220 км. Зоной поднятий Б.Анако он разделяется на две впадины: на западе - Гуарико и на востоке - Матурин. Бассейн выполнен толщей меловых, третичных и антропогенных отложений, несогласно залегающих на домовом (от докембрия до юры) фундаменте. Максимальные мощности осадков развиты на северном геосинклинальном склоне: мела до 8000 м, палеоген-неогена - до 12000 м. На краю южного платформенного склона бассейна мощность осадочного чехла уменьшается до 1000-2000 м. Отложения мела, палеогена и неогена представлены преимущественно терригенными породами прибрежно-морского, лагунного и континентального происхождения.

Все нефтегазовые месторождения рассматриваемого региона связаны в основном с палеогеновыми отложениями и расположены на южном платформенном и северном складчатом бортах бассейна. Интересующие нас залежи в тектонически экранированных ловушках на моноклиналях распространены на южном борту. Последний представляет собой весьма пологую моноклиналль, наклоненную под углом 2-4° к северу. Кроме некоторых поперечных структурных поднятий (например, Б.Анако) и незначительных депрессий, эта моноклиналль лишена пликативных дислокаций слоев. Зато она интенсивно нарушена сбросами. Среди последних выделяются две основные группы:

I. Крупные продольные сбросы, вытянутые вдоль простирания борта (в основном в субширотном направлении). Среди них имеются как

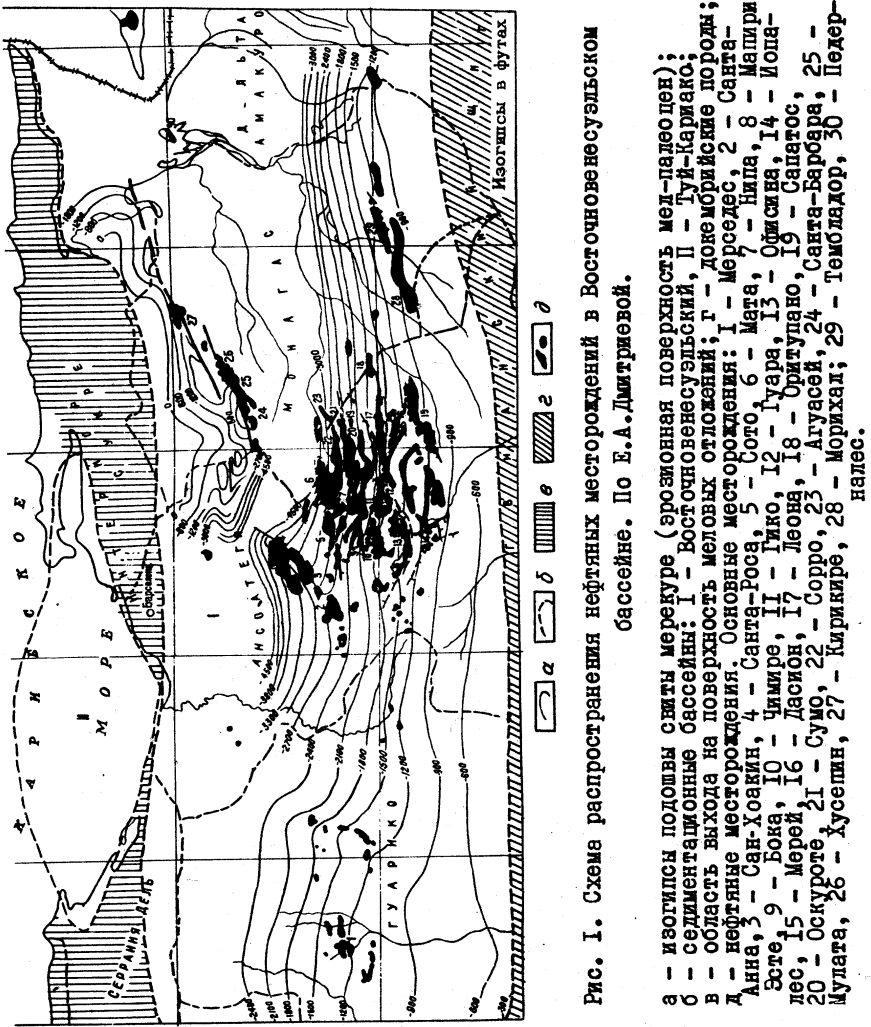


Рис. I. Схема распространения нефтяных месторождений в Восточночувашском бассейне. По Е. А. Дмитриевой.

а - изогипсы подошвы синты мерекура (эрозионная поверхность мел-пленопен);
 б - седиментационные бассейны; 1 - ВосточноЧувашский, 2 - Гуй-Кармако;
 в - область выхода на поверхность меловых отложений; г - докембрийские породы;
 д - нефтяные месторождения. Основные месторождения: 1 - Мерседес, 2 - Санта-Анна, 3 - Сан-Хавин, 4 - Санта-Роса, 5 - Сото, 6 - Меря, 7 - Нипа, 8 - Матира-Эсте, 9 - Бока, 10 - Чимире, 11 - Лиоко, 12 - Гуара, 13 - Официна, 14 - Иопальес, 15 - Мерей, 16 - Дасион, 17 - Леона, 18 - Оритупано, 19 - Сапаэос, 20 - Оскуроте, 21 - Сумо, 22 - Сурро, 23 - Агуасе, 24 - Санта-Барбара, 25 - Кулага, 26 - Хусепин, 27 - Киркире, 28 - Морихал, 29 - Тембладор, 30 - Пелер-Напес.

согласные, т.е. наклоненные в сторону регионального падения пород к северу, так и несогласные, наклоненные к югу. Амплитуда этих сбросов достигает нескольких сотен метров, а длина - до 70-100 и более километров.

2. Более мелкие сбросы, поперечные и диагональные к простиранию пород и к сбросам первой группы. Амплитуда их составляет единицы или первые десятки метров, а длина - единицы километров,

реже до 10-20 км.

Указанные две группы сбросов образуют основные ловушки для нефти и газа на южном моноклинальном склоне Восточновенесуэльского бассейна (рис. 2).

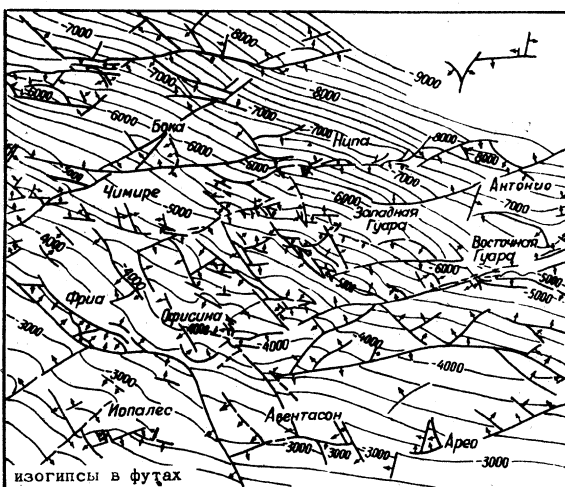


Рис. 2. Район Большая Офисина. Структурная карта по горизонту Н в свите овисина (олигоцен). По Г.Г.Ренцу и др., 1961.

Здесь выделяются три нефтегазоносных района:

1. Район Большая Офисина (центральная часть борта).
2. Район Мерседес (западная часть борта).
3. Район Тембладор (восточная часть борта).

Нефтегазоносный район Большая Офисина расположен в штате Ансоатега, в средней части южного борта бассейна. Размеры его 120 x 60 км. В строении района принимают участие отложения мела, олигоцена, миоцена, плиоцена и плейстоцена (табл. I^X).

Свита тембладор залегает несогласно на фундаменте и несогласно перекрывает свитой овисина. Границы между свитами овисина и фрейтис, фрейтис и лас пьедрас - согласные, а лас пьедрас и меса - несогласные.

^X/ Таблица заимствована из книги "Нефтегазоносные бассейны земного шара" под ред. И.О.Брода и И.В.Высоцкого.

Таблица I

Сводный стратиграфический разрез района Большая
Офисина

Возраст :	Свита :	Краткая литологическая характеристика:	Мощность, м
Плейстоцен	Меса	Континентальные песчаники с подчиненными прослойками конгломератов	0-76
Плиоцен-верхний миоцен	Лас пьедрас	Алевролиты, переслаивающиеся с известковистыми и слюдистыми песчаниками	120-1220
Миоцен	Фрейтис	Верхняя часть: алевролиты с подчиненными прослойками глинистых песчаников. Средняя часть: серо-зеленые алевролиты. Нижняя часть: алевролиты с несколькими пластами песчаников	330-1100
Олигоцен	Офисина	Серые и коричневые алевролиты с подчиненными прослойками лигнитов и песчаников	610-1520
Мел	Тембладор	Верхняя часть: песчаники, глины и алевролиты известковистые с подчиненными прослойками плотных доломитов. Нижняя часть: пестроцветные песчаники, глины и алевролиты	160-610
Фундамент		Изваренно-метаморфические породы	

Район Большая Офисина – основной нефтяной район Восточной Венесуэлы. Здесь сосредоточен ряд крупных и средних месторождений: Офисина, Чимире, Западная и Восточная Гуара, Мерей, Сото, Мата, Нипа, Дасион, Леона, Бока, Гико и др. и ряд мелких (рис. I).

Все продуктивные горизонты приурочены к свите Офисина олигоцена и представлены песчаниками, составляющими 30-40% мощности свиты. Они (общей численностью до 100) распространены по всей свите, но на разных месторождениях нефтегазоносны разные горизонты. Мощность продуктивных горизонтов изменяется от нескольких метров до 30-40 м, некоторые из них выдержаны, другие выклиниваются. Коллекторские свойства песчаников хорошие: пористость 17-30%, проницаемость 15-1000 мд.

История открытия месторождений. В 1933 г. в районе Большая Офисина была заложена скважина ОФ-1, расположенная в 107 км от ближайших поверхностных выходов нефти и в 170 км от наиболее близкого тогда месторождения Киреквире. Основанием для этого послужили вариометрические и сейсмические (КМПВ) данные, показавшие наличие структурного осложнения на фоне регионального наклона к северу осадочного чехла и фундамента. Это осложнение интерпретировалось как антиклиналь северо-восточного простирания. На ее предполагаемом своде и была заложена первая скважина. Бурение ее было закончено в 1937 г. при глубине 2030 м; был получен фонтан нефти с дебитом 210 м³/сутки через 12-мм штуцер. Так было открыто месторождение Офисина. Последующие разведочные работы показали, что антиклинали здесь не имеются, а наблюдается разорванная сбросами на отдельные блоки моноклиналь и что сбросы образуют ловушки для нефти. В 1937–1938 гг. на открытом месторождении проводились детальные сейсмические работы КМПВ и бурение.

Для поисков новых структурных форм в районе Большая Офисина в 1937 г. была проведена магнитная съемка, а в 1940 г. вся территория была покрыта детальной гравиметровой съемкой, но эти работы не дали хороших результатов. С 1939 г. здесь начали проводиться сейсмические исследования МОВ и структурное бурение, которые в той или иной степени продолжаются до настоящего времени, а также перенесены в соседние районы. Структурное бурение ведется на глубины до 300–1000 м, что обычно на 300–700 м меньше глубины залегания залежей.

Рассмотрим строение некоторых месторождений, описанных в зарубежной литературе (44, 52, 53, 58).

Месторождение Офисина расположено в юго-восточной части района Большая Офисина (рис. I). В тектоническом отношении площадь представляет собой моноклиналь, интенсивно нарушенную сбросами (рис. 3). Сброс Карис ограничивает месторождение с юга. Он прослежен на расстоянии более 12 км, характеризуется северным (в сторону оси бассейна) падением плоскости сбрасывателя под углом 35° и максимально установленной амплитудой в свите офисина 120 м. Сброс Офисина прослежен на расстоянии 7 км, характеризуется южным падением сбрасывателя под углом 40–55° и амплитудой 65 м. Подобные параметры и у сброса Мерседес. Сброс Тигре имеет длину 4 км, южное падение сбрасывателя под углом 40–45° и амплитуду в свите офисина 65 м.

Нефтегазоносной на месторождении является свита Офисина с 37 продуктивными горизонтами, преимущественно нефтяными с газовыми шапками. Здесь выделяется 23 продуктивных блока, а в них около 160 залежей. Большинство залежей - тектонически экранированные на моноклинали; есть такие комбинированные, где ловушки образованы сочетанием сброса и литологического выклинивания продуктивного горизонта; и всего лишь несколько залежей - чисто литологического типа.

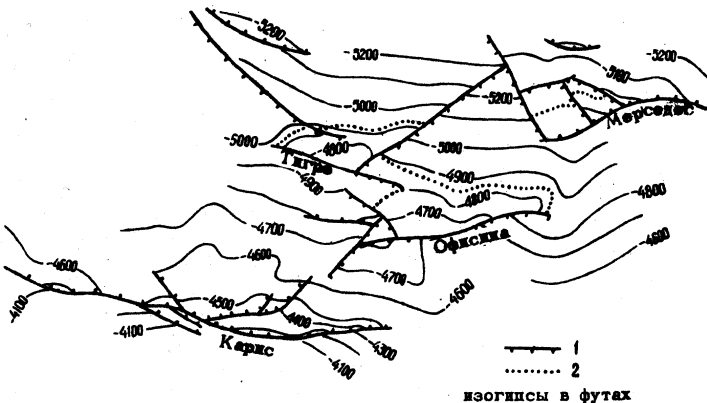


Рис. 3. Месторождение Офисина. Структурная карта по горизонту Р (свита Офисина). По Г.Д.Гедбергу и др., 1947.

I - сбросы; 2 - контур продуктивности.

Типичными для месторождения являются залежи в горизонте Р (рис. 3), в котором имеются три тектонически экранированные нефтяные залежи с газовыми шапками: у сбросов Офисина, Мерседес и Тигре - Голливуд. Ловушки здесь образованы пересечением двух сбросов и моноклинальным залеганием слоев.

Месторождение Офисина очень крупное. Его начальные извлекаемые запасы - 114 млн.т нефти; добыча в 1962 г. составила 3485 тыс.т, а общая добыча с начала разработки и по 1962 г. - 63 млн. 833 тыс.т.

Месторождение Западная Гуара расположено к северо-востоку от месторождения Офисина. Открыто в 1942 г. Характерной чертой его является простое геологическое строение (рис. 4, 5): ловушки образованы сбросом Западная Гуара субширотного простирания с выпуклым изгибом к югу и моноклинальным наклоном слоев к северу,



Рис. 4. Месторождение Западная Гуара. Структурная карта по горизонту оффисина - 5 (олигоцен). По Г.Д.Гедбергу и др., 1947.

I – контур нефть-вода; 2 – контур газ-нефть.

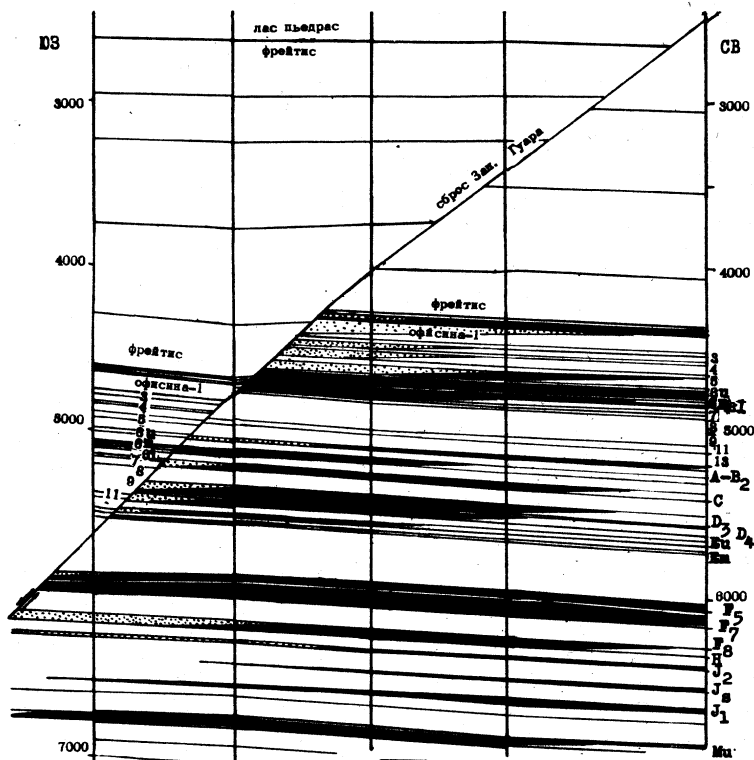


Рис. 5. Месторождение Западная Гуара. Геологический профиль. По Г.Д.Гедбергу и др., 1947.
I-нефть; 2-газ.

осложненным структурным носом. Сброс Западная Гуара имеет длину 14 км, амплитуду по свите офисина до 160 м и характеризуется южным наклоном сбрасывателя под углом 45° .

Месторождение приурочено к северному поднятыму крылу сброса; размеры его 8 x 1,5 км; известно 47 продуктивных горизонтов, почти все они имеют первичные газовые шапки. Этаж нефтеносности в центре месторождения составляет 850 м. Наблюдается очень четкая картина увеличения плотности нефти с глубиной от 0,751 вплоть до густой асфальтоподобной.

Месторождение Восточная Гуара расположено к востоку от месторождения Офисина. Открыто в 1942 г. и связано с крупным сбросом Гуара-Леона (рис. 6). Этот сброс характеризуется субширотным простиранием, опущенным северным крылом, угол наклона плоскости

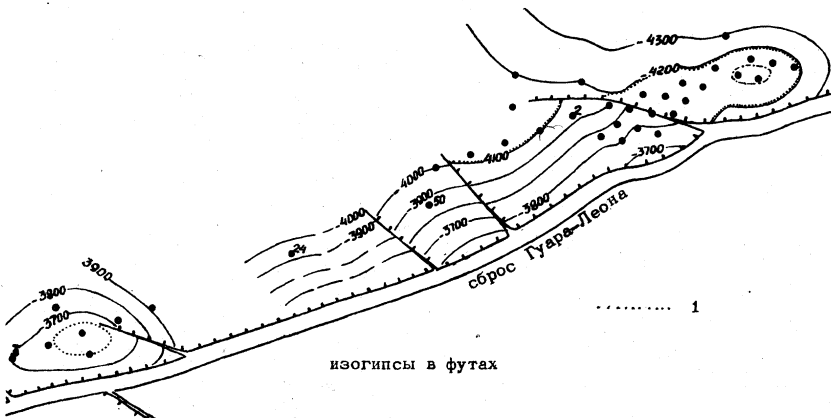


Рис. 6. Месторождение Восточная Гуара. Структурная карта по горизонту офисина - I (олигоцен). По Г.Д.Гедбергу и др., 1947.

I - контур нефтеносности.

сбрасывателя - $42-50^{\circ}$, длина - 43 км. Амплитуда сброса по продуктивной свите офисина увеличивается с запада на восток от 10 до 460 м. Многочисленные апофизы сброса характеризуются в общем северо-западным простиранием. При этом на северном крыле его апофизы имеют опущенные северо-восточные крылья, а на южном крыле основного сброса, наоборот, юго-западные опущенные крылья.

Длина месторождения Восточная Гуара - 10 км, ширина - менее 1 км. На месторождении 7 блоков и 35 продуктивных горизонтов, образующих 76 залежей. Этаж продуктивности достигает 950 м. Характерной особенностью месторождения является крутой (более 16°)

наклон слоев и наличие небольших куполов в двух блоках опущенного крыла сброса Гуара-Леона. Ловушки на месторождении образуют: сочетание моноклинального наклона слоев с основным и апофизными сбросами; сочетание основного сброса и структурного носа; мелкие купола в опущенном крыле основного сброса.

Таким образом, все основные залежи на месторождении Восточная Гуара связаны с северным опущенным крылом крупного сброса Гуара-Леона, на южном же крыле имеются лишь небольшие, полуупрощенные значения скопления нефти. Плотность нефти на месторождении составляет 0,82–0,91. Газовые шапки есть только в некоторых нефтеносных горизонтах.

Месторождения Западная и Восточная Гуара являются крупными. Начальные запасы их – 81,1 млн.т. Добыча в 1962 г. составила 2,3 млн.т, а общая добыча к 1962 г. – 53,1 млн.т.

Месторождение Леона расположено к востоку от месторождения Восточная Гуара и также связано со сбросом Гуара-Леона (рис. 7,8). Открыто в 1938 г. В структурном отношении площадь его представляется собой горст, образованный сбросами Гуара-Леона и Гурипала, характеризующимися противоположным наклоном сбрасывателей. Амплитуда сброса Гуара-Леона в пределах месторождения составляет 460 м и к востоку возрастает еще больше. Амплитуда сброса Гурипала также увеличивается к востоку до 140 м (по свите офисина). На западе он затухает, не соединяясь со сбросом Гуара-Леона.

Залежи нефти имеются на самом горсте, а также на северном и небольшие на южном его крыльях. На северном блоке ловушка образуется в результате ограничения сбросом Гуара-Леона структурного носа. В центральном блоке (горсте) ловушка контролируется моноклинальным наклоном слоев к северу, сбросом Гурипала на юге и выклиниванием всех продуктивных горизонтов на западе. В южном блоке ловушка, очевидно, контролируется выклиниванием песчаников в западном направлении. Плотность нефти на месторождении 0,83–0,91. Начальные запасы 22,1 млн.т.

Месторождение Чимире расположено к северу от месторождения Офисина. Открыто в 1948 г. В тектоническом отношении площадь по продуктивной свите офисина представляет собой моноклиналь с северным наклоном (рис. 9,а), а по вышележащей свите фрейтис – с северо-восточным наклоном (рис. 9,б), осложненную сбросами. Наиболее крупными из них являются продольные субширотные сбросы Карибе, Северная и Южная Таскабана, менее крупными – поперечные сбросы. Сброс Карибе характеризуется южным падением сбрасывателя под углом 35–45° и длиной 15 км. Амплитуда его по свите офисина

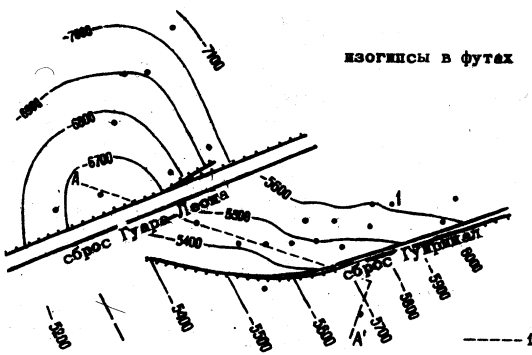


Рис. 7. Месторождение Леона. Структурная карта по горизонту Ј свиты офисина (олигоцен). По Г.Д.Гедбергу и др., 1947.

I - линия профиля.

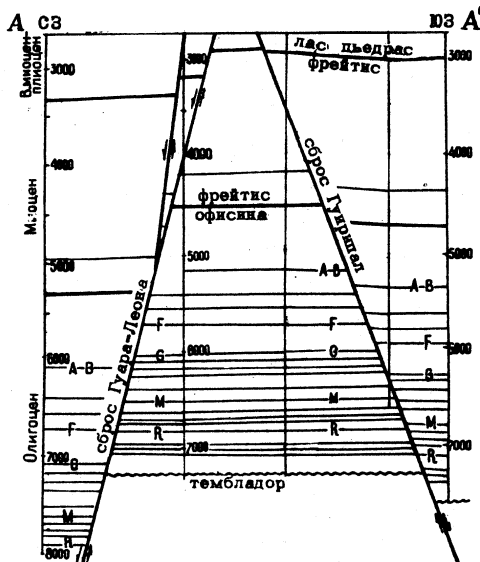


Рис. 8. Месторождение Леона. Геологический профиль. По Г.Д.Гедбергу и др., 1947.

составляет 80 м; в верхней части свиты фрейтис сброс затухает. Нефтносность месторождения Чиммире связана со свитой офисина. Наиболее крупные по запасам залежи нефти приурочены к горизонту L-4, ловушка которого (рис. 9, а) образована сбросами Карабе и Южная Таскабана на юге, выклиниванием песчаника на западе и северным региональным наклоном слоев. Другие, более мелкие залежи находятся в ловушках, образованных пересекающимися сбросами и моноклиналью.

Плотность нефти 0,84–0,85, глубина залегания продуктивных горизонтов 2100–2200 м. Начальные запасы месторождения 68 млн.т.

Х Х Х

Следует отметить, что во всех многопластовых месторождениях района Большая Офисина контакты нефть–вода и газ–нефть, а также пластовые давления являются индивидуальными для каждого горизонта. Пластовые давления соответствуют гидростатическим.

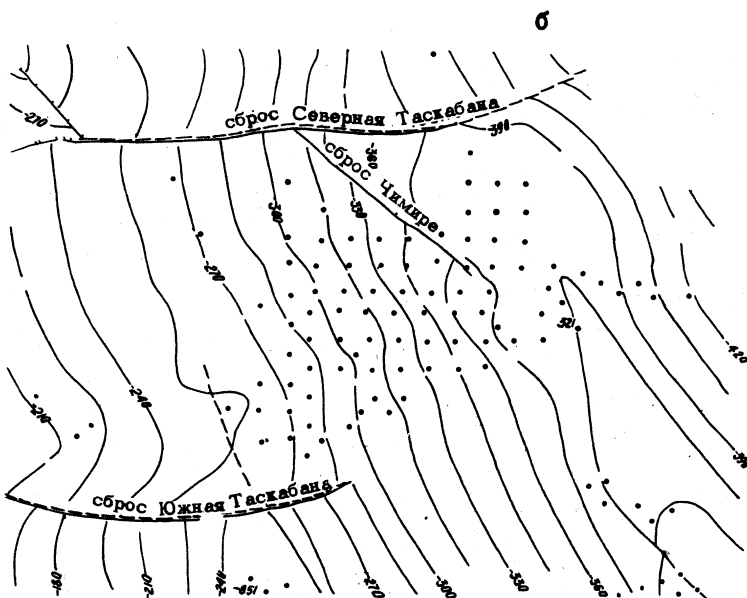
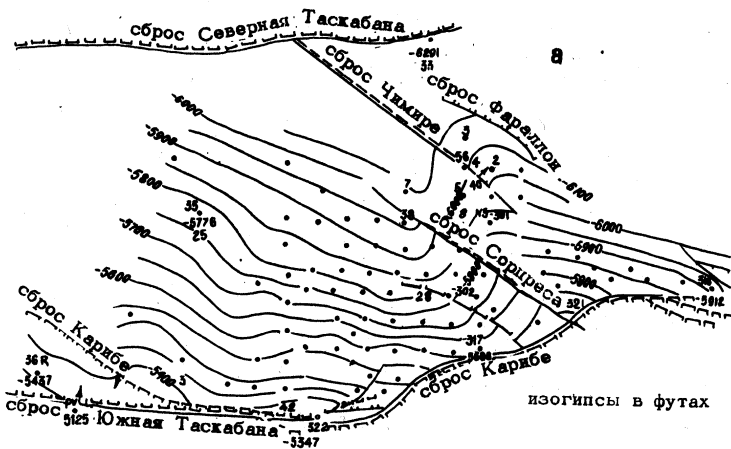


Рис. 9. Месторождение Чимирре. Структурные карты.
По Е.И.Муру и Дж.А.Шилдсу, 1952.

а - по кровле продуктивного горизонта L - 4 (олигоцен); б - по кровле свиты фрейтис (миоцен).

Нефтеносный район Тембладор

Расположен в штате Монаго, а в тектоническом отношении – в восточной части Восточновенесуэльского бассейна (рис. I). По условиям залегания нефти он сходен с районом Большая Офисина. Продуктивна свита офисина, которая здесь резко сокращена в мощности – 240–300 м. Глубина залегания продуктивных горизонтов 1000–1350 м. Нефть тяжелая с плотностью 0,92–0,98. В районе открыто всего несколько нефтяных месторождений, из них три средних (Морихал, Тукупита и Тембладор) и два мелких (Уракоа и Пидон). Запасы месторождения Морихал 21 млн.т., Тукупита – 16,4 млн.т.

Месторождение Тембладор открыто в 1963 г. на основании данных сейсморазведки МОВ, выявившей крупный сброс Тембладор-Главный. Последний прослежен на расстоянии 80 км, имеет северо-восточное простирание. Сброс несогласный: плоскость сбрасывателя наклонена к юго-востоку. По данным сейсморазведки сброс имеет в своей средней части максимальную амплитуду по фундаменту около 330 м, которая постепенно уменьшается к западу и востоку. Месторождение приурочено к северному поднятыму крылу этого сброса (рис. 10), которое осложнено поперечными нарушениями. Размеры месторождения 40 x 1–3 км. Основные ловушки для залежей нефти образуются пересечением Главного сброса с

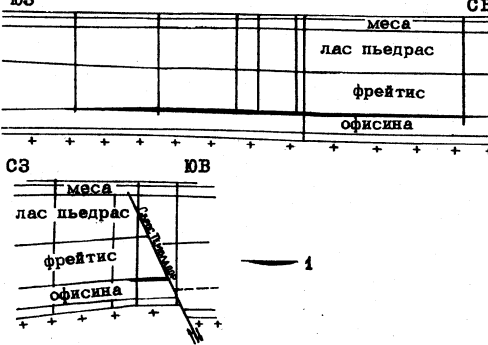


Рис. 10. Месторождение Тембладор. Геологические профили. По Е.Менчуру и др., 1953.

I-нефть.

теля к югу. Месторождение приурочено к поднятым северным крыльям этого сброса. Ловушки образуются сочетанием моноклинального залегания пород и пересечением основного и апофизных сбросов. Продуктивность связана с нижней базальной частью свиты офисина. Глубина залегания продуктивного горизонта 1800–1850 м. На одном из участков месторождения имеется газовая шапка.

мелкими, реже – сбросом и выклиниванием коллектора.

Месторождение Тукупита открыто в 1945 г. в результате бурения скважины вблизи крупного сброса Тукупита, выявленного сейсморазведкой МОВ (рис. II). Максимальная амплитуда сброса 65 м, наклон плоскости сбрасыва-

Нефтегазоносный район Мерседес

Нефтегазоносный район Мерседес расположен в штате Гуарико, в тектоническом отношении - в западной части южного платформенного борта Восточновенесуэльского бассейна. В строении района принимают участие отложения верхнего мела (свиты ла крус, инфантес и гуавинита) и олигоцена (свиты ла паскуа, роблесито, чагуарамас) (табл. 2^{Х/}). Олигоценовые образования залегают на меловых несогласно.

Нефтегазоносность связана с верхнемеловыми отложениями и всеми тремя свитами олигоцена, однако наибольшей продуктивностью характеризуется свита ла паскуа. В районе открыты месторождения: Мерседес, Паласио, Гуавинита, Пиррагуа, Лечозо, Гризо, Тукупидо, Сабан и др. В них имеется большое количество залежей, обусловленных наличием многих блоков и продуктивных горизонтов. Мощность продуктивных песчаников 2-6 м, пористость 16-18%, глубина залегания в среднем 1270-1370 м. Основной тип залежей - тектонически экранированные на моноклинали. В большинстве из них первоначально имелись газовые шапки.

История открытия. В 1931 и 1934 гг. в районе было проведено несколько рекогносцировочных сейсмических профилей МОВ и КМПВ. В 1937-1938 гг. этими же методами выполнялись более детальные работы, которыми на месте современного месторождения была выявлена складка северо-западного простирания. На ней в 1938-1939 гг. были пробурены две скважины, показавшие наличие хороших коллекторов и признаков нефти. Во время бурения проводились дополнительные сейсмические исследования, а в начале 1941 г. пробурена третья скважина, также оказавшаяся непро-

^{Х/} Таблица заимствована из книги "Нефтегазоносные бассейны земного шара" под ред. И.О.Бродя и И.В.Высоцкого.

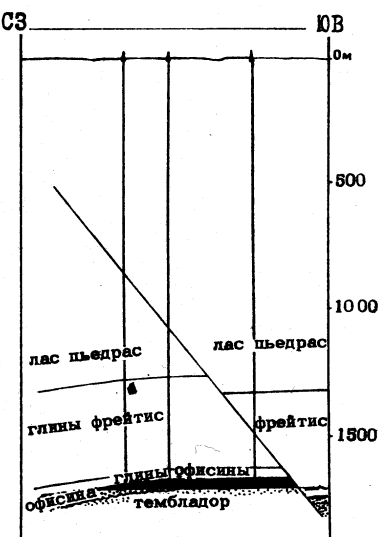


Рис. II. Месторождение Тукупидо. Геологический профиль. По Е.Менчуру и др., 1953.

Таблица 2

Сводный стратиграфический разрез района Мерседес

Возраст	Свита	Краткая литологическая характеристика	Мощность, м
Олигоцен	Чагуарамас	Пески, глины, лигниты	300-430
	Роблесито	Глины и алевролиты	430-610
	Ла паскуа	Пески, алевролиты, глины	100-150
Верхний мел	Гуавинита	Пески, алевролиты, глины	0-II0
	Инфантес	Известники	0-I8
	Ла крус	Известковистые и глауконитовые песчаники и глины с прослоями известняков	0-300
Докембрий	-	Фундамент	

дуктивной. После этого была осуществлена переинтерпретация всех имеющихся геолого-геофизических материалов, которая дала возможность установить, что антиклинальная структура на площади отсутствует, а имеется лишь моноклиналь, разорванная сбросами на отдельные блоки. Заложенная в августе 1941 г. с учетом новых представлений скважина М-2 в конце того же года была пробурена. При ее испытании из двух горизонтов свиты ла паскуа были получены фонтаны нефти и газа, что привело к открытию месторождения Мерседес. В последующие годы объемы сейсмических работ и глубокого бурения непрерывно наращивались, в результате чего были открыты ряд других месторождений. Ниже дается характеристика описанных в литературе (58) месторождений Мерседес и Паласио.

Месторождение Мерседес в тектоническом отношении представляется собой моноклиналь, осложненную структурными носами, террасами и многочисленными сбросами (рис. I2). Большинство сбросов ориентировано в северо-восточном направлении. Они являются наиболее крупными и обычно служат южными ограничениями залежей. Эти сбросы, как правило, несогласные. Меньшее количество сбросов характеризуется северо-западным простирианием. Они являются поперечными к крупным сбросам и к простирианию пород. Наклон плоскостей продольных сбросов $30-45^{\circ}$, амплитуда до 80 м. Поперечные сбросы характеризуются большими наклонами сбрасывателей, но амплитуды их значительно меньше.

Залежи нефти приурочены к отдельным блокам, которые получили название скважин-открывательниц: М-2, М-4, М-7, М-8, М-15, М-210, М-233. Основная особенность всех залежей — ограничение их сбросами с юга. Ловушки на месторождении Мерседес образуются: двумя или больше сбросами (залихи М-7, М-233); структурным носом и сбросом (залихи М-4, М-210).

Месторожде- ние Паласио

(рис. I3) расположено в 12 км южнее места рождения Мерседес. Открыто в 1946 г. на основе данных сейсморазведки. Главной структурной особенностью площади является сброс субширотного профиля с ощущенным южным крылом. Залежи приурочены к северному крылу этого сброса. Ловушки для них образованы сочетанием основного сброса с меньшими попечерными или с

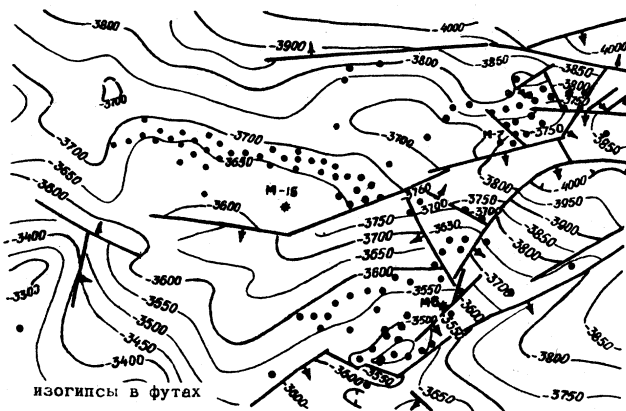


Рис. I2. Месторождение Мерседес (блоки М-7, М-8, М-15). Структурная карта по кровле свиты ла паскуа (олигоцен). По Дж.М.Паттерсону и Дж.Вильсону, 1953.

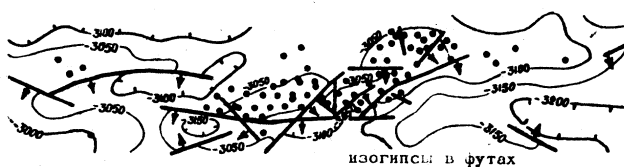


Рис. I3. Месторождение Паласио. Структурная карта по кровле свиты ла паскуа (олигоцен). По Дж.М.Паттерсону и Дж.Вильсону, 1953.

небольшими пликативными осложнениями слоев (структурные носы). Продуктивность связана с базальными песчаниками свиты роблесито (четыре горизонта) и верхами свиты ла паскуа (два горизонта).

X X

Сходным строением характеризуются и месторождения Гуавинита и Пирагуа, расположенные вблизи месторождения Паласио.

Большинство открытых в районе Мерседес нефтяных месторождений — с первичными газовыми шапками. В районе имеются также чисто га-

зовые залежи либо газовые с небольшими нефтяными оторочками. Пластовые давления соответствуют гидростатическим. Начальные запасы нефти месторождения Мерседес составляют 25,2 млн.т., остальные месторождения более мелкие.

Основными нарушениями, экранирующими залежи на месторождениях южного борта Восточновенесуэльского бассейна, являются продольные сбросы, среди которых выделяются две группы:

1. Согласные, которые экранируют залежи на месторождениях Восточная Гуара, Леона, Бока, Таскабанья и др.

2. Несогласные, которые экранируют залежи на месторождениях Офисина, Западная Гуара, Чимире, Паласио, Тембладор, Тукупита, Мерседес, Гуавинита, Пирагуа и др. Во всех случаях основные скопления нефти и газа приурочены к крыльям, обращенным к центральной части бассейна: у сбросов первой группы - к опущенным, а у второй - к поднятым. И лишь изредка встречаются небольшие полупротивомышленные скопления нефти на южных крыльях сбросов (месторождение Леона).

В опубликованной литературе (32, 44, 52, 53, 58) специально не рассматривается вопрос о характере контактирования продуктивных горизонтов с породами смежного блока.

Некоторые выводы по данному вопросу можно сделать из анализа геологического профиля через месторождение Западная Гуара (рис. 5), на котором у авторов (44) показаны все продуктивные горизонты и литологический состав пород (возле скважин нанесены каротажные диаграммы). Все залежи нефти с газовыми шапками и чисто газовые залежи здесь приурочены к северному поднятым крылу сброса. При этом некоторые продуктивные горизонты (T_1 , O_6 , D_3 и др.) по сбросу контактируют с глинами опущенного блока, а другие (O_1 , A , B_2 , C_1 , D_4 и др.) - с водоносными песчаниками. Из этого можно сделать вывод, что сброс является экраном для нефти и газа, несмотря на то, что последние контактируют с проницаемыми горизонтами соседнего блока. Насколько широко распространено подобное явление, судить трудно. Не исключено, что такое контактирование - довольно редкий случай.

История и характер формирования сбросов

В Восточновенесуэльском бассейне орогенические движения проходили в конце мелового - начале третичного периодов (перед отложением свиты Офисина в районах Офисина и Тембладор и свиты Лапаскуа в районе Мерседес); а затем в плиоцене после отложения свит Фрейтис и Лас Пьедрас в районах Офисина и Тембладор и Чагу-

арамас в районе Мерседес (32, 44). В эти периоды осадконакопление сменялось региональным подъемом бассейна и денудацией осадков. Американские геологи в большинстве своем считают, что "разрывы, с которыми связано нефтенакопление, сформировались в основном лишь после начала отложений свиты меса пьедрас" (32, стр. 282), т. е. постседиментационно в плиоцене.^{x/} Правда, ими допускается и проявление конседиментационного роста сбросов, но этому процессу отводится второстепенная роль. Так, Г.Д.Гедберг и др. (44) считают, что в районе Офисина некоторые сбросы начали формироваться конседиментационно в период отложения свиты офисина (олигоцен), однако основные движения по ним происходили постседиментационно в плиоцене после отложения свиты офисина, фрейтис и частично континентальной лас пьедрас. В перекрывающих их образованиях свиты меса (плейстоцен) сбросы уже не проявляются.

О конседиментационном развитии сбросов при отложении свиты офисина и фрейтис свидетельствуют увеличение с глубиной в этом интервале разреза амплитуды сбросов и изменение мощностей осадков. Так, по данным Г.Д.Гедберга и др. (44), сброс Западная Гуара в более глубоко залегающей свите офисина имеет амплитуду в два раза большую, чем в свите фрейтис. Эти же авторы указывают на конседиментационное развитие и сброса Гуара-Леона. Мощности отложений свиты офисина и фрейтис на северном опущенном крыле сброса в среднем на 10% больше, чем на южном.

Сброс Карибе, ограничивающий с юга месторождение Чимира, по данным Е.И.Мура и Дж.А.Шилдса (53), исчезает уже в верхней части свиты фрейтис. Здесь мощность части свиты офисина (выше горизонта F_7) на противоположных крыльях сброса разная: больше на 3-5% в опущенном южном блоке, несмотря на то, что к югу происходит региональное уменьшение мощностей отложений. Все это свидетельствует о конседиментационном развитии сброса Карибе во время отложения свиты офисина и отсутствии роста в орогенический период в плиоцене.

Дж.М.Паттерсон и Дж.Г.Вильсон (58) отмечают, что некоторые сбросы района Мерседес развивались одновременно с отложением свиты роблесито (основные сбросы блоков М-15 и М-8). Эти же авторы указывают, что сбросы в районе Мерседес затрагивают самые поверхностные слои (свиту чагуарамас олигоцена), что отличает их от сбросов района Офисина, где они не нарушают молодые плейстоценовые отложения.

^{x/} Формирование сбросов в предпaleогеновый период региональных восходящих движений не изучено вследствие отсутствия данных.

Во многом отличные данные о развитии сбросов можно получить непосредственно из анализа приведенной в опубликованных статьях графики. Так, на месторождении Леона развиты два сброса: крупный, согласно падающий Гуара-Леона, и более мелкий, несогласно падающий Гуирипаль (рис. 7, 8). Из профиля (рис. 8) видно, что амплитуда первого из них по реперу II свиты офисина составляет 360 м, по кровле этой свиты она уменьшается до 250 м, а по кровле фрейтис – до 130 м. Соответственно и мощности этих отложений увеличиваются на северо-западном опущенном крыле. Из приведенных цифр следует, что на 230 м (64%) своей амплитуды по реперу II сброс сформировался конседиментационно во время отложения свиты офисина и фрейтис.

Если учесть, что конседиментационный рост сброса продолжался также при отложении свиты лас Пьедрас, то на постседиментационное развитие во время региональных восходящих движений в конце плиоценена и плейстоцена (после отложения свиты лас Пьедрас) остается весьма незначительная доля прироста его амплитуды, по-видимому не более 5–10%.

Амплитуда сброса Гуирипаль по реперу II равна 90 м, по кровле офисина – 50 м, по кровле фрейтис – 13 м (рис. 8). Следовательно, сброс сформировался в основном (87% амплитуды) конседиментационно во время отложения свиты офисина и фрейтис, а оставшаяся часть амплитуды, видимо, приходится на время отложения свиты лас Пьедрас.

Несогласно падающий сброс Западная Гуара (рис. 4, 5) по реперу II (свита офисина) имеет амплитуду 140 м, по кровле офисина – 115 м, по кровле фрейтис – 60 м. Следовательно, 80 м, или 57%, амплитуды сброса образовались конседиментационно во время отложения свиты офисина и фрейтис.

Таким образом, из имеющихся данных можно сделать вывод, что как согласные, так и несогласные продольные сбросы южного борта Восточновенесуэльского бассейна характеризуются конседиментационным развитием в период отложения ныне продуктивных толщ олигоцена и постседиментационным ростом в плиоценене. При этом подавляющая часть амплитуды сбросов, а в ряде случаев и вся амплитуда, сформировалась конседиментационно, а не постседиментационно, как это считают американские геологи (32). На последних стадиях развития региона (плиоцен–плейстоцен) экранирующие сбросы увеличивали свою амплитуду незначительно, а многие, например, сброс Карибе на месторождении Чимире и сброс Гуирипаль на месторождении Леона

вообще не формировались. Следовательно, орогенические движения конца неогена в виде интенсивных складкообразовательных движений проявились на геосинклинальном северном борту Восточновенесуэльского предгорного прогиба; на юном же платформенном склоне они не привели к сколько-нибудь значительному изменению структурного плана, созданного ранее в процессе осадконакопления.

Из всего этого можно сделать вывод, что ловушки для углеводородов на юном борту Восточновенесуэльского бассейна древние, сформировавшиеся одновременно с осадконакоплением ныне продуктивных толщ олигопена или вслед за ним. В последующее время они претерпели весьма незначительное изменение или вовсе не изменили свою морфологию.

БАССЕЙН ГАЛФ КОСТ (США)

Нефтегазоносная провинция Галф Кост (Примексиканская) занимает периферическую часть и щельв крупнейшего седиментационного бассейна Мексиканского залива, расположенного в юго-восточной части Североамериканской платформы (рис. I4). Северной границей бассейна являются свод Бенд с выступом докембрийских пород Льяно, герцинское внутриплатформенное складчатое сооружение Бичита-Уошито, докембрийские Иллинойская впадина и Цинцинатский свод, герцинское складчатое сооружение Аппалачей, южный континентальный склон Мексиканского залива, под водами которого скрыта центральная часть бассейна Галф Кост. На юго-западе нефтегазоносная провинция переходит на территорию Мексики. В административном отношении она занимает северо-восточную часть штата Техас, штат Луизиана, западную часть Арканзаса, штат Миссисипи, юго-западные части штатов Алабама, Джорджия и Флорида.

В строении рассматриваемого региона принимает участие мощная толща отложений мезозоя, палеогена, неогена и антропогена. Нижняя часть ее изучена слабо и предположительно охватывает интервал разреза от перми до средней юры включительно. В этом комплексе присутствует и толща каменной соли, образующая многочисленные соляные купола. Отложения верхней юры и выше сложены терригенными и карбонатными породами (табл. 3). Разрез в остальных штатах этой провинции аналогичен, но свиты имеют обычно другие названия (табл. 4).

В истории осадконакопления региона было несколько основных крупных перерывов (предраннемеловой, предпозднемеловой, предпaleогеновый), к которым приурочены, по мнению Т.Г.Филпотта (59), крупные восходящие движения всей территории, усиление формирова-

ния складчатых и разрывных дислокаций и даже проявление вулканизма. Палеогеологические карты по поверхностям этих несогласий представляют довольно пеструю картину. Например, верхнемеловые отложения ложатся на размытую поверхность от верхов нижнего мела (южная часть региона) до низов верхней юры (северная часть региона). Кроме того, Т.Г.Филлпотт (59) указывает на наличие в разрезе верхнего мела более мелких перерывов между верхними тремя свитами (наварро, тейлор, остин). Эти перерывы проявляются только в самой краевой части Примексиканского бассейна, выражены небольшими размывами осадков, отсутствием усиленного формирования структур и проявлений вулканизма.

Мезозойско-кайнозойская толща характеризуется общерегиональным наклоном в сторону Мексиканского залива. В этом же направлении происходит изменение фациального состава осадков (от более грубозернистых песчано-глинистых фаций к более тонкозернистым), а также региональное увеличение их мощности, максимальное значение которой в зоне шельфа превышает 15 км. На периферии бассейна мощности значительно сокращаются. Региональный наклон слоев в Примексиканском бассейне осложнен следующие крупные структурные элементы (рис. I4):

1. Погребенные сводовые поднятия Себин и Монре, а также попечерный выступ Сан-Маркос.

2. Погруженные участки – впадины Тейлор, Рио-Гранде и Миссисипская.

3. Зоны разломов и флексур, вытянутые параллельно региональному простиранию пород. Среди них выделяются:

а/ разрывные нарушения и флексуры внешней зоны бассейна (Балконес, Льюинг, Мексика, Талко, Южный Аризонас, Пикенс-Джильбертаун);

б/ разрывные нарушения и флексуры внутренней зоны (Мирандо-Провидент, Вэнкроф, Мато, Сам Флордайс-Вандерблифт и др.).

Месторождения нефти и газа, связанные с тектонически экранированными ловушками на моноклиналях, приурочены к внешней зоне разломов, которая и является основным объектом исследования в настоящей работе, а также имеются во внутренней зоне.

Промышленная нефтегазоносность в провинции Галф Кост связана со всем разрезом от юры до антропогеновых отложений включительно. Первое место по размерам добычи и запасам занимают третичные отложения (а среди них миоценовые), затем верхнемеловые (1/3 общих запасов), нижнемеловые и юрские отложения. Во внешней зоне провинции (в частности, в зонах сбросов) нефтегазоносность приурочена в основном к меловым и юрским отложениям, а во внутренней – к

третичным отложениям. Такое территориальное распространение продуктивности разреза обусловлено тем, что во внешней зоне третичные отложения сильно уменьшаются в мощности и совсем выклиниваются, а во внутренней - меловые и более древние отложения залегают на очень больших глубинах и пока не изучаются.

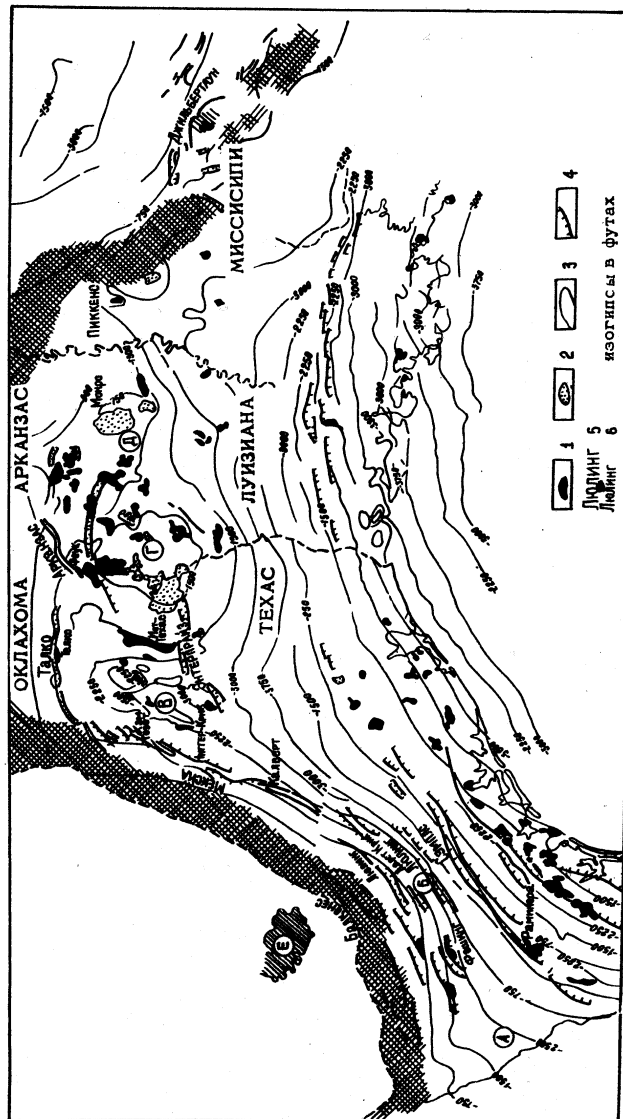


Рис. I4. Обзорная карта провинции Гард Кост (США).

Наиболее крупные месторождения: 1 - нефтяные; 2 - газовые; 3 - изогипсы залегания меловых и третичных отложений; 4 - разрывные нарушения; 5 - название соросовых зон; 6 - месторождения, упомянутые в тексте.

Крупные структурные элементы: А - впадина Рио-Гранде; Б - свод Сан-Маркос; В - бассейн Техас; Г - свод Себин; Д - свод Монро; Е - выступ Льяно.

Таблица 3

Сводный стратиграфический разрез западной части
бассейна Галф Кост (штат Техас)

Система, отдел	Серия: (местное де- ление)	Группа, свита: (местное де- ление)	Краткая литологическая характеристика	Мощность, м
1	2	3	4	5
Антропо- ген			Аллювиальные, дельтовые и прибрежно-морские пе- ски и глины	1500
Плиоцен Миоцен		Локальное расчленение	Вверх по региональному восстанию пород – пес- чано-глинистые отло- жения; вниз по падению переходят в морские глинистые и глинисто- мергелистые толщи с подчиненными прослоя- ми песков	1000
Олигоцен		Виксбург	Морские глины и алев- ролиты с подчиненны- ми прослоями песков, известняков, мергелей	300-3700
Эоцен		Джексон	Континентальные песчано- алевритовые отложения	200-280
		Клейборн	В нижней и средней части глауконитовые и извест- ковистые пески и песча- ники; в верхней – пески и глины	300-1200
		Уилконс	Пески, глины, алевриты и песчанистые мергели	230-2500
Палеоцен		Мидуэй	Известковистые глины и песчаники	170-300

I	:	2	:	3	:	4	:	5
Верхний мел		Наварро		Глины, мергели, реже мел, пески и песчаники			180-	-360
		Марлбрук		Вверху - мел и мергели, внизу - пески, песчаники, глины			250-	
		Тейлор	Пекан геп				-400	
		Тейлор						
		Броунстоун						
	Галф	Остин		Мел, мергель, глины с прослойками песков			70-	-330
Нижний мел		Игл форд		Глины с подчиненными прослойками песка и песчаника			30-	
		Вудбайн		Пески и песчаники с подчиненными прослойками глин			-70	
		Уотита		Известняки, глины, алевриты			80-	
		Фредерик-сбург		Глины с прослойками известняков и мергелей			-650	
	Ко-манч	Палукси		Глины с прослойками песчаников и песков. В средней части 80 м пачка ангидрита ферри лейк			60-	-500
Верхняя гра		Тринити	Глен розе					
		Травис пик		Глины и песчаники с прослойками известняков, мергелей, ангидритов. В основании - конгломераты			860	
		Кэухайл						
		Коттон велли		Пестроцветные глины с прослойками песчаников и известняков			770-	-1400
Лоу-арк		Бакнер		Красноцветные глинистые сланцы с прослойками ангидритов, доломитов, известняков и песчаников			80-	-170
		Смако-вер		Известняки, преимущественно оолитовые			230	
		Норфлет		Красноцветные глинистые сланцы	120			

1	2	3	4	5
Пе ри ъ - средни я юра?		Лоуани Варнер Морхуз Игл майлс	Каменная соль с прослоями ангидритов Ангидриты, песчаники и глинистые сланцы Песчаники, глинистые слан- цы, соль, ангидриты	?
				30
				330

Внешняя зона Галф Коста

Характерной особенностью внешней части провинции Галф Кост является осложнение ее сбросами, которые вытянуты в соответствии с простиранием осадочного чехла и играют важную роль в формировании ловушек нефти и газа. Они не образуют единой линии нарушений, а представляют системы сбросов, каждый длиной от нескольких десятков до 100–200 км, идущие параллельно или сочленяющиеся кулисообразно и с небольшими просветами окаймляющие краевую часть Примексиканского седиментационного бассейна с запада, севера и востока. Эти сбросы отличаются друг от друга простиранием, направлением падения плоскости сбрасывателя, характером сочленения и др. По данным признакам Г. Е. Муррей (55) выделяет следующие системы сбросов (рис. I4):

1. Система сбросов Балконес расположена в западной части провинции. Она простирается в северо-восточном направлении из впадины Рио-Гранде, через свод Сан-Маркос во впадину Тейлор в штате Техас. Сбросы этой системы преимущественно согласные (наклон плоскостей сбрасывателя к востоку в сторону оси бассейна).

2. Система сбросов Люлинг расположена в 20–40 км юго-восточнее сбросов Балконес и простирается параллельно им. Эта система представлена в основном несогласными сбросами, падающими в северо-западном направлении навстречу сбросам системы Балконес.

3. Система сбросов Мексика расположена на продолжении системы Люлинг, вытянута в северо-восточном направлении и представляет собой почти непрерывную зону грабенов, образованную двумя сближенными (3–7 км) сбросами, падающими навстречу друг другу.

4. Системы сбросов Талко и Южный Арканзас являются субширотным восточным продолжением системы Мексика и образуют аналогичные грабены.

Таблица 4

Схема сопоставления отложений провинции
Галф Кост (по Т.Г.Филпотту)

Стратиграфич. шкала	Штаты			
	Техас	Арканзас Луизиана	Миссисипи	Алабама
	Свиты, подсвиты			
Третич- ная	Мидуэй	Портэрс крик Клейтон		
Верхний мел	Наварро	Аркадельфиа Накаточ	Сельма	Прайре блуф Риплэй
	Тейлор	Саратога, Марлбрук Аннона, Озан		Саратога Аннона
	Остин	Броунстоун Токио		Эутау Эстор
	Вудбайн	Игл форд Левисвилл	Тускалоса	Игл форд Верхняя тускалоса
		Нижняя тускалоса		Нижняя тускалоса
Нижний мел	Уомита	Уомита	Не рас- членено	
	Фредерикс- бург	Киамич Гудленд Валнют		не расчле- нено
	Тринити	Палукиси Глен розе Травис шик	Палукиси Мурингспорт Ферри лейк Родесса Пайн исленд Слиго	
		Кэухайл		
			Хостон	
Верх- ний край	Коттоу велли	Шулер Боссиер		Не расчленено

5. Системы сбросов Пикенс-Димльбертаун имеют юго-восточное простиранье и сходны с системами Мексика, Талко и Южный Арканзас.

Следует отметить, что такое разделение сбросов внешней зоны провинции Галф Кост на системы является во многом условным и принято нами по Г.Е.Мурреем (55) исключительно для удобства дальнейшего рассмотрения приуроченных к ним месторождений нефти и газа. С точки зрения условий образования все эти системы сбросов, по-видимому, связаны генетическим единством.

Характеристика месторождений нефти и газа

Сбросовая зона Мексика

К сбросовой зоне Мексика приурочены месторождения Хэм Гозет, Мексика, Флег Лейк, Ниггер, Крик, Вьюленд, Калверт, Баррон, Ричленд, Кемпбелл, Корсикана Паузел, Кьюрей и др.

Месторождение Хэм Гозет расположено в округе Кофмен, штат Техас. Оно подробно описано П.Н.Виггинсом (75).

Месторождение открыто в 1948 г. на основе следующего комплекса работ. В 1920 г. геологической съемкой был выявлен сброс, после чего проведено структурное бурение, подтвердившее наличие сброса и выявившее антиклинальное поднятие около него. С 1927 по 1939 г. на площади пробурены три разведочные скважины, которые, однако, оказались непродуктивными. В 1946 г. была проведена сейсморазведка, существенно уточнившая ранее установленные структурные формы. Заложенная на основе данных сейсморазведки скважина открыла месторождение нефти.

Основным структурным элементом площади является несогласный сброс с северо-западным падением плоскости сбрасывателя, являющийся составной частью зоны сбросов Мексика (рис. I5). На поднятом крыле этого сброса находится полуантиклиналь, а в опущенном – антиклинальная складка. Все три структурных элемента имеют северо-восточное простиранье. Наклон плоскости основного сброса увеличивается с глубиной от 30° вблизи поверхности до 55° в отложениях нижнего мела. Амплитуда сброса также возрастает с глубиной от 60 м в мергелях тейлор (верхний мел) до 135 м в подсвите глен розе (нижний мел). Амплитуда антиклинальной складки порядка 20–25 м.

Залежи нефти приурочены к опущенному и поднятыму крыльям сброса. На опущенном крыле ловушкой является приразломная антиклинальная складка, а на поднятом – ловушка образованная полуантиклиналью и основным сбросом. Нефтяные залежи на обоих крыльях

сброса приурочены к отложениям верхнего (песчаники вудбайн) и нижнего (песчаники и известняки свиты глен розе) мела. Всего выявлено II продуктивных горизонтов. Мощность их изменяется от 1 до 7 м. Кроме того, имеются многочисленные нефте-проявления и в других частях разреза.

Месторождение Мексика расположено в округе Лаймстоун, штат Техас. Оно открыто в 1912 г. по данным геологической съемки, выявившей сброс, и аналогии с общими закономерностями строения соседних площадей. Ловушка образована основным сбросом и полуантеклиналью, расположенной на юго-восточном поднятом крыле этого сброса. Правда, полуантеклиналь в своде осложнена небольшими куполами, но они не являются существенным фактором удержания нефти. Амплитуда экранирующего сброса по кровле свиты вудбайн (верхний мел) составляет 180 м.

Залежи нефти приурочены к верхнему (вудбайн) и нижнему (свита глен розе) мелу. В самой верхней части верхнего мела имеются небольшие залежи газа. Высота основной залежи нефти в свите вудбайн составляет 34 м, плотность нефти 0,85. В 1955 г. в верхнеюрских известняках смаковер открыта газоконденсатная залежь с нефтяной оторочкой. Месторождение Мексика довольно крупное. С начала разработки по 1962 г. из него добыто 14,2 млн.т нефти. Начальные извлекаемые запасы нефти составляют 14,8 млн.т.

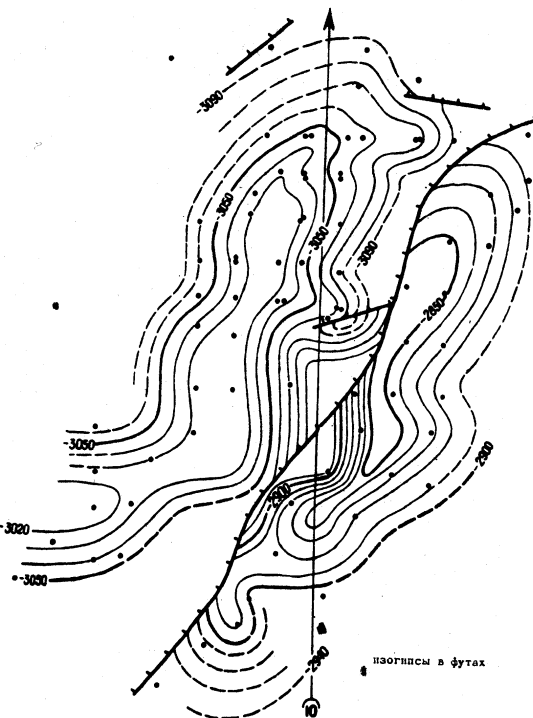


Рис. 15. Месторождение Хэм Гозет. Структурная карта по кровле свиты вудбайн (верхний мел). По П.Н. Виггинсу, 1954.

Месторождение Ниггер Крик расположено в округе Лаймстоун, штат Техас. Оно было открыто в 1926 г. на основе данных геологической съемки, выявившей сброс, и аналогии с соседним месторождением Мексика. Месторождение приурочено к юго-восточному поднятому крылу несогласного сброса (рис. I6). Ловушка образована этим сбросом и полуантклиналью, осложненной небольшим куполовидным поднятием.

Залежь нефти связана с песчаниками вудбайн, которые контактируют по сбросу с непроницаемыми глинами свиты тейлор. Высота залежи II м.

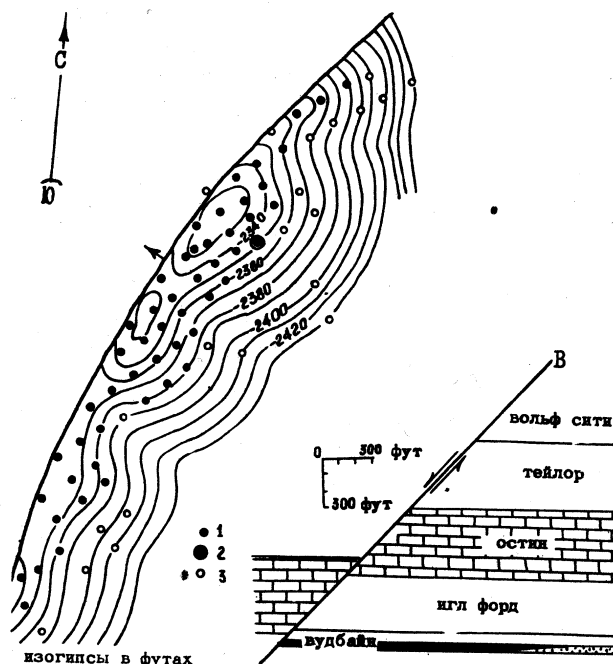


Рис. I6. Месторождение Ниггер Крик. Структурная карта по кровле песчаников вудбайн (верхний мел) и профиль. По Ф.Брайну, 1951.

1-скважины продуктивные; 2-скважина первооткрывательница; 3- "сухие" скважины.

ческой съемки и структурного бурения, показавших наличие сброса. Ловушка образована несогласным сбросом и структурным носом на юго-восточном крыле этого сброса (рис. I7, I8). Залежь нефти приурочена к песчаникам вудбайн, которые по сбросу контактируют с глинами игла форд. Высота залежи 8 м. За время разработки с 1942 по 1949 г. на месторождении добыто 6,7 тыс.м³ нефти.

Месторождение Калверт расположено в округах Робертсон и Майлз, штат Техас. Оно открыто в 1944 г. по данным сейсморазведки. В отличие от рассмотренных выше, месторождение Калверт расположено в грабене и приурочено к юго-восточному крылу согласного сброса (рис. I9). Ловушка для залежи образована основным сбросом субмери-

Месторождение Вьюенд расположено в округе Хант, штат Техас. Оно открыто в 1942 г. Разведочные скважины были заложены по данным геологи-

диовального простирания (на за-
паде) и моноклиналью, которая
осложнена структурным носом и
мелкими сбросами. Некоторое
влияние на скопление нефти ока-
зывает также литологическое вы-
клинивание коллектора. Продук-
тивным является песчаный гори-
зонт в подошве свиты наварро
(верхний мел), где имеется не-
фтяная залежь высотой 48 м с
газовой шапкой высотой 16 м.
Наилучшие коллекторские свой-
ства - вблизи западной грани-
цы месторождения, т.е. около
главного сброса. Размеры ме-
сторождения 3 x 1 мили.

В 1950 г. здесь было добыто
310 м³ нефти, а всего с нача-
ла разработки по 1950 г. -
3,8 тыс. м³ нефти. Добыча газа
незначительна.

Сбросовая зона Талко

С этой зоной связаны ме-
сторождения Талко, Сульфур Блум,
Митчел Крик, Певит Ранч,
Лейквью и др.

Месторождение Талко расположено в округах Франклайн и Титус (штат Техас), в средней части одноименной сбросовой зоны. Оно открыто в 1936 г. Разведочное бурение на площади началось в 1933 г. после проведения геологической съемки и структурного бу-
рения, которыми были выявлены сброс и прислоненная к нему структу-
ра. Первые три разведочные скважины были пробурены на отложения
свиты вудбайн (верхний мел), являвшейся тогда основным продук-
тивным горизонтом на соседних месторождениях. Однако обе скважи-
ны оказались "сухими", хотя расположены, как было позднее уста-
новлено, в продуктивной зоне по свите падукси (нижний мел).

Интерес к площади Талко снова возрос в 1936 г., когда на ме-
сторождении Родесса была получена нефть из нижнемеловых отложений.
В это время на площади Талко была пробурена четвертая разведочная

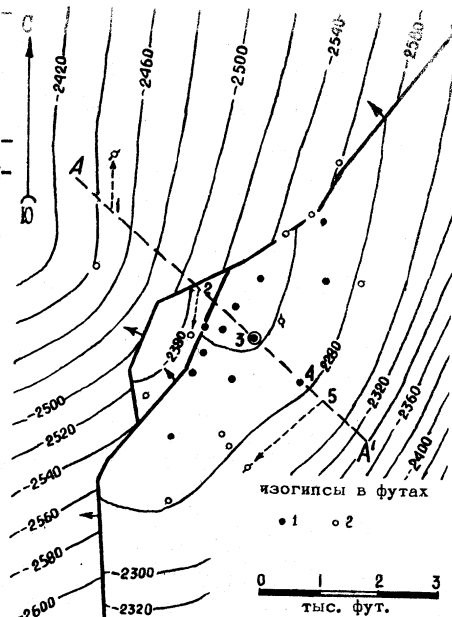


Рис. 17. Месторождение Вьюленд.
Структурная карта по кровле сви-
ты вудбайн (верхний мел).

По М.Дж. Хейсу, 1951.

1 - нефтяные скважины; 2 - не-
продуктивные скважины.

скважина, которая из свиты палукси дала фонтан нефти, после чего разведочные работы интенсифицировались.

В строении рассматриваемого месторождения принимают участие вскрытые скважинами отложения от эоцена до юры включительно. В юре (свита игл форд) имеется каменная соль небольшой мощности, а в остальном разрезе сходен со сводным (табл. 3, 4).

Основной чертой тектонического строения площади является грабен, образованный двумя субширотными сбросами: на юге сбросом

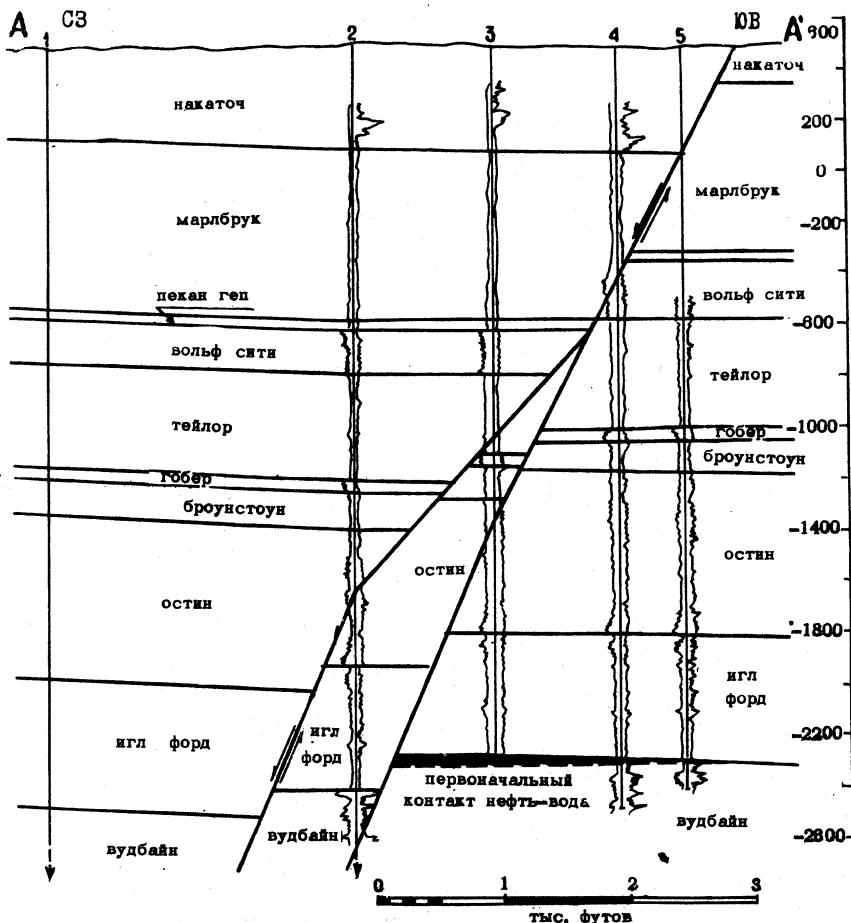


Рис. 18. Месторождение Вьюленд. Геологический профиль.
По М.Дж. Хейсу, 1951.

Талко, на севере - Сульфур Ривер (рис. 20, 21). Ширина грабена уменьшается с глубиной от 4,7 км на поверхности до 0,75 км по подошве мела. Сбросы наклонены навстречу друг к другу под углом 45–58°, однако на глубине, как отмечают Е.А.Вендерленд и Т.Г.Шелби (74), они становятся более крутыми. Амплитуды обоих сбросов увеличиваются с глубиной. Так, по профилю А-А' (рис. 20, 21) амплитуда сброса Талко по кровле верхнего мела равна 120 м, нижнего – 240 м, юры – 470 м, а амплитуда сброса Сульфур Ривер соответственно составляет 150, 180 и 340 м.

Эти сбросы проявляются также на поверхности в неогеновых и антропогеновых отложениях, в частности, антропогенные грубообломочные породы развиты преимущественно только в грабене. Правда, амплитуды сбросов по поверхностным отложениям невелики.

Сбросы Талко и Сульфур Ривер осложняют пологий региональный наклон слоев к югу. На поднятом южном крыле сброса Талко развита полуантеклиналь, ограниченная с севера сбросом. Антеклинальной складкой она называться не может (как это часто делается), так как совершенно лишена северного крыла. Структура имеет четко выраженные южное крыло и переклинали, а перегиб слоев к северу отсутствует. Эта полуантеклиналь в сочетании со сбросом Талко и образует основную ловушку для нефти. По экранирующему сбросу Талко залежь нефти в нижнемеловых песчаниках падуки контактирует с непроницаемыми глинами и известняками.

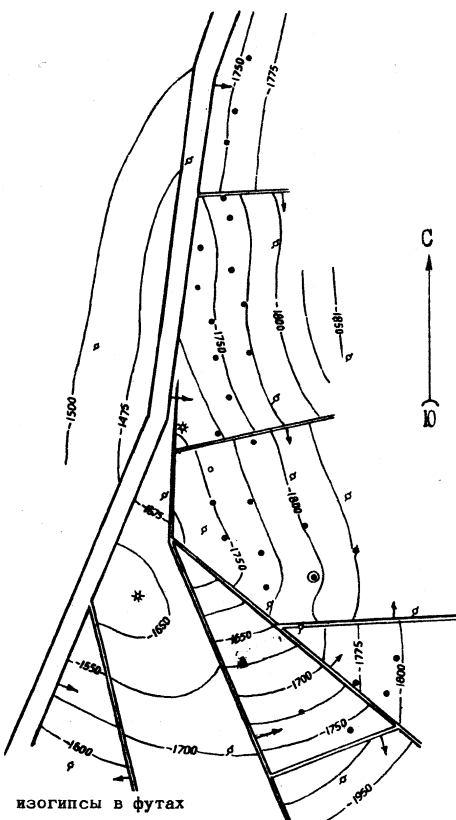


Рис. 19. Месторождение Калверт.
Структурная карта по реперу в
свите наварро (нижний мел).

По Дж. Хамману, 1951.

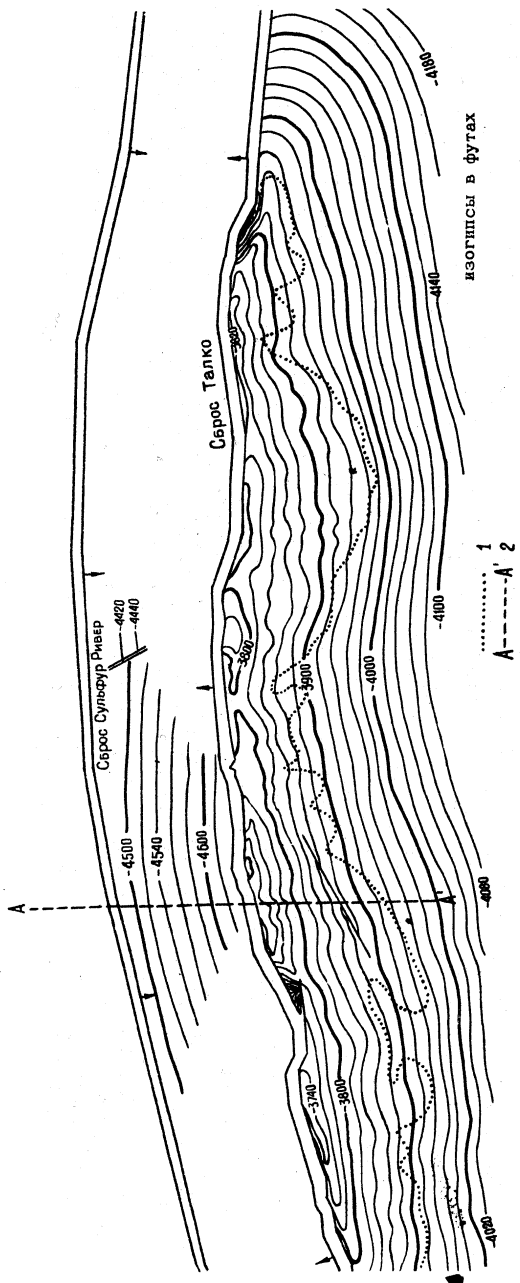


Рис. 20. Месторождение Танко. Структурная карта по кровле известняка гудлен (нижний мел).

По Т.Г. Челби, 1951.

1 - южная граница нефтеносности; 2 - линия профиля.

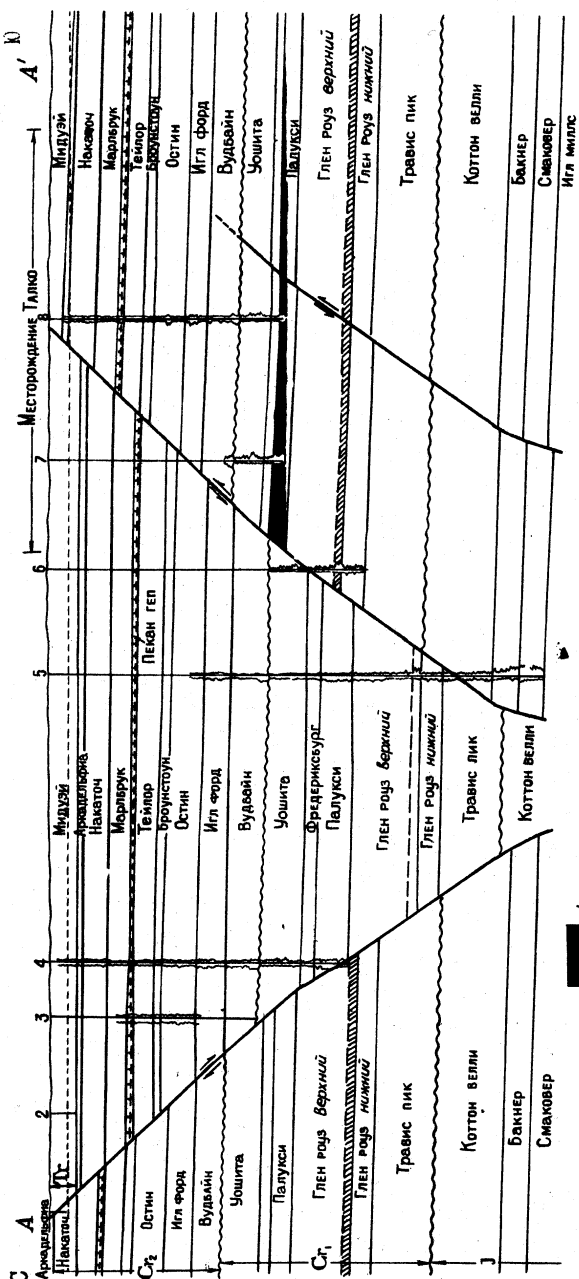


Рис. 21. Месторождение Талко. Геологический профиль. По Т.Г. Шелби, 1951.

I - нефть.

Длина месторождения 24 км, ширина - 1,5-2 км. Средняя пористость продуктивного горизонта 25%, средняя проницаемость 2400 мд. Глубина залегания продуктивного горизонта 1130-1200 м. Внешний контур нефтеносности носит извилистый характер вследствие литологического замещения песчаников продуктивного горизонта глинами вниз по падению. Высота залежи изменяется от 72 м в западной части месторождения до 95 м в восточной в результате опускания контакта нефть-вода. В северной части месторождения (вблизи сброса Талко) продуктивная свита палуки является более песчанистой, чем в южной. Нефть на всей площади месторождения подстилается пластовой водой. Плотность нефти 0,91. Она сильно недонасыщена растворенным газом. В отложениях ниже продуктивной свиты палуки были встречены многочисленные признаки нефти, однако промышленных залежей не открыто.

Е.А.Вендерленд и Т.Г.Шелби (74) отмечают, что на отдельных участках месторождения Талко в скважинах, расположенных вблизи сброса, встречались серьезные затруднения при эксплуатации. Основное из них заключалось в быстром вторжении подошвенных вод, хотя забои скважин находились значительно выше водо-нефтяного контакта и продуктивная часть разреза отделялась от подошвенной воды глинистыми прослойками, препятствующими образование конусов обводнения. Такое раннее подтягивание воды указанные авторы объясняют проводимостью самого сброса и трещин вблизи него, проявляющейся при малейшем нарушении установившегося гидродинамического равновесия, вызванном работой скважин.

Месторождение Талко - самое крупное по запасам из месторождений с залежами в тектонически экранированных ловушках в зонах сбросов Лолинг, Мексика, Талко, Ю.Арканзас, Джильбертаун. С начала разработки (1936 г.) и по 1962 г. на нем добыто 24,7 млн.т нефти, а начальные извлекаемые запасы составляют 33,8 млн.т.

Сбросовая зона Южный Арканзас

К этой зоне приурочены месторождения Фоук, Смаковер, Ирма, Левисвилл и др.

Месторождение Фоук расположено в округе Миллер, штат Арканзас. На площади вскрыты отложения антропогеновой, третичной, меловой и юрской систем; более древние осадки не изучены. Месторождение открыто в 1940 г. Первые разведочные скважины были заложены по данным сейсморазведки.

Основой тектоники района являются два субширотных сброса, которые, падая навстречу друг другу, образуют грабен шириной

2,5–4 км (рис. 22). Ловушки нефти и газа на площади образует южный сброс этого грабена. Амплитуда его по верхнемеловым отложениям составляет 100–115 м, а по нижнемеловым увеличивается до 200–230 м. Это разрывное нарушение часто разветвляется на I–4 нарушения, однако общая амплитуда нескольких сбросов равна амплитуде в той его части, где он выражен одной плоскостью сбрасываемых.

Продуктивными на месторождении являются нижнемеловые отложения. Залежь нефти приурочена к свите палуки, а газа и конденсата – к подстилающей ее свите глен розе (горизонт родесса). Ловушки образованы юго-восточным наклоном слоев, осложненным струк-

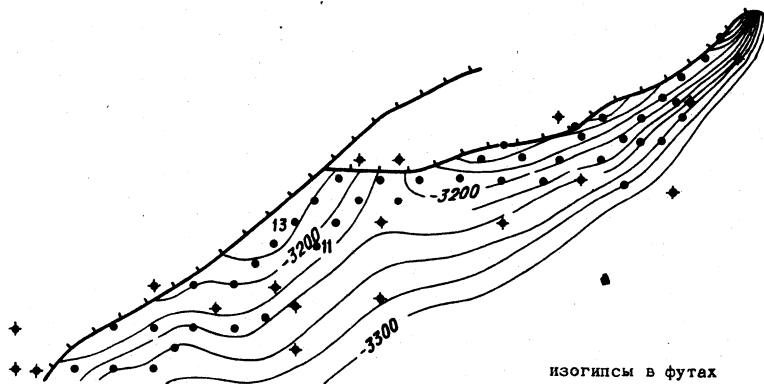


Рис. 22. Месторождение Фоук. Структурная карта по реперу в свите палуки (нижний мел). По С.В.Шварцу, 1948.

турным носом и ограниченным с севера сбросом. Нефть в свите палуки залегает в верхней ее части в нескольких песчаных горизонтах. Пористость песчаников 27–28%, проницаемость 1000–1500 мд. Глубина залегания продуктивного горизонта 1100–1200 м. Нефть недонасыщена растворенным газом. Коллектором газоконденсатной залежи является известняк родесса, глубина залегания которого 1480–1520 м.

Наряду с основными продуктивными горизонтами непромышленные притоки нефти и нефтепроявления наблюдались в свите остин (верхний мел), а также свитах смаковер и коттон велли верхней юры. Как правило, они приурочены к зоне сброса на поднятом его крыле, однако имеются и на опущенном северном крыле. Суммарная добыча нефти на месторождении Фоук на конец 1947 г. составляла 22,6 тыс. м³.

Сбросовая зона Пикенс-Джильбертаун

К этой сбросовой зоне приурочены месторождения Пикенс, Кларк, Поллард, Джильбертаун и др.

Месторождение Джильбертаун расположено на границе штатов Миссисипи и Алабама. Оно открыто в 1944 г. Первые разведочные скважины закладывались на основе данных сейсморазведки, выполненной вдоль давно известной на поверхности системы сбросов. В строении района принимают участие отложения третичной, меловой и юрской систем. К последней приурочена соленосная толща.

Основой тектонического строения района является система сбросов, образующая главный грабен, который с севера оконтуривается сбросом северный Тоукси, а с юга – системой сбросов Джильбертаун (рис. 23, 24, 25). В отличие от многих других месторождений сбросовых зон Галф Коста в данном районе сбросы осложняют не моноклиналь, а приподнятую зону субширотного простирания, лишенную переклиналей.

Залежи нефти в пределах этой приподнятой зоны контролируются тремя основными сбросами: Джильбертаун восточный № 1 и № 2 и Джильбертаун западный. Сброс Джильбертаун восточный № 1 имеет северный наклон сбрасывателя и максимальную амплитуду в средней своей части, которая по кровле свиты зутау (верхний мел) составляет 300 м. Амплитуда сброса Джильбертаун восточный № 2 по этой же свите – от 20 м на западе до 200 м в восточной части, плоскость сбрасывателя его наклонена на юг. Сброс Джильбертаун западный имеет северный наклон сбрасывателя и амплитуду 45–130 м. Кроме трех основных сбросов на площади развит ряд других нарушений, однако залежей нефти они не контролируют.

Залежи нефти на месторождении Джильбертаун приурочены к двум свитам верхнего мела – зутау и селма.

В свите зутау коллектором является песчаник, залежи пластовые, ловушки образованы тремя основными сбросами и наклонным залеганием пород. При этом у сброса Джильбертаун западный продуктивность связана с самой верхней частью свиты зутау, а у сбросов Джильбертаун восточный № 1 и № 2 – с песчаниками, залегающими в 80 м ниже ее кровли. В обоих случаях продуктивные песчаники контактируют по сбросам с относительно непроницаемыми меловыми отложениями свиты селма соседнего блока. Глубина залегания продуктивных горизонтов 900–1000 м, средняя пористость 30%, проницаемость 25–100 мд.

В свите селма коллектором нефти является трещиноватый мел. Залежь массивная. Нефть добывается из верхних 100 м свиты только

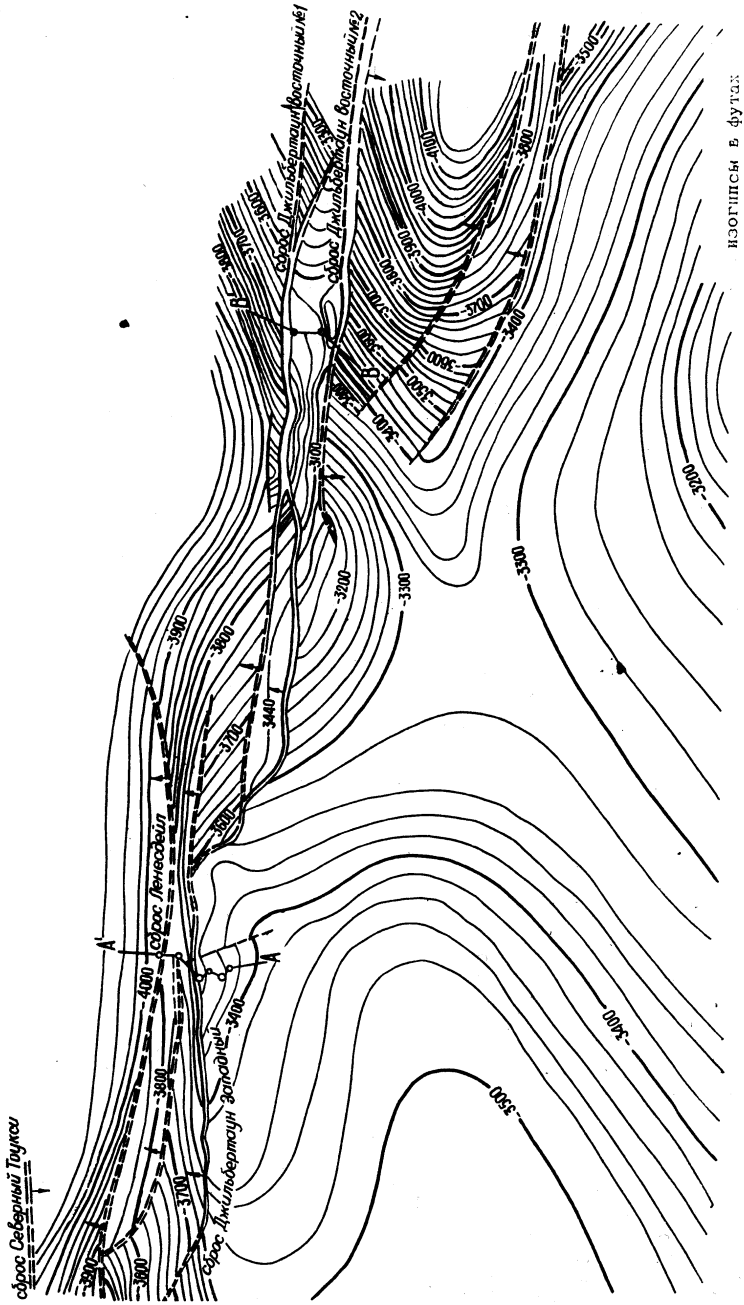


Рис. 23. Месторождение Джильбертаун. Структурная карта по кровле симы залата (верхний член).

По Д.Б.Муру, 1967.

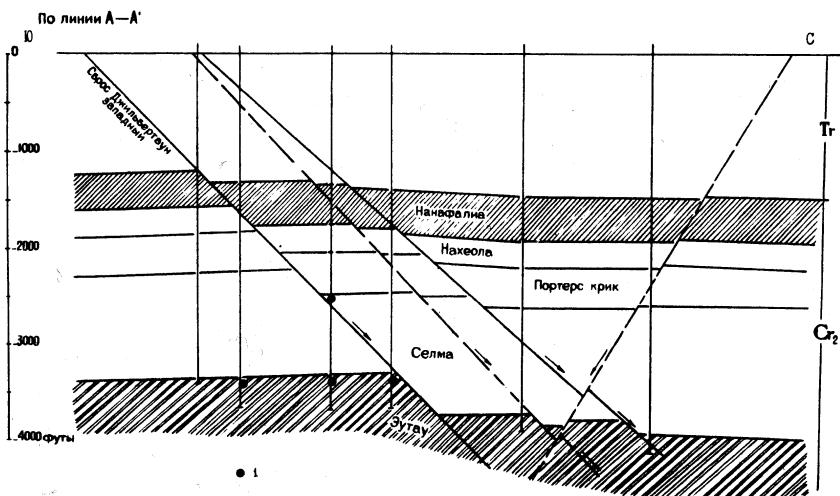


Рис. 24. Месторождение Джильбертаун. Геологический профиль по линии А-А'. По Д.Б.Муру, 1967.

I - нефть.

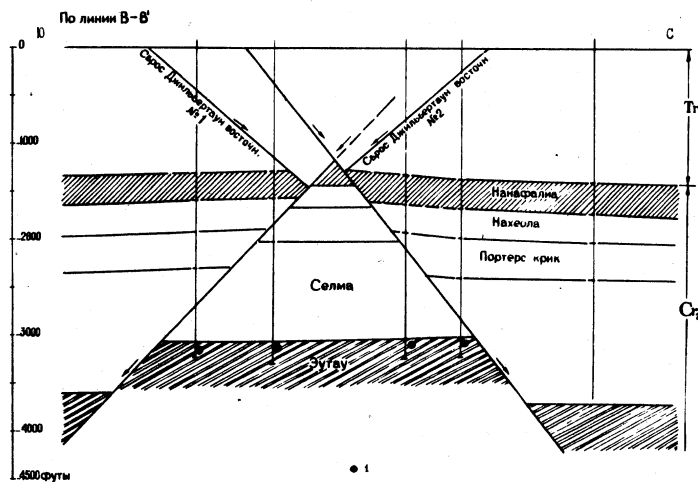


Рис. 25. Месторождение Джильбертаун. Геологический профиль по линии В-В'. По Д.Б.Муру, 1967.

I - нефть.

на опущенных крыльях сбросов в полосе шириной 100–130 м от линии пересечения плоскости сброса и кровли свиты. Вдали от сбросов, а также на их поднятых крыльях даже вблизи сбрасывателя и на более высоких отметках скважины показали наличие нетрещиноватого мела и отсутствие нефти. Глубина залегания залежи 700–850 м.

Размеры месторождения Джильбертауна составляют 10 x 2 км. Физические свойства нефти из обеих свит одинаковы. Это, а также площадное совпадение залежей в обеих свитах дали основание А.М.Карренту (41) и Д.Б.Муру (54) сделать вывод о миграции нефти из песчаников эутау в известняки селма по сбросу. За время разработки месторождения с 1944 по 1965 г. в эксплуатации находились 100 скважин, а ~~суммарная~~ добыча нефти составляет 56,5 тыс.м³.

Сбросовая зона Люлинг

К сбросовой зоне Люлинг приурочены месторождения Дарст Крик, Люлинг, Солт Флет и др.

Месторождение Дарст Крик расположено в округе Гуадалупе, штат Техас. Оно открыто в 1929 г. по данным геологической съемки, выявившей сброс.

Основной чертой строения площади является несогласный сброс северо-восточного простираия с северо-западным падением плоскости сбрасывателя (рис. 26), проявляющийся также на поверхности в третичных отложениях. В верхнем мелу (свита остин) амплитуда

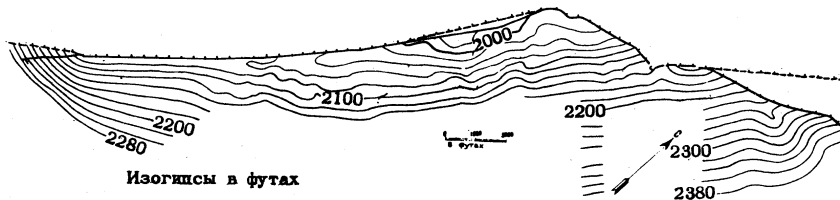


Рис. 26. Месторождение Дарст Крик. Структурная карта по кровле продуктивного горизонта свиты эдвардс (нижний мел).

его составляет 170 м. Наружение выражено одной или двумя–тремя трещинами. Месторождение приурочено к юго-восточному поднятыму крылу сброса. Ловушка образована сбросом и моноклинальным наклоном слоев, осложненным структурным носом.

Основным продуктивным горизонтом на месторождении Дарст Крик является известняк эдвардс нижнего мела, где залежь занимает верхнюю пористую часть разреза. Кроме того, скопления нефти встречены в трещинах непроницаемых мергелей тейлор и мела остин (верхний

мел). Из этих отложений дали нефть 19 скважин, которые расположены вблизи мелких дополнительных сбросов или у мест изгиба основного сброса, но вскрывают свиты тейлор и остин в опущенном северо-западном крыле сброса. Состав нефти во всех трех свитах одинаковый.

Система сбросов Сэмплис

Система сбросов Сэмплис расположена юго-восточнее системы Люлинг в округах Карнс, Атаскоса и др. (рис. I4). Она состоит из серии сбросов северо-восточного простирания, осложняющих моноклинальный юго-восточный наклон слоев (рис. 27). При этом два крайних северо-западных сброса являются согласными (направлены к юго-востоку), а пять юго-восточных – несогласными. Такое их расположение привело к образованию в осевой части сбросовой зоны прогиба, который получил название Карнс (68). Суммарная амплитуда по кровле свиты эдвардс (нижний мел) согласных сбросов равна 350–450 м, а несогласных – 330–420 м.

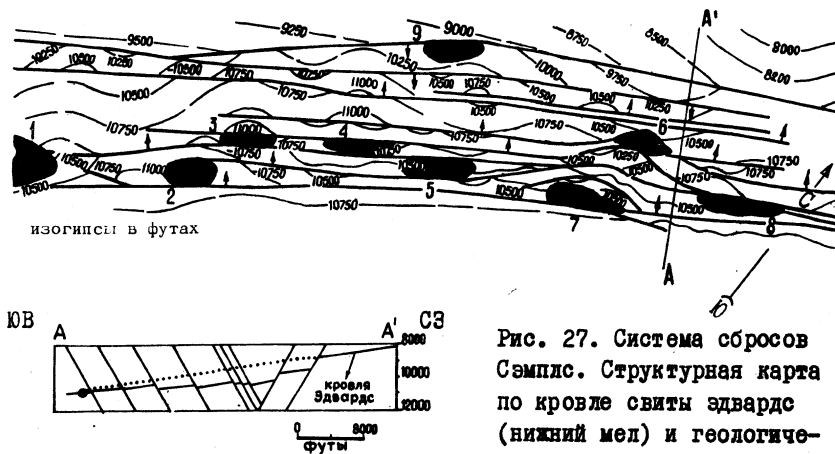


Рис. 27. Система сбросов Сэмплис. Структурная карта по кровле свиты эдвардс (нижний мел) и геологический профиль. По Д.Р. Текеру, 1968.

Месторождения: 1 – Фашинг; 2 – Гусов; 3 – Хобсон; 4 – Биг Джон; 5 – Панна Мария; 6 – Лабус; 7 – Персон; 8 – Дэви; 9 – Фолл Сити.

Со сбросами прогиба Карнс связаны 9 нефтяных и нефтегазовых месторождений. За исключением месторождения Фолл Сити, расположенного в замкнутой приразломной структуре в опущенном крыле согласного сброса, все они приурочены к тектонически экранированным ловушкам на поднятых крыльях несогласных сбросов (Персон,

Фашинг, Гусов, Хобсон, Биг Джон, Панна Мария, Лабус, Дэви). Продуктивной на всех месторождениях является свита эдвардс, а на четырех месторождениях (Хобсон, Гусов, Фашинг, Фолл Сити) залежи, кроме того, выявлены в третичных отложениях.

Месторождение Персон – самое крупное в прогибе Каррис. Оно было открыто в 1959 г. на основе данных сейсморазведки, показавшей наличие структурной аномалии в зоне региональных сбросов. Площадь его представляет собой моноклиналь, осложненную системой согласных и несогласных искривленных сбросов (рис. 28, 29). Ловушка образована искривленными сбросами и моноклиналью. Размеры месторождения 13 x 1,8 км. Экраном для углеводородов является только один, наиболее крупный несогласный сброс (амплитудой по продуктивному горизонту 150 м), ограничивающий месторождение с северо-запада. Два других более мелких сброса (амплитудой 25 и 55 м) не приводят к разделению месторождения на отдельные залежи в каждом блоке вследствие того, что амплитуда их меньше высоты залежи. Во всех блоках имеются единые газо-нефтяной и водо-нефтяной контакты. Амплитуда экранирующего сброса уменьшается вверх по разрезу следующим образом (рис. 29): по кровле свиты эдвардс она равна 150 м, по кровле нижнего мела – 115, по кровле свиты остин – 60, по кровле верхнего мела – 20 м. По кровле палеоценена сброс уже не проявляется.

Продуктивной на месторождении является свита эдвардс. Верхняя часть ее сложена преимущественно известняками, а нижняя – доломитом. Пористость этих пород 11-15%, проницаемость в среднем 3 мд. Месторождение газо-нефтяное. Высота нефтяной залежи 36 м, газовой – 105 м. Глубина залегания продуктивного горизонта 3200-3300 м. Экранирование залежи создается непроницаемыми породами свиты георгитаун и вышележащими, с которыми продуктивная свита контактирует по сбросу.

Со времени открытия (1959 г.) и по 1964 г. на месторождении Персон добыто нефти 33,4 тыс. м³, конденсата 170 м³ и газа 60,5 млн. м³.

Месторождение Фашинг расположено в округе Атаскоса, штат Техас. Ловушка для залежей образована структурным носом, который с северо-запада экранируется несогласным сбросом, и приурочена к поднявшему крылу этого сброса (рис. 30). Нефть содержится в третичных песчаниках карриса, а газ и конденсат – в нижнемеловых известняках эдвардс. Нефтяная залежь была открыта в 30-х годах на основе данных геологической съемки, а газоконденсатная – в 1956 г.

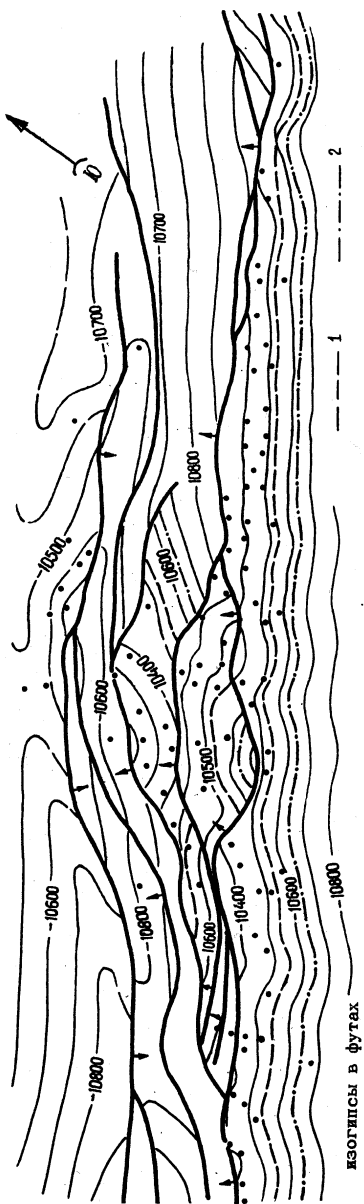


Рис. 28. Месторождение Персон. Структурная карта по кровле продуктивного горизонта Эдвардс (нижний мел). По Д.Г.Риттеру.

1 - контур газ-нефть; 2 - контур нефть-вода.

на основе данных сейсморазведки и сведений о геологическом строении площади по верхним горизонтам.

Внутренняя зона Галф Коста

Внутренняя зона провинции Галф Кост в региональном плане характеризуется, подобно внешней зоне, моноклинальным залеганием пород с наклоном их от периферии к центру Мексиканского залива.

Здесь увеличивается мощность всех комплексов отложений, особенно третичного возраста, которые и составляют основной объект поисково-разведочных работ. Особенностью зоны является широкое развитие открытых и закрытых соляных куполов, а также крупных продольных сбросов (согласных и несогласных). Последние контролируют значительное количество месторождений с залежами тектонически экранированного типа, хотя основная часть месторождений в этой зоне приурочена к сводам соляных куполов. Ниже приводится описание нескольких характерных месторождений с залежами тектонически экранированного типа.

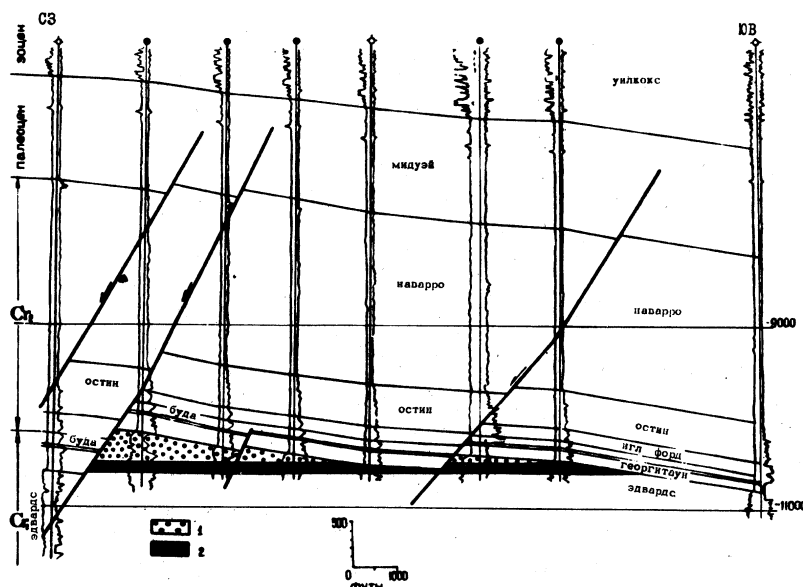


Рис. 29. Месторождение Персон. Геологический профиль.
По Д.Г. Ричтеру.

I - газ; 2 - нефть.

Месторождение Салливанс Лейк расположено в округе Айсбергилл, штат Луизиана, между соляными куполами Байоу Блу и Чайт Касти. Оно находится в зоне олигоцен-миоценового тренда (зона высоких градиентов мощности отложений олигоцена-миоцена). В тектоническом отношении региональный наклон слоев к югу осложнен здесь субширотным согласным сбросом и структурным носом в опущенном крыле его, которые и образуют ловушку для газа (рис. 31). Месторождение открыто в 1953 г. на основе данных сейсморазведки. Здесь выявлен один газоносный горизонт в олигоцене, на который пробурены 5 продуктивных и 4 "сухие" скважины. В скважине 3 получено небольшое количество нефти из поднятого крыла сброса. Тип ловушки здесь неясен. Основной газоносный горизонт в свите хетерестегина имеет мощность 15-18 м, пористость 30%, проницаемость до 928 мд и глубину залегания 3300 м. По сбросу он контактирует с глинами поднятого крыла. На месторождении Салливанс Лейк за период с 1960 по 1964 г. добыто 12,8 тыс.м³ конденсата и 0,935 млрд.м³ газа. Остаточные запасы газа составляют 1,270 млрд.м³.

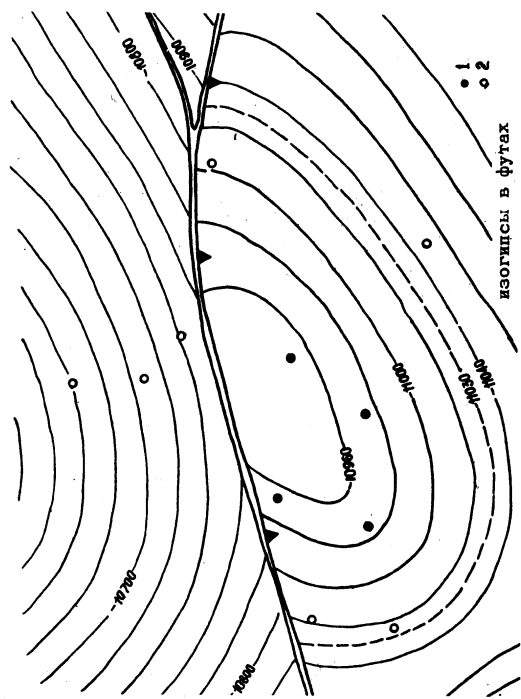


Рис. 31. Месторождение Салливанс Лейк. Структурная карта по кровле продуктивного горизонта (олигоцен). По Р.М.Броуну, 1965.

1 – продуктивные скважины; 2 – непродуктивные скважины.

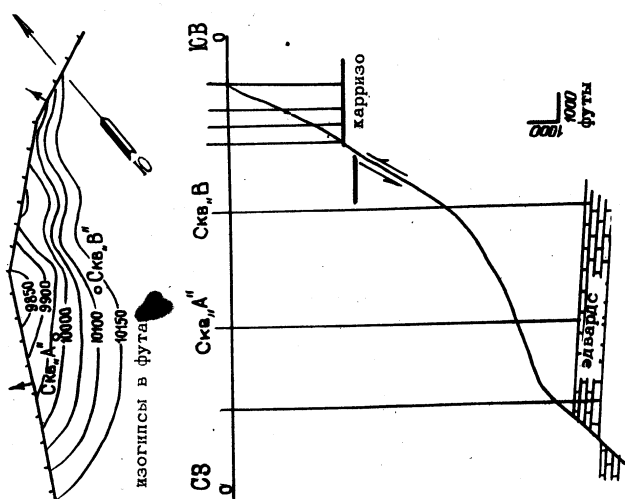


Рис. 30. Месторождение Фаннин.
Структурная карта по сине зоне зерардс (нижний мел) и профиль.
По М.Небелу, 1957.

Месторождение Раминара юго-западная расположено на границе округов Лайк-Ок и Джим-Уэлс штата Луизиана, а в тектоническом отношении – в пределах сбросовой зоны Джексон-Егуа. Месторождение нефтяное. Оно открыто в 1952 г. на основе данных сейсморазведки. Продуктивными являются два горизонта в свите егуа и один в свите джексон эоценового возраста (рис. 32). Площадь представляет со-

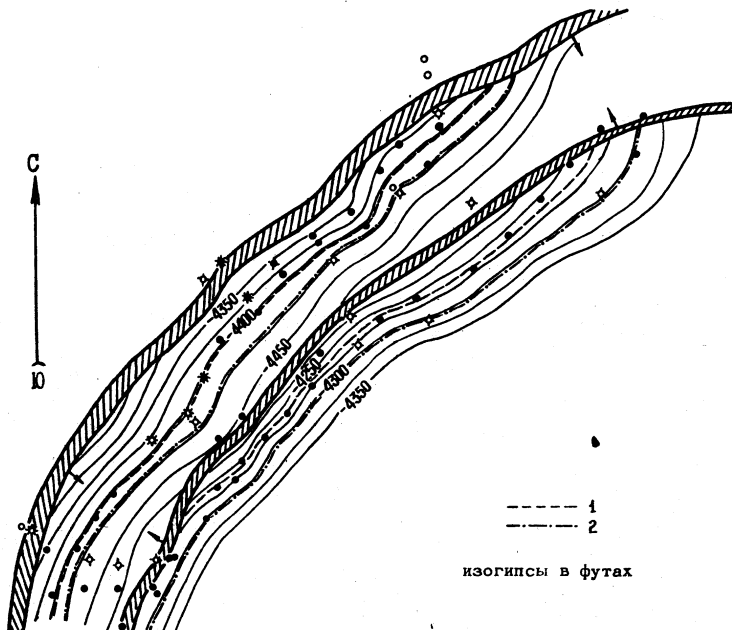


Рис. 32. Месторождение Раминара юго-западная. Структурная карта по продуктивному горизонту джексон I-А (эоцен). По Р. Симсу.

1 – контур газ-нефть; 2 – контур нефть-вода.

бой моноклиналь с юго-восточным наклоном слоев, осложненную двумя продольными сбросами – согласным и несогласным, которые создали грабен. Залежи нефти приурочены к опущенному крылу согласного сброса (в грабене) и поднявшему крылу несогласного. Ловушки образованы искривленными сбросами и моноклиналью. Размеры месторождения 6 x 1,2 км. Глубина залегания продуктивных горизонтов 1400–1700 м. С начала разработки по 1965 г. здесь добыто 18,7 тыс. м³ нефти.

Месторождение Боней расположено в округе Бразория, штат Техас. Оно открыто в 1953 г. В тектоническом отношении площадь представ-

ляет собой моноклиналь, осложненную структурным носом и несогласным сбросом (рис. 33, 34). Последние и образуют ловушку. Продуктивными являются песчаники олигоцена: в свите фрио выявлен газоносный горизонт, а в свите фрио четыре нефтеносных (фрио-верхний, 7600-футовый, 7800-футовый и 7850-футовый). Наиболее важными являются горизонты фрио-верхний, 7600-футовый и 7850-футовый, которые характеризуются выдержаным по всей площади месторождения литологическим составом. Все продуктивные горизонты на месторождении Боней по сбросу контактируют с непроницаемыми породами опущенного блока.

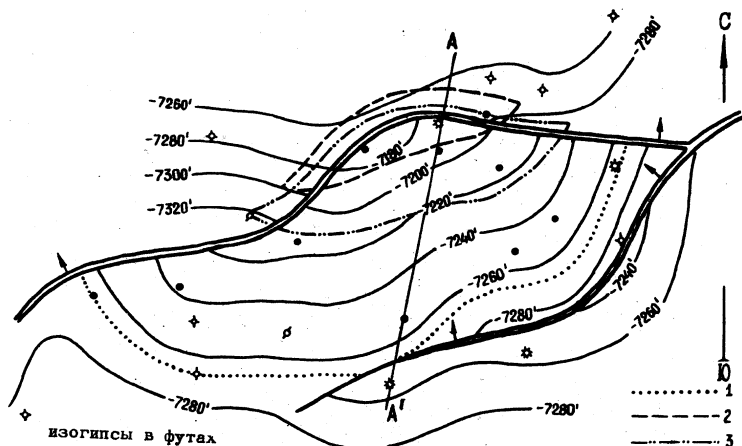


Рис. 33. Месторождение Боней. Структурная карта по кровле продуктивного горизонта фрио-верхний (олигоцен).

По Ф.Л.Смиту и Дж.Гудвину, 1962.

Контуры нефтегазоносности: 1 — горизонта фрио-верхний; 2 — 7850-футового горизонта; 3 — 7600-футового горизонта.

Месторождение Мэй расположено в округе Клеберт штата Техас. Открыто в 1955 г. по данным сейсморазведки. На месторождении выявлены 18 продуктивных горизонтов в свите фрио (олигоцен), среди которых есть нефтяные, газовые и нефтегазовые. В тектоническом отношении площадь представляет собой моноклиналь с юго-восточным наклоном пород, осложненную согласным сбросом и структурным носом (рис. 35). Последний приурочен к северо-западному поднятыму крылу сброса. Ловушка образована основным продольным сбросом, структурным носом и мелкими поперечными сбросами.

Как указывает В.С.Грассо (42), основной сброс на месторождении Мэй характеризуется конседиментационным ростом в период отложения ныне продуктивных образований олигоцена. Амплитуда его изменяется от 35 м на самом высоком подсечении на глубине 900 м до 350 м на глубине 2700 м. На месторождении пробурено 37 скважин,

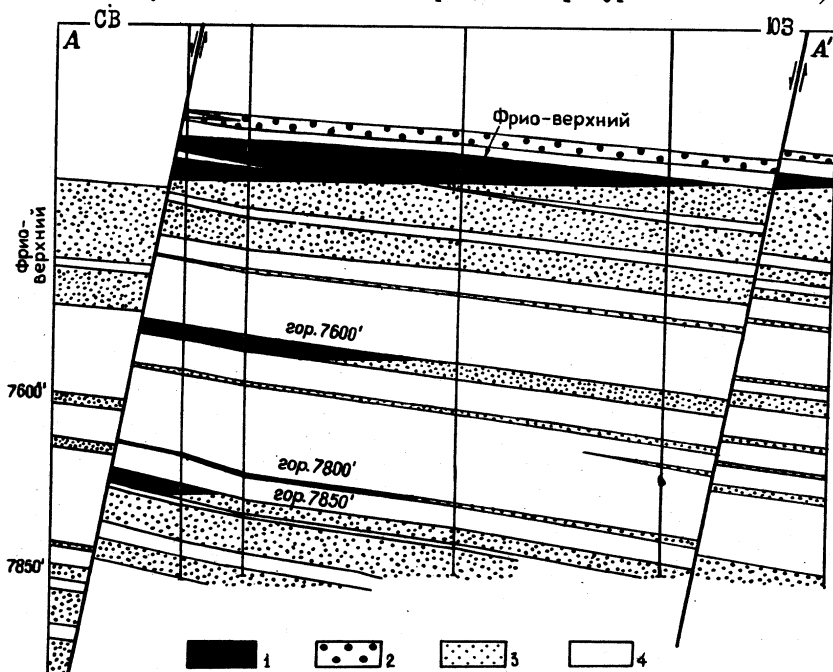


Рис. 34. Месторождение Боней. Геологический профиль.

По Ф.Л.Смиту и Дж. Гудвину, 1962.

I - нефть; 2 - газ; 3 - вода; 4 - непроницаемые породы.

из них 22 оказались продуктивными. С начала разработки и по 1960 г. здесь добыто 1,5 млрд. \cdot м³ газа, 7,4 тыс. \cdot м³ конденсата и 5,9 тыс. \cdot м³ нефти.

X X X

Как указывалось выше, в провинции Галф Кост развиты сбросы двух типов: согласные и несогласные. При этом нефтяные и газовые месторождения с залежами, экранированными сбросами, приурочены в большинстве случаев к поднятым крыльям несогласных сбросов.

Во внешней зоне Галф Коста из 47 проанализированных месторождений два приурочены к опущенным крыльям согласных сбросов (Калверт, Лоне Стар), одно - к поднятым крыльям согласного сброса (Родесса), а остальные 44 - к поднятым крыльям несогласных сбросов. Из последней группы II месторождений описаны выше (Талко и др.), а остальными являются: Пайн Милс, Ричленд, Роу Бейкер, Южный Кроесбек, Валтер Файр, Вортхэм, Люлинг, Меригейл, Варрон, Кэмбелл, Цедар Крик, Корсиана Паузэл, Кюрри, Коссе, Лейквью, Лот, Меригейл-Паузэл, Майнола, Митчел Крик, Нью-Ричленд, Северное Кюрри, Северное Каллатин, Северный Кроесбек, Пэвит Ранч, Биг Джон, Дэви, Дубоси, Панна Мария, Лабис, Пирс, Хайсоу, Эдвардс.

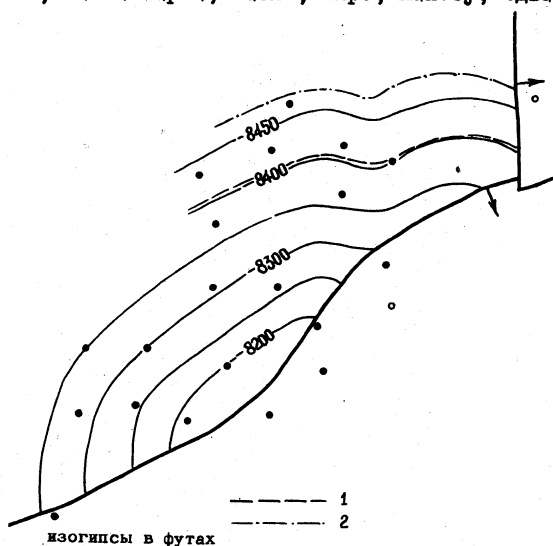


Рис. 35. Месторождение Мэй. Структурная карта по продуктивному горизонту фрио-5 (олигоцайн). По В.С.Грассо.

I - контур газ-нефть; 2 - контур нефть - вода.

Во внутренней зоне Галф Коста соотношение несколько иное. Из 30 проанализированных месторождений 13 приурочены к опущенным крыльям согласных сбросов (Салливанс Лейк, Раминера юго-западная, Ливония, Воннет, Фот Маг, Клир Крик, Мидленд, Южный Ванкрофт, Паттерсон, Южный Тахам, Элис Шут, Плаймаут, Викки Линн), 5 - к поднятым крыльям согласных сбросов (Мэй, Фиг Ридж, Мерсу, Восточный Мидуэй, Северный Миши Вэлли) и 12 - к поднятым крыльям несогласных

сбросов (Лок Оведиас, Маршалл, Раминара юго-западная, Боней, Галба Наварро, Альбрехт, Норт Уизер, Луиз, Мосшилл, Фаир, Минни Вок, Табаско).

Во всех месторождениях, по которым имеются данные о характере контактирования пород, нефте- или газонасыщенные горизонты одного блока контактируют по экранирующим сбросам с непроницаемыми глинами, известняками или мелом соседнего блока.

История и характер развития сбросов

Сведения об истории развития сбросов, развитых в периферийной зоне бассейна Галф Кост, содержатся во многих работах американских геологов. По всем сбросовым зонам они систематизированы в монографии под редакцией Г.Е.Муррея (55), который сделал вывод, что разрывные нарушения возникли в позднемеловое время, а затем периодически развивались на протяжении мела и кайнозоя. При этом периоды наиболее интенсивного роста сбросов совпадали с крупными региональными перерывами в осадконакоплении в предраннемеловое и предкайнозойское время (постседиментационный рост). Однако редко исследуется, происходило ли формирование сбросов на стадиях прогибания региона, хотя в отношении некоторых сбросов дается положительный ответ на этот вопрос. Кроме того, в опубликованных работах не освещается взаимоотношение конседиментационной и постседиментационной составляющей прироста амплитуды сбросов, а также не анализируются сходства и различия в истории развития согласных и несогласных сбросов.

Ниже попытаемся осветить некоторые из указанных вопросов, используя для этого крупномасштабные структурные карты, геологические профили и карты изолахит, прилагаемые к ряду опубликованных работ американских геологов.

По площади Талко имеется крупномасштабный профиль, по которому можно определить историю развития несогласного сброса Талко и согласного Сульфур Ривер (рис. 20, 21, табл. 5).

Мощности отдельных свит меловой системы в разных блоках определены с профиля (рис. 21). Прирост амплитуды сброса Талко за время отложения каждой свиты определяется как разность мощностей свиты в грабене и на южном блоке, а сброса Сульфур Ривер – как разность мощностей в грабене и на северном блоке. Анализ данных о приросте амплитуд обоих сбросов за позднемеловое и кайнозойское время (табл. 6) позволяет сделать следующие выводы:

Таблица 5

Амплитуда сбросов Талко и Сульфур Ривер по
различным горизонтам

Горизонты	Амплитуда сбросов, м	
	Талко	Сульфур Ривер
Кровля верхнего мела	120	150
Кровля нижнего мела	240	180
Кровля юры	470	340

1. Формирование обоих сбросов (согласного и несогласного) происходило почти непрерывно в меловое и кайнозойское время, хотя и неравномерно. Так как основными несогласиями являются предраннемеловое, предпозднемеловое и предкайнозойское, то прирост амплитуды сбросов за время отложения свит, не затронутых этими перерывами (глен розе, палукси, фредериксбург, игл форд, остин, броунстоун, тейлор, пекан геп и марлбрук), является конседиментационным. Этот прирост для сброса Талко составляет 270 м (59%), а для Сульфур Ривер – 136 м (40%), так как конседиментационный рост сбросов несомненно происходил и при отложении пограничных с несогласиями свит (травис пик, ушито, вудбайн, накаточ, арка-дельфия и в кайнозое), величину которого количественно определить по профилю (рис. 21) не представляется возможным. Действительная конседиментационная составляющая прироста амплитуды сбросов является значительно большей и, по-видимому, достигает около 80–90% для сброса Талко и 70–80% – для сброса Сульфур Ривер.

2. Амплитуда по верхним горизонтам несогласного сброса Талко меньше, чем согласного сброса Сульфур Ривер, а по нижним горизонтам (поверхность юры) – наоборот (табл. 5). На протяжении истории развития взаимоотношение между этими сбросами было таково: несогласный сброс Талко в ранне- и позднемеловое время развивался интенсивнее, чем в кайнозое (прирост амплитуды его составил в раннемеловое время 50,4%, в позднемеловое – 25,7%, в кайнозое – 23,9%), а согласный сброс Сульфур Ривер, наоборот, в кайнозое усилил интенсивность роста (прирост амплитуды его за раннемеловое время составил 39,6%, позднемеловое – 16,8%, кайнозойское – 43,6%). Такое различное изменение интенсивности роста согласного и несогласного сбросов, по-видимому, связано с различными причинами их возникновения, проявление которых изменялось со временем.

Таблица 6

Прирост амплитуды сбросов Талко и Сульфур Ривер

Горизонты	Мощность, м			Прирост ам- плитуды сбросов, м		Прирост ам- плитуды, %	
	Джийский блок	Гра- бен блок	Север- ный блок	Талко	Суль- фур Ривер	Талко	Суль- фур Ривер
Травис пик	364	372	372	8	0	1,7	0
Глен розе	483	535	493	61	44	13	13
Палукси+фредерикс- сбург	156	270	193	112	75	24,4	22,1
Уошито	186	238	223	52	15	11,3	4,5
Всего за нижний мел				233	134	50,4	39,6
Будбайн	200	221	178	22	29	4,8	8,6
Игл форд	134	167	171	33	8	7,2	2,4
Остин	171	220	193	33	8	7,2	2,4
Броуистоун+тей- лор+пекан геп	216	238	208	22	0	4,8	0
Марлбрук	119	127	134	8	0	1,7	0
Накаточ+арка- дельфия	193	193	171	0	8	0	2,4
Всего за верхний мел				118	53	25,7	16,8
Кайнозой				120	150	23,9	43,6
Всего за мел и кайнозой				461	337	100	100

3. Поскольку сброс Талко интенсивно формировался в меловой период, в том числе и непосредственно во время осадконакопления, то и ловушка для нефти в свите палукси на одноименном месторождении формировалась в это же время. Последнее вытекает из того, что сброс Талко является составной частью ловушки; другая ее составляющая — моноклинальный наклон слоев в сторону оси бассейна, который также формировался одновременно с осадконакоплением.

Теперь рассмотрим историю и характер развития сбросов в пределах месторождения Джильбертаун. В западной части его имеется два основных сброса — несогласный сброс Джильбертаун западный и согласный Ленсгдейл (рис. 23). В соответствии с крупномасштабным профилем по линии А-А¹ (рис. 24) амплитуда этих сбросов изменяется следующим образом (в метрах):

	Джильбертаун западный	Ленсгдейл
Кровля свиты зутау	150	20
" селма	98	16
" нахеола	72	12
Подошва палеогеновых отложений	40	8

Из этих данных следует, что в бесперерывном интервале разреза верхнего мела от кровли свиты нахеола до кровли свиты зутау амплитуда несогласного сброса Джильбертаун западный увеличивается на 78 м, а согласного сброса Ленсгдейл - на 8 м. Эти цифры характеризуют величину конседиментационного роста сбросов за время отложения свит селма, портерс крик и нахеола; в процентном отношении прирост составляет для сброса Джильбертаун западный 52% и для сброса Ленсгдейл - 40% амплитуды по кровле свиты зутау в современном структурном плане. Фактически, с учетом конседиментационного роста сбросов при отложении пограничных с несогласиями свит эти величины будут значительно большими.

Другой пример представлен на профиле В-В^I (рис. 25), который пересекает согласный сброс Джильбертаун восточный № 2 и несогласный - Джильбертаун восточный № I. Эти сбросы характеризуются следующими амплитудами (в метрах):

	Джильбертаун восточный № I	Джильбертаун восточный № 2
Кровля свиты зутау	226	167
" селма	122	88
" нахеола	62	46

Следовательно, за время отложения свит зутау, селма и нахеола, залегающих согласно, конседиментационный прирост амплитуды несогласного сброса Джильбертаун восточный № I составил 164 м, а согласного Джильбертаун восточный № 2 - 121 м, что в обоих случаях соответствует 72% общей амплитуды сброса по кровле свиты зутау. На конседиментационный характер развития сбросов во время отложения свиты селма на площади Джильбертаун указывает также А.М.Каррент (41). Таким образом, и на данной площади несогласный сброс характеризуется большей амплитудой, чем сопряженный с ним согласный, и, кроме того, величина конседиментационной составляющей прироста амплитуды сбросов больше постседиментационной.

ВЕНСКИЙ БАССЕЙН

Венский бассейн представляет собой типичную межгорную впадину, вытянутую в северо-восточном направлении и расположенную между складчатыми сооружениями Альп и Карпат. Длина бассейна 200 км, ширина - до 60 км. Западная, большая по площади часть бассейна расположена на территории Австрии, а восточная - на территории Чехословакии (рис. 36).

Фундамент бассейна представлен породами палеогена, мела и более древними, слагающими на обрамлении его складчатые сооружения Альп и Карпат. При этом в западной части впадины фундамент представлен эоцен-меловыми флишем и образованиями вашберг-николсбург олигоцена, а в восточной - карбонатными отложениями кры и триаса (рис. 37). Осадочный комплекс Венского бассейна сложен породами миоцена и плиоцена. В миоцене выделяются ярусы (снизу вверх): бурдигальский, гельветский, тортонский и сарматский, а в плиоцене - паннонский (табл. 7). Следует отметить, что бурдигальский ярус выделяется не всеми исследователями, поэтому на приводимых разрезах он отсутствует (рис.

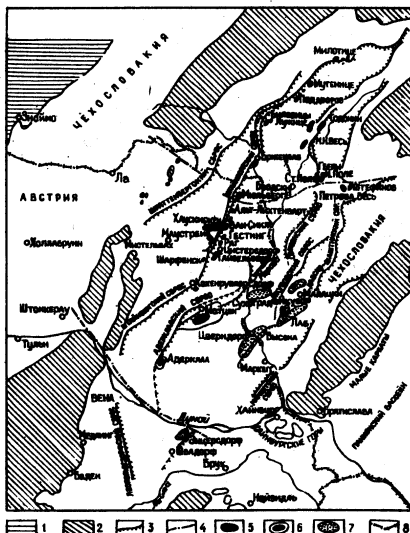
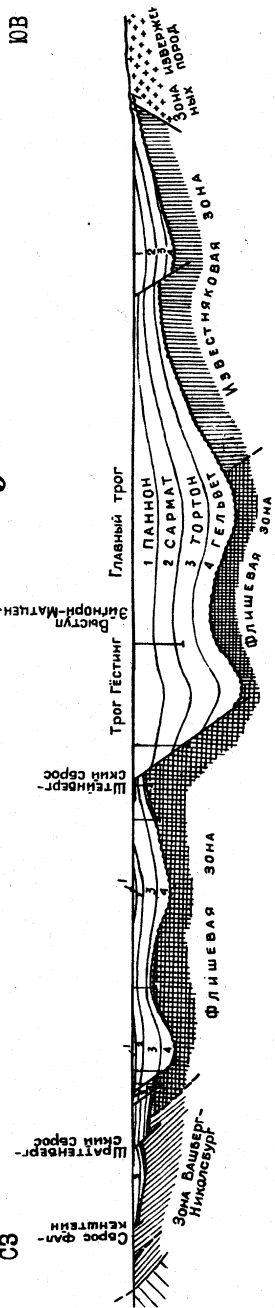


Рис. 36. Венский бассейн.
Тектоническая схема.

По Г.Н.Доленко.

- 1 - Чешский массив;
- 2 - складчатое сооружение Восточных Альп и Западных Карпат;
- 3 - наиболее крупные продольные сбросы;
- 4 - крупные поперечные нарушения;
- 5 - нефтяные месторождения;
- 6 - газово-нефтяные месторождения;
- 7 - газовые месторождения;
- 8 - государственная граница.

Поперечный профиль севернее реки Дунай



Поперечный профиль южнее реки Дунай

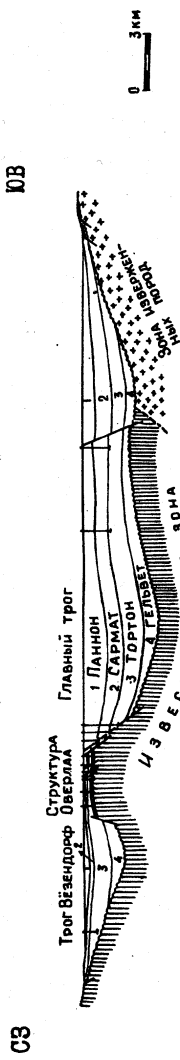


Рис. 37. Венский бассейн. Региональные геологические профили. По Р. Яношеку, 1958.

37). По площади бассейна наблюдаются характерные изменения мощностей и фаций образований миоцен-плиоцена: в центральных опущенных частях впадины мощность осадков максимальная (до 6000 м), причем преобладают глинистые и мергелистые фации, в прибрежных частях бассейна происходит уменьшение общей мощности осадочного чехла (150-1500 м) и при этом состав пород становится более грубозернистым. В прибрежных зонах в разрезе осадочного чехла имеется ряд несогласий. В осевой части бассейна отложения паннона, сарматы и тортона залегают согласно, а границы тортона — гельвет и гельвет — бурдигал — несогласные.

Основой тектонического строения Венского бассейна являются крупные продольные сбросы, придающие ему черты типичного грабена. Большинство сбросов наклонено к осевой части прогиба под углом 50-70°. В западной части бассейна проходят Шраттенбергский и Штайнбергский сбросы, в восточной — Сватоянский, Годонин-Гельский, Лабско-Шаштинский и др., в осевой — Адерклааский. Все они характеризуются длительной историей развития, вследствие чего разделяют участки с различными мощностями и литологическим составом отдельных ярусов осадочного чехла. К сбросам и присбросовым зонам дислокаций вблизи них приурочены основные зоны нефтегазонакопления рассматриваемого региона. Именно вблизи основных сбросов развито подавляющее количество локальных структурных форм (антиклинали, купола, полукупола, структурные носы, наклонные блоки), являющихся основными ловушками для нефти и газа.

Нефтегазоносность Венского бассейна выявлена по всему вскрытыму стратиграфическому разрезу от эоценового флиша до паннонско-го яруса плиоцена. Однако наибольшие запасы нефти и газа приходятся на отложения миоцена, где продуктивны все его ярусы. Меньшие запасы углеводородов приурочены к паннону. В последние годы значительное количество залежей нефти открыто в отложениях эоцен-мезозойского дислоцированного флиша (Адерклаа, Санкт-Ульрих-Хаус-кирхэн, Шенкирхен Тиф, Бритенли, Протесс Тиф).

Рассмотрим строение месторождений, где залежи приурочены к ловушкам тектонически экранированного типа.

Большое количество таких месторождений приурочено к Штайнбергскому сбросу, особенно к его средней части, называемой Цистерсдорфской зоной поднятий и расположенной на территории Австрии (рис. 38). Штайнбергский сброс является согласным сбросом, наклоненным к востоку под углом от 50° на глубине 500 м и до 70° на глубине 1500 м. Максимальная амплитуда его наблюдается в районе

Таблица 7

Схематический литолого-стратиграфический разрез
Венского бассейна (по Г.Н.Доленко с упрощением)

Отдел	Ярус	Подъярус	Литологический состав	Мощность, м
Плиоцен	Панион	Верхний	Пестроцветная толща: глины, пески, галечники, известняки	До 300
		Средний	Мергели и глины с прослойками песков, песчаников и лигнита	200-250
		Нижний	Мергели, пески, лигниты	200-600
	Сармат	Верхний	Мергели, пески, песчаники, глины, известняки, конгломераты	100-1000
		Нижний		100-1000
	Тортон	Верхний	Мергели, пески, песчаники, известняки	50-1000
		Нижний	Мергели, пески, песчаники, базальные конгломераты	600-800
Миоцен	Гельвет		Фация грундер: пески с прослойками мергелей. Фация шлиф: мергели с мало-мощными прослойками песчаников; конгломераты, брекчии	300-1000
	Бурдигал	Верхний	Глины с прослойками песков, базальные конгломераты и песчаники	До 800
Палеоген, мезозой		Нижний	Флиш	150-300

Цистерсдорфа и составляет по сармату 2000 м. В более древних отложениях амплитуда сброса увеличивается, а вверх по разрезу уменьшается, так что по поверхностным антропогенным отложениям сброс не проявляется. Вдоль сброса в опущенном восточном крыле его прослеживается цепочка локальных поднятий, разобщенных узкими синклинальными прогибами. С большинством из этих поднятий связаны место-

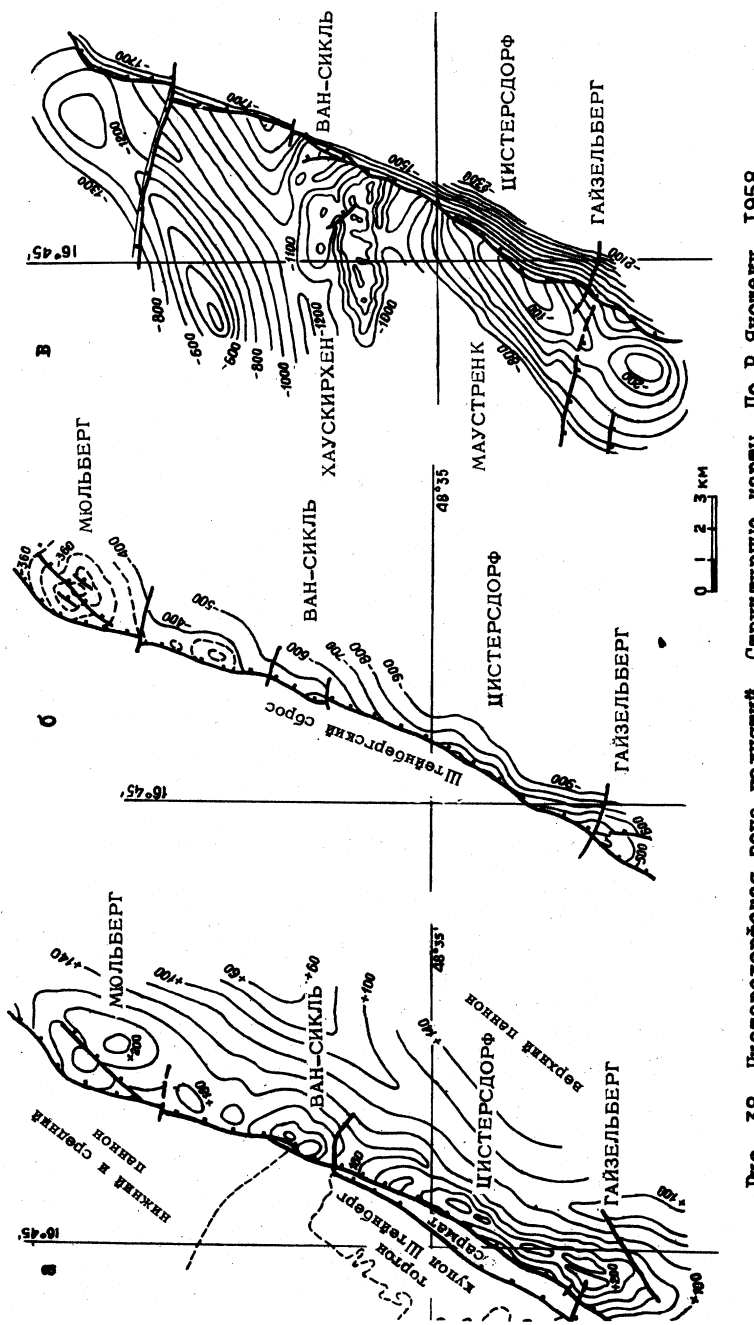


Рис. 38. Цистердорфская зона по днитий. Структурные карты. По Р. Яноеку, 1958.
а - по верхнеэпанионскому реперу (с поверхности геологий); б - по кровле сарматы; в - по поверхности фундамента.

рождения нефти и газа: Мольберг, Раг, Гёстинг, Ван-Сикль, Гайзельберг и др. Для данных площадей характерно, что по верхним горизонтам здесь наблюдаются замкнутые куполовидные поднятия (рис. 38, а). У последних с глубиной исчезают западные крылья, и они превращаются в полукупола или структурные носы, прислоненные к Штайнбергскому сбросу (рис. 38, б, в), которые в сочетании со сбросовым экраном часто образуют ловушки тектонически экранированного типа.

Большинство месторождений с тектонически экранированными ловушками в Венском бассейне расположено на опущенных крыльях согласных сбросов (Гайзельберг, Раг, Гёстинг, Ван-Сикль, Хохенрупперсдорф, Альт-Лихтенварт, Бржедлав, Биловице-Жижков, Бродске, Лужице), и лишь изредка они расположены на поднявших крыльях несогласных сбросов (Годонин, Гбели). При этом залежи обеих групп располагаются на крыльях сбросов, обращенных в сторону осевой части бассейна, за исключением месторождения Биловице-Жижков, где небольшие залежи нефти приурочены к обоим крыльям экранирующего сброса.

Месторождение Гайзельберг является нефтегазовым. Открыто в 1938 г. В тектоническом отношении площадь его по верхним горизонтам (паннонский ярус) представляет собой куполовидное поднятие с размерами 3 x 2 км и амплитудой 90 м, расположенное в опущенном крыле Штайнбергского сброса (рис. 38, а; 40). С глубиной в отложениях сарматы, тортона и по фундаменту западное крыло этого поднятия исчезает и оно превращается в полукупол, ограниченный Штайнбергским сбросом (рис. 38, б, в; 39, 40). Купол и полукупол разбиты мелкими согласными сбросами, параллельными основному разрыву.

Нефтеносными являются отложения сарматы (10 горизонтов) и в меньшей степени тортона (5 горизонтов). Небольшие массивные залежи нефти содержатся в породах флиша. Газовые залежи приурочены к сармату (два горизонта) и нижнему паннону (один горизонт). Кроме того, некоторые нефтяные горизонты имеют небольшие газовые шапки. Начальные дебиты на месторождении составляли: нефти - 50-120 т в сутки, газа 50-75 тыс. м³/сутки. Все залежи являются тектонически экранированными: ловушки образованы полукуполом и Штайнбергским сбросом. Продуктивные горизонты по сбросу контактируют с метаморфизованными непроницаемыми породами палеогенового флиша.

Месторождение разрабатывается с 1938 г. Суммарная добыча нефти к концу 1957 г. составила 2,62 млн.т.

Месторождение Ван-Сикль открыто в 1938 г. (рис. 38). Оно во многом сходно с месторождением Гайзельберг. Основная нефтенос-

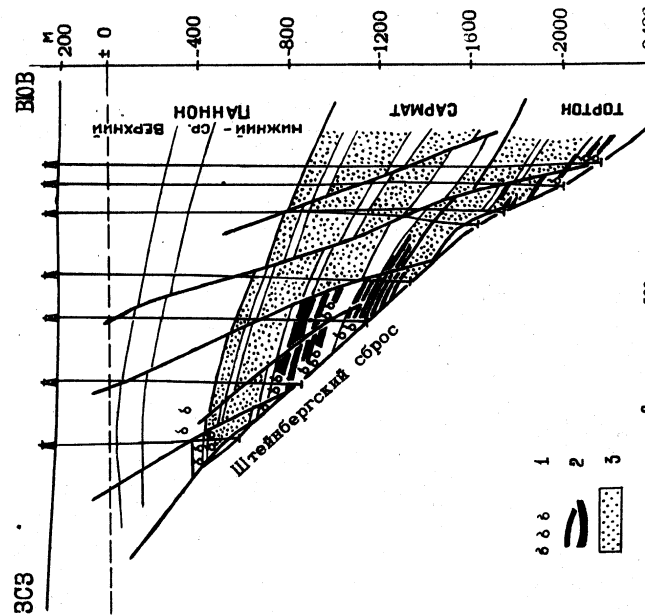


Рис. 40. Месторождение Гайзельберг. Геологический профиль. По Р. Яношеку, 1958.
1 — газ; 2 — нефть; 3 — водонасыщенные песчаники.

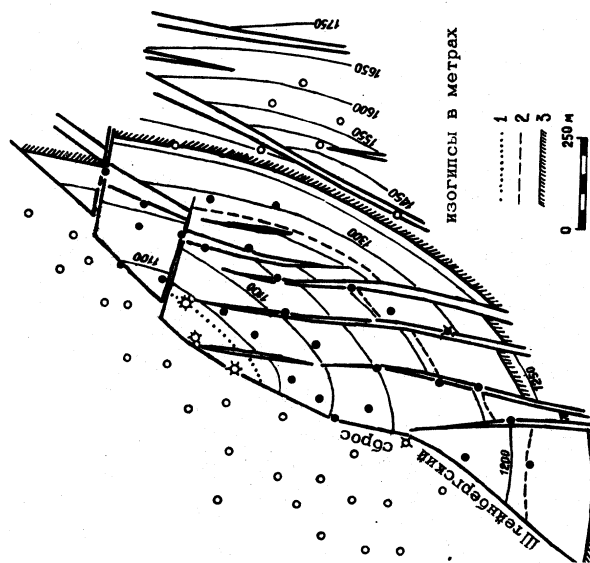


Рис. 39. Месторождение Гайзельберг.
Структурная карта по 18-му горизонту
(сармат). По Р. Яношеку, 1958.
1 — контур газ-нефть; 2 — современный
контур нефть-вода; 3 — начальный кон-
тур нефть-вода.

ность связана с сарматским ярусом, где насчитывается 14 продуктивных песчаных горизонтов. Кроме того, имеется два нефтеносных горизонта в тортоне и один в панноне. Ловушка на месторождении образована полукуполом и Штейнбергским сбросом.

Кроме месторождений Гайзельберг и Ван-Сицль к австрийской части Штейнбергского сброса приурочено еще несколько месторождений подобного же типа: Раг, Мюльберг, Гёстинг, Хохенгруппердорф, Альт-Лихтенварт и др. Суммарная добыча нефти к концу 1957 г. составила: на месторождении Гёстинг - 1,8 млн.т и Раг - 0,6 млн.т.

На территории Чехословакии к зоне Штейнбергского сброса приурочены месторождения Бржецлав, Биловице-Лихков и др.

Месторождение Биловице-Лихков расположено в северной части зоны Штейнбергского сброса у места его сближения с Шраттенбергским сбросом. Сарматские отложения образуют на площади брахиантиклиналь, а тортоные - полукупол (рис. 41). Залежи нефти и газа экранируются Штейнбергским сбросом и расположены на обоих его крыльях.

Продуктивными являются отложения тортона и сармата. На месторождении Бржецлав (рис. 42) тектонически экранированные залежи расположены только на опущенном крыле Штейнбергского сброса.

Залежи в тектонически экранированных ловушках имеются также в восточ-

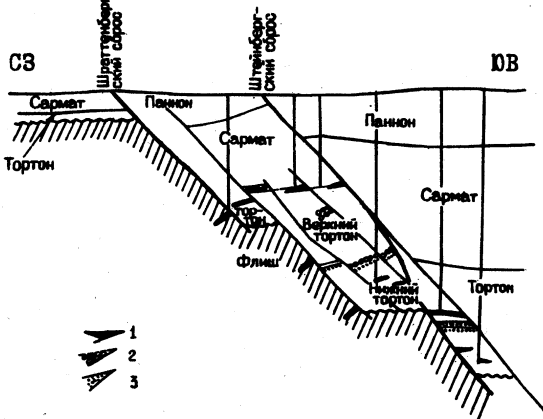


Рис. 41. Месторождение Биловице-Лихков.
Геологический профиль. По И.Длабачу.

1 - нефть; 2 - газ; 3 - вода.

ной части Венского бассейна, в основном на территории Чехословакии. Это такие месторождения, как Годонин, Бродске, Лужице, Гбели, Петрова Весь, Штефанов. Правда, по запасам они более мелкие, чем месторождения зоны Штейнбергского сброса.

Месторождения Годонин и Гбели характеризуются отличным от вышеописанных строением (рис. 43). Оба месторождения приурочены к Годонино-Гбелльскому несогласному сбросу (плоскость сбрасывает-

ля наклонена к востоку при региональном наклоне слоев к западу). Залежи нефти (некоторые с небольшими газовыми шапками) расположены на поднятых крыльях несогласных Годонинско-Гельльского и дополнительного сбросов и экранируются ими. Продуктивные горизонты на месторождениях контактируют по сбросам с осадочными породами миоцене соседних блоков. Кроме залежей в ловушках тектонически экранированного типа на месторождении Годонин имеются залежи в стратиграфических и литологических ловушках. По запасам оба месторождения мелкие.

х х х

История нефтяной промышленности Венского бассейна начинается с 1913 года, когда было открыто месторождение Гбели. Основанием для заложения здесь мелких скважин послужили естественные выходы газа и сернистых источников. В 1920 г. было открыто месторождение Годонин. Это явилось стимулом к постановке поисково-разведочных работ и в австрийской части бассейна, приведших к открытию в 1932 г. месторождения

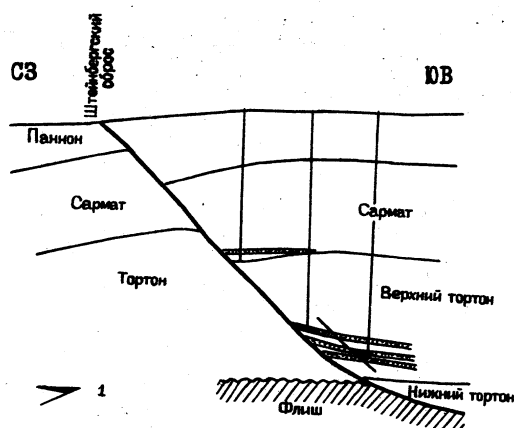


Рис. 42. Месторождение Бржелав. Геологический профиль. По М.Длабачу.

I – нефть.

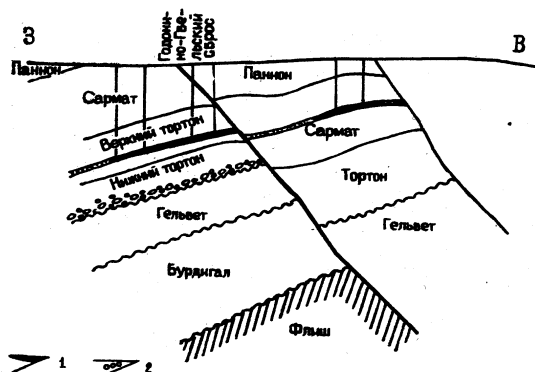


Рис. 43. Месторождение Гбели. Геологический профиль. По М.Длабачу.

I – нефть; 2 – газ.

Гёстинг, в 1937 г. - Раг, а в 1938 г. - Гайзельберг. Разведочные скважины в этот период закладывались в основном по данным геологической съемки и структурного бурения.

В 1938-1944 гг. с внедрением сейсморазведки и гравиразведки были открыты новые месторождения: Мольберг, Маустренк, Альт-Лихтенварт и др. В 1949 г. советские нефтяники открыли самые крупные месторождения Венского бассейна - Матцен и Адерклаа, связанные с брахиантиклинальными складками приразломного типа. В послевоенный период выявлен также ряд мелких месторождений на территории Чехословакии: Лужице, Бродске, Петрова Весь, Штефанов и др.

История формирования ловушек. Основой образования тектонически экранированных ловушек, с которыми в Венском бассейне связана примерно половина известных месторождений, являются региональные продольные сбросы: Штайнбергский, Годонино-Гебельский, Лужицко-Бродский и др. Они формировались на протяжении всей истории развития Венского бассейна - от среднего миоцена до плиоцена включительно. Это положение обосновывается М.И.Варенцовым (7), Р.Яношечком (47), А.Т.Кротовичем (26), Г.Штавассером (65), К.Фридлем (35).

В период прогибания бассейна развитие сбросов происходило конседиментационно, а во время региональных подъемов в предгельветское, предтортонское и особенно в послепаннонское (предантропогеновое) время - постседиментационно.

Так, прирост амплитуды Штайнбергского сброса за счет конседиментационного формирования за тортоносое и сарматское время, по данным Г.Штавассера (65), на участке структуры Мольберг составляет 820 м (рис. 44,б,в), а предантропогеновый постседиментационный прирост амплитуды его равен 350 м (рис. 44,г), т.е. последний составляет 30% общей амплитуды. На структуре Гёстинг эти величины соответственно равны 2900 м (рис. 45,б,в) и 1500 м (рис. 45,г), т.е. конседиментационная составляющая прироста амплитуды сброса по подошве тортоносого яруса достигает 34%. Примерно такие же соотношения роста в разные периоды наблюдаются и у других сбросов Венского бассейна.

В антропогеновое время, как указывают Г.Н.Доленко (19) и другие исследователи, формирование продольных разломов уже не происходит - покров этих отложений мощностью 50-100 м и более сбросами не затронут.

Одновременно со сбросами, как видно из палеотектонических профилей (рис. 44, 45), в опущенных крыльях их формировались брахиантиклинали, купола и полукупола. Исторически и генетически они связаны со сбросами (65).

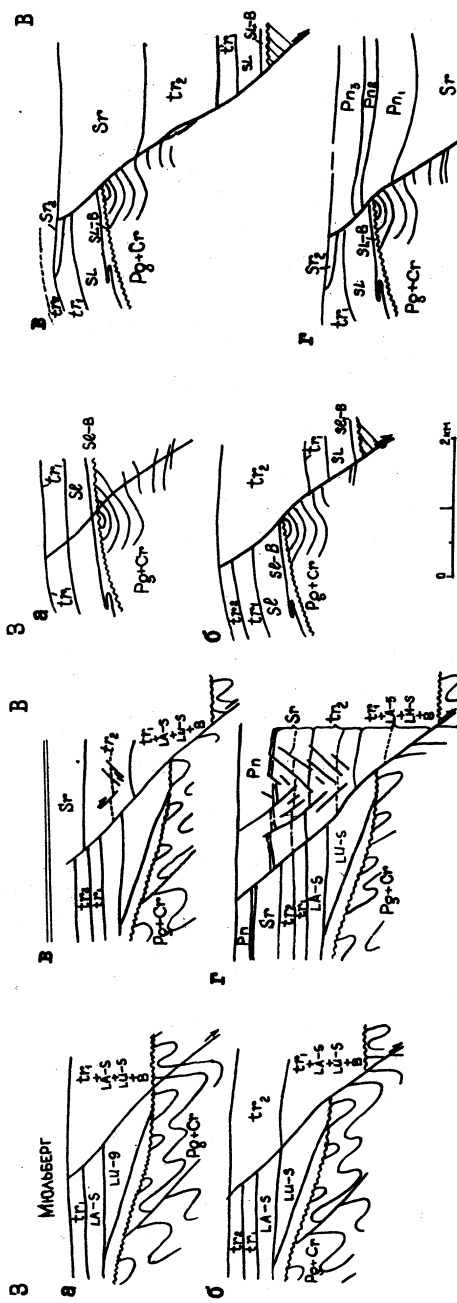


Рис. 44. Палеотектонические профили через структуру Мольберг. По Г. Штравассеру, 1966.

а – предверхнегорийское время; б – предсарматское время; в – предланнонское время; г – современный этап.

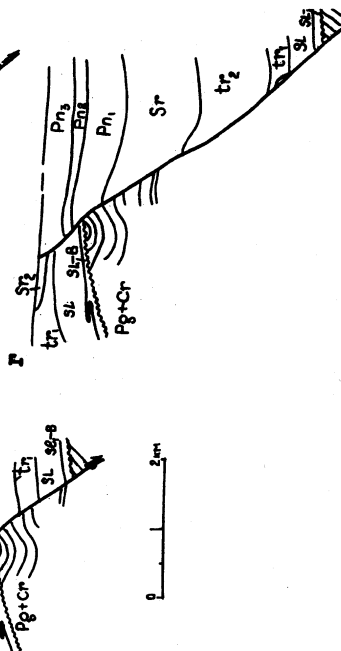


Рис. 45. Палеотектонические профили через структуру Гётtingен. По Г. Штравассеру, 1966.

Условные обозначения см. рис. 44.

Условные обозначения см. рис. 44.

Из всего этого можно сделать вывод, что тектонически экранированные ловушки на месторождениях Венского бассейна являются древними, так как обе составные части их – сброс и полукупол – по каждому продуктивному горизонту формировались одновременно с осадконакоплением и вслед за ним, хотя в конце неогена они значительно увеличили свои амплитуды. Следовательно, благоприятные структурные условия для формирования залежей нефти здесь существовали уже в тортоонском и сарматском веках.

ДРУГИЕ НЕФТЕГАЗОНОСНЫЕ РЕГИОНЫ (ВЛАДИНА МАГДАЛЕНСКАЯ, САН-ХОАКИН, ИЛЛИНОЙСКАЯ, РЕЙНСКИЙ И СУЭЦКИЙ ГРАБЕНИ И ДР.)

Магдаленская владина (Колумбия)

Территория Колумбии занимает северную часть складчатых сооружений Анд, которые состоят из отдельных горных хребтов и разделяющих их межгорных владин субмеридионального простирания. Наиболее крупной из них, в которой сосредоточены основные нефтяные месторождения страны, является Магдаленская владина (рис. 46). Она расположена между складчатыми сооружениями Центральных и Восточных Кордильер.

Магдаленская владина выполнена мощной толщей меловых, палеогеновых и неогеновых отложений, которые смяты в складки субмеридионального простирания. Верхи меловых отложений сломлены чередующимися глинистыми сланцами, глинами, известняками и мергелями, палеоцен и эоцен – глинами и песчаниками, а олигоцен – преимущественно глинами с людиненными прослоями известняков и песчаников. Миоцен-плиоценовые отложения представлены песчаниками, известковистыми глинами и конгломератами. Третичные отложения, за исключением олигоцена, являются континентальными осадками, а меловые – морскими.

Основные продуктивные горизонты во владине приурочены к песчанным коллекторам миоцена, олигоцена и эоцена. Главными месторождениями являются Инфантес, Ла-Сира, Касабе-Гадан, Веласкес, Бутурара, Тотумал, Кантагальо, Колорадо и др. Большинство из них связано с брахиантклинальными складками, а на месторождениях Кантагальо и Веласкес ловушки для нефти образованы сбросами. Рассмотрим строение этих месторождений.

Месторождение Кантагальо открыто в 1943 году. Площадь была подготовлена к бурению сейсмозаведкой. Нефть приурочена к зоне новым песчаникам. В тектоническом отношении по третичным отложениям площадь представляет собой моноклиналь, наклоненную к востоку и осложненную одним крупным продольным согласным сбросом северо-восточного простирания и несколькими мелкими поперечными (рис. 47, 48). Залежи нефти приурочены к юго-восточному опущенному крылу основного сброса. Ловушки замыкаются с запада основным сбросом, на востоке - моноклинальным наклоном слоев, на севере - изгибом основного сброса к востоку (на рис. 47 это не показано) и на юге - поперечными сбросами. Глубина залегания основного продуктивного горизонта 1300-2200 м. Продуктивные горизонты зоны опущенного крыла контактируют по сбросу с плотными метаморфизованными породами домелового фундамента. Строение площади по меловым отложениям бурением не изучено.

Плотность нефти на месторождении 0,93. Общая добыча с начала разработки и до конца 1958 г. составляет 0,92 млн.т.

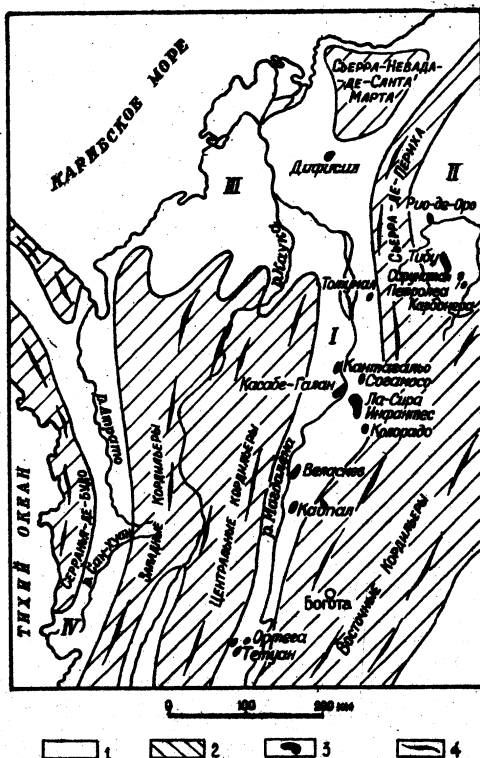


Рис. 46. Схема тектоники Колумбии.
По А.А.Бакирову, 1959.

I - области межгорных впадин; 2 - области поднятий складчатых сооружений; 3 - нефтяные месторождения; 4 - простирации зон антиклиналей. Нефтегазоносные области: I - Магдаленская, II - Марканская; III - Прикарибская; IV - Притихоокеанская.

Месторождение Веласкес открыто в 1946 г. Скважина-первооткрывательница была заложена на основании данных сейсморазведки, установившей наличие сбросов. Разрез месторождения сложен континентальными осадками плиоцена, миоцена, олигоцена и эоцен. Последние залегают на домеловом метаморфизованном фундаменте. Отложения мела в пределах месторождения отсутствуют.

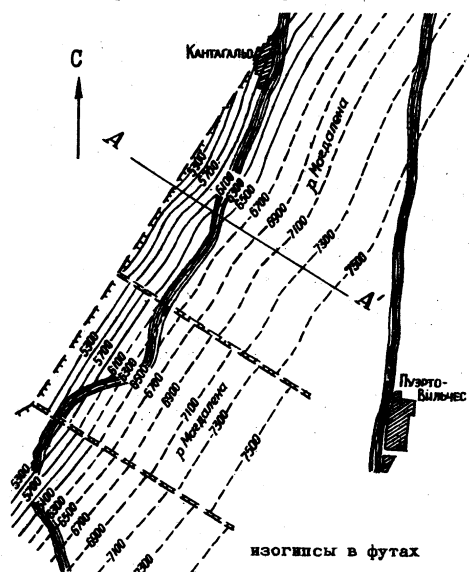


Рис. 47. Месторождение Кантагалло. Структурная карта по кровле песчаников свиты кантагалло (эоцен).

По Л.Г.Моралису, 1961.

щенному крылу основного сброса. Продуктивные горизонты сосредоточены преимущественно в отложениях эоцен, есть также нефть в олигоцене. Общая мощность продуктивной толщи составляет 900 м. Глубина залегания продуктивных горизонтов 1200–1800 м. Коллекторские свойства песчаников невысоки. Нефть асфальтовая, плотность ее 0,88–0,94 в эоцене и 0,94–0,97 в олигоцене. В общем плотность нефти уменьшается с глубиной залегания и вниз по падению пород. Пластовые давления в залежах близки к гидростатическим.

Все сбросы на месторождении Веласкес в настоящее время являются экранами, так что в каждом блоке и горизонте свои контуры нефтеносности и водо-нефтяные контакты. Сбросы являются экранами

В тектоническом отношении площадь представляет собой пологую моноклиналь, наклоненную к юго-востоку (рис. 49, 50) и осложненную основным сбросом субмеридионального простирания и более мелкими поперечными. Все сбросы не распространяются в плиоцен-плейстоценовые образования, несогласно перекрывающие отложения миоцена. Нефтеносная площадь Веласкес протягивается вдоль главного сброса на 15 км. Ни нижняя, ни северная граница месторождения еще не установлена.

Ловушки для нефти образованы моноклинальным наклоном слоев, основным продольным и мелкими поперечными сбросами и приурочены к опущенному крылу основного сброса. Продуктивные горизонты сосредоточены преимущественно в отложениях эоцен, есть также нефть в олигоцене. Общая мощность продуктивной толщи составляет 900 м. Глубина залегания продуктивных горизонтов 1200–1800 м. Коллекторские

свойства песчаников невысоки. Нефть асфальтовая, плотность ее

0,88–0,94 в эоцене и 0,94–0,97 в олигоцене. В общем плотность

нефти уменьшается с глубиной залегания и вниз по падению пород.

Пластовые давления в залежах близки к гидростатическим.

для нефти, несмотря на то, что продуктивные горизонты иногда контактируют с водоносными песчаниками соседнего блока (рис. 50).

На месторождении Веласкес в 1964 г. добыто 0,93 млн.т нефти, и общая добыча к этому году составила 11,3 млн.т. Начальные запасы нефти оцениваются в 29 млн.т.

Грабен Реканково (Бразилия) является южной составной частью более крупного грабена Байя. Он расположен в восточной периферийной части докембрийского Бразильского щита у побережья Атлантического океана. Грабен выполнен терригенными отложениями иры, мела и плиоценом общей мощностью около 5 км. Он имеет меридиональное простирание, с запада и востока ограничивается глубинными разломами, причем амплитуды их существенно различаются: восточного разлома - 4000 м, а западного - в 10-13 раз меньше.

Осадочный комплекс, выполняющий грабен, по системе сбросов в общем моноклинально погружается с запада на восток, образуя при этом ряд выступов и впадин. Подчиненное значение имеют по-перечные сбросы. Залежи нефти и газа приурочены к меловым отложениям. Здесь наряду с ловушками антиклинального типа и литологически экранированными выявлены ловушки тектонически экранированного типа на моноклиналях. Таково месторождение Лобато. Оно открыто в 1944 г., расположено у восточного краевого разлома и связано с моноклинально залегающими породами мела. Месторождение вытянуто вдоль сброса на расстояние 360 м при ширине 240 м. Глубина залегания продуктивного горизонта равна 200 м, а мощность - 18-20 м. По сбросу он контактирует с докембрийскими породами фундамента, находясь в опущенном крыле его.

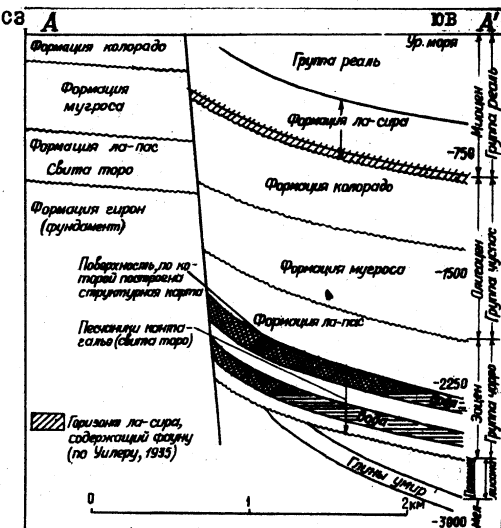


Рис. 48. Месторождение Кантагало. Геологический профиль. По Л.Г.Море-лису, 1961.

Бассейн Неукен (Аргентина) выполнен отложениями триаса, юры, мела и третичной системы. Среди других типов залежей здесь имеются и тектонически экранированные. Они связаны с продольными сбросами, осложняющими моноклинальные склоны крупного свода Дарсаль. Продуктивными являются юрские отложения.

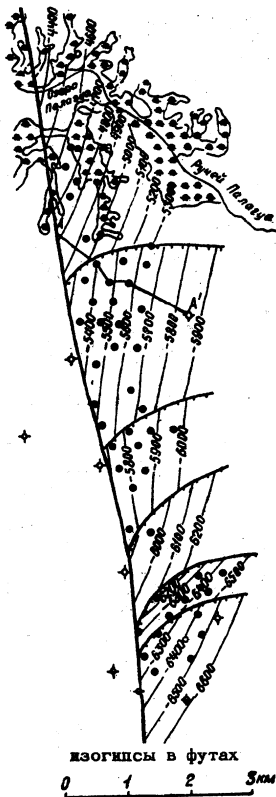


Рис. 49. Месторождение Веласкес. Структурная карта.

По Л.Г.Моралису, 1961.

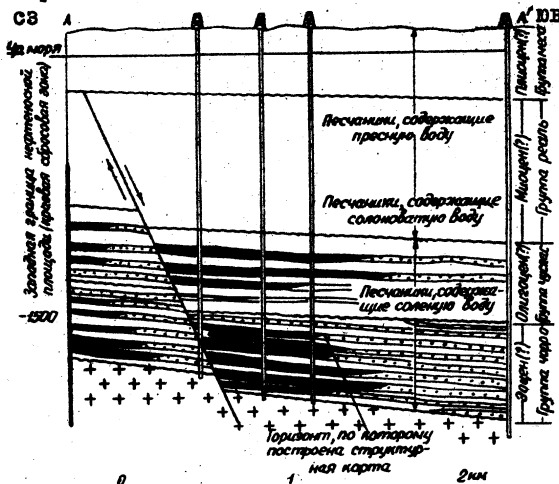


Рис. 50. Месторождение Веласкес. Геологический профиль. По Л.Г.Моралису, 1961.

Остров Тринидад. Здесь основные месторождения приурочены к впадине Сипариа, выполненной кайнозойскими отложениями (палеоцен-плиоцен). Среди других типов залежей развиты и тектонически экранированные на моноклиналях. Большинство из них приурочено к региональному сбросу Лос-Баджос, причем располагаются они на северном и южном крыльях (месторождения Пойнт-Фортин, Диабло, Куинам и другие). Продуктивными являются песчаники миоцена.

Бассейн Прибрежной низменности (Перу) в тектоническом отношении является предгорным прогибом. На западе он погружается под воды Атлантического океана. Бассейн выполнен отложениями мела и кайнозоя. На ряде месторождений нефти и газа этого региона (Зорритос, Лос-Органос и др.), расположенных в северной части Перу-

анского побережья, ловушки образованы сбросами, осложняющими моноклинали. Продуктивные горизонты залегают на глубине 90–450 м и приурочены к песчаникам миоцена. Месторождения мелкие.

Впадина Сан-Хоакин (штат Калифорния, США) в геотектоническом отношении представляет собой предгорный прогиб системы Береговых хребтов. Она простирается в субмеридиональном направлении и имеет размеры 400 x 80 км. Осадочный чехол впадины сложен образованиями мела, палеогена, миоцена и плиоцен–плейстоцена. Западный борт ее более крутой, а восточный – пологая моноклиналь, сравнительно слабо осложненная сбросами и связанными с ними поднятиями. Сбросы преимущественно малоамплитудные и несогласные: сбрасыватели их наклонены на восток, а породы – на запад. С участками этих сбросов в южной части восточного борта впадины Сан-Хоакин связана группа месторождений с залежами в ловушках тектонически экранированного типа – Раунд-Маунтейн, Маунт-Позо, Вест Эдисон и др. Залежи в них расположены на западных поднятых крыльях сбросов, обращенных в сторону осевой части впадины.

На месторождении Маунт-Позо (рис. 51, 52) открыты две нефтяные залежи в песчаниках веддер (нижний миоцен). Ловушки образованы моноклинальным наклоном слоев к заладу и изогнутым (выпуклым к востоку) продольным несогласным сбросом, который состоит из нескольких отдельных нарушений. Амплитуды сбросов невелики. Глубина залегания продуктивных горизонтов составляет 480–630 м. Подстилают их морские отложения нижнего миоцена и немор-

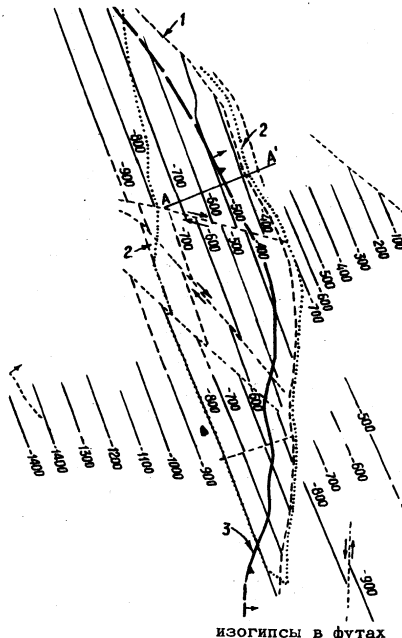


Рис. 51. Месторождение Маунт-Позо. Структурная карта по продуктивному горизонту в миоцене. По А.Дипенброку, 1961.

I – линия пересечения поверхности сброса и кровли зоны веддер; 2 – граница продуктивной площади; 3 – линия сброса Маунт-Позо на поверхности.

ские образования зоопа мощностью 300 м, перекрывающие гранитный фундамент. Плотность нефти на месторождении Маунт-Позо равна 0,95–0,97. Извлекаемые запасы ее составляют 17,8 млн.т.

Месторождение Раунд-Маунтейн во многом сходно с предыдущим: ловушка для нефтяной залежи в песчаниках веддер образована моноклиналью и изогнутыми продольными сбросами.

На месторождении Вест Эдисон нефтеносными являются песчаники свиты Чэнэк (мио-плиоцен). Ловушки образованы сложной системой сбросов и моноклинальным наклоном слоев.

Р.Р. Симонсон (33) связывает со владиной Сан-Хоакин большие перспективы открытия новых тектонически и стратиграфически экранированных залежей нефти на моноклиналях. В то же время возможности выявления новых антиклинальных поднятий здесь ограничены.

Иллинской бассейн (США) в тектоническом отношении представляет собой внутриплатформенную владину, расположенную на

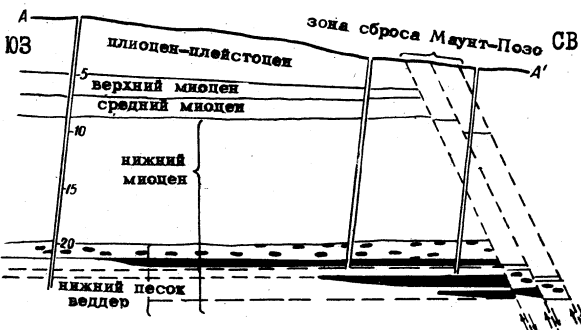


Рис. 52. Месторождение Маунт-Позо. Геологический профиль. По А.Дипенброку, 1961.

Североамериканской платформе. Он выполнен отложениями кембрия, ордовика, силура, живета и карбона. Нефтегазоносность связана в основном с отложениями карбона и в меньшей степени с ордовиком, силуром и девоном. Среди других типов залежей в Иллинской

впадине развиты и тектонически экранированные, имеющие, правда, весьма небольшое значение в общем балансе добычи нефти и газа по этому региону. Приурочены они к сбросовой зоне Раф Крик, осложняющей южную прибрежную часть владины.

Сбросовая зона Раф Крик представляет собой сложную систему субширотных согласных сбросов, которым часто сопутствуют локальные поднятия. Залежи углеводородов приурочены как к этим поднятиям, так и к тектонически экранированным ловушкам непосредственно на моноклинальных участках. А.А.Бакиров (II) указывает, что в этой зоне основные месторождения нефти приурочены к северным опущенным крыльям сбросов, обращенных к центру владины. На южных

поднятых крыльях сбросовой зоны не обнаружены сколько-нибудь значительные залежи нефти и газа.

Суэцкий грабен является северо-западной составной частью грабена Красного моря. Его длина 350 км, ширина 50 км. Осевая часть грабена занята водами Суэцкого залива. Выполнен он толщей (более 2 км) палеозойских, мезозойских и кайнозойских отложений. Все открытые здесь месторождения (а их более 20) расположены в северо-восточной и юго-западной прибрежных зонах, а также частично в акватории залива. Залежи нефти приурочены к песчаникам нубийской серии (нижний мел-карбон) и отложениям миоцене и зоцене. Ловушками служат антиклинали, сильно нарушенные сбросами, и наклоненные блоки пород. И те, и другие связаны с выступами фундамента.

Месторождениями нефти с тектонически экранированными ловушками являются: Рас-Гареб, Абу-Дурба, Гемза и др. Месторождение Рас-Гареб расположено на юго-западном побережье залива. Оно представляет собой ограниченный сбросами моноклинальный блок. Здесь имеются пять нефтяных горизонтов в палеозое и мезозое и небольшая залежь в рифовых известняках миоцена. Месторождение Абу-Дурба расположено на северо-восточном побережье залива. Оно представлено серией блоков, ступенчато погружающихся в западном направлении. Небольшая залежь нефти здесь приурочена к миоцену и контролируется сбросом.

По данным М.Д.Йоссефа (77), сбросы Суэцкого грабена характеризуются формированием в периоды осадконакопления.

Рейнский грабен своей южной частью расположен во Франции, а северной - в ФРГ. Он вытянут в субмеридиональном направлении на расстояние 300 км при ширине 40-50 км, располагаясь в теле энгерцинской платформы (рис. 53). Обрамление грабена сложено верхнепалеозойскими глыбовыми сооружениями: на западе расположены Вогезы и Пфальцские горы, на востоке Шварцвальд и Оденвальд, на севере - Рейнские сланцевые горы и на юге - Эльзас.

Рейнский бассейн выполнен породами пермского, триасового, юрского и третичного возраста, залегающими на герцинском складчатом основании, глубина которого достигает 5 км. Грабен отделен от герцинского обрамления посредством краевых нарушений. Кроме того, фундамент и осадочный чехол внутри грабена интенсивно нарушены продольными разрывными нарушениями и в меньшей степени поперечными, образующими системы блоков. Наиболее глубокая часть грабена смешена к его восточной границе. Западное краевое нарушение характеризуется меньшей амплитудой, чем восточное. В этом проявляется

асимметричность в строении грабена. Формирование главных Рейнских сбросов, по мнению В.Брудерера и М.К.Луи (6), началось в юрское время и завершилось в альпийскую фазу складчатости. По мнению же А.Шада (38), "возникновение Рейнского грабена началось, очевидно, в эоцене".

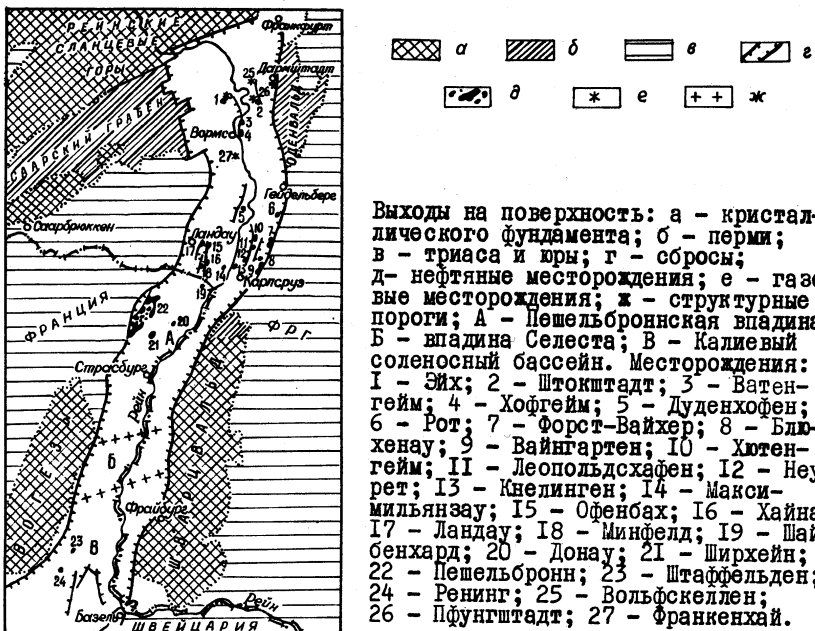


Рис. 53. Рейнский грабен.
Схема размещения месторождений.

Основным нефтегазоносным комплексом региона является олигоценовый. Нефтеносны также отложения триаса и юры. Газ содержит образования миоцена и плиоцена. Зоны нефтегазонакопления связаны с крупными сбросами, развитыми в краевых и осевой частях грабена. Общей чертой месторождений региона является интенсивная нарушенность их сбросами. Мелкоблоковая тектоника привела к образованию ограниченных сбросами моноклиналей, полукуполов, структурных носов и т.д. Залежи, как правило, приурочены к ловушкам, тектонически, литологически или стратиграфически экранированным.

Месторождение Пешельбронн расположено в западной французской части Рейнского грабена (рис. 54). Сведения о добыче нефти на нем

Выходы на поверхность: а - кристаллического фундамента; б - перми; в - триаса и юры; г - сбросы; д - нефтяные месторождения; е - газовые месторождения; ж - структурные пороги; А - Пешельброннская впадина; Б - впадина Селеста; В - Калиевый соленосный бассейн. Месторождения: I - Эих; 2 - Штокштадт; 3 - Ватенгейм; 4 - Хофгейм; 5 - Дуденхоффен; 6 - Рот; 7 - Форст-Вайхер; 8 - Блюхенау; 9 - Вайнгартен; 10 - Хютенгейм; II - Леопольдсхайен; 12 - Неурет; 13 - Кнелинген; 14 - Максимилианзау; 15 - Офенбах; 16 - Хайна; 17 - Ландау; 18 - Минфельд; 19 - Шайбенхард; 20 - Донау; 21 - Ширхейн; 22 - Пешельбронн; 23 - Штаффельден; 24 - Ренинг; 25 - Вольфскеллен; 26 - Пфунгштадт; 27 - Франкенхай.

относятся к XVI веку. В XIX веке месторождение начало разрабатываться шахтным способом, а с 1888 г. и скважинами. Разведка новых продуктивных участков продолжалась вплоть до последних лет. Нефтеносными являются пешельброннские слои (олигоцен), аален, байос, кейпер.

В тектоническом отношении площадь представляет собой крупную периклиналь, осложненную серией сбросов, разбивающих ее на отдельные блоки. Залежи нефти находятся в основном в ловушках тектонически экранированного типа, в меньшем количестве в стратиграфических и литологических ловушках. Экранирующие сбросы являются несогласными, падающими к западу, в то время как наклон слоев к востоку — от борта к оси грабена. Залежи приурочены к поднятым крыльям несогласных сбросов. Глубина залегания продуктивных горизонтов от 180 до 1300 м.

С начала разработки на месторождении добыто 3,2 млн.т нефти, а в 1964 г. добыча составила 6,4 тыс.т. В настоящее время месторождение почти не эксплуатируется.

Месторождение

Штаффельден расположено в южной части Рейнского грабена. Оно было открыто в 1951 г. при бурении в третичных отложениях на калийные соли. В тектоническом отношении площадь представляет собой полукупол, ограниченный с за-

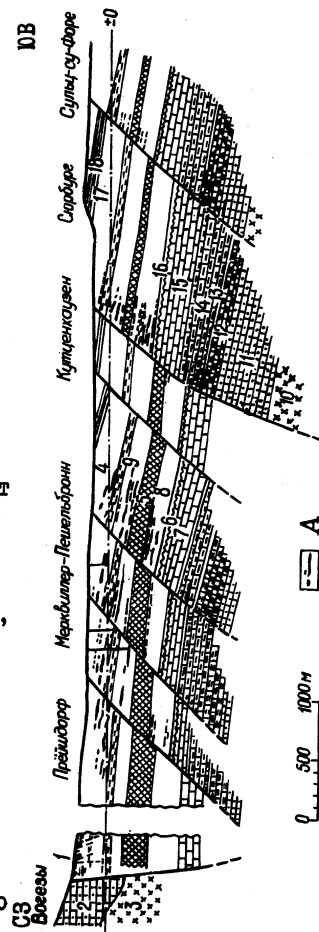


Рис. 54. Месторождение Пешельбронн. Геологический профиль. По Ж.Бланкнердеру, 1959.

1 — нефтеносные горизонты; 2 — асфальтовые разработки Лобзии; 3 — граниты; 4 — гравийные разработки (триас); 5 — красноцветная толща; 6 — зооцен; 7 — мра; 8 — верхнепелльброннские слои; 9 — нижнепелльброннские слои; 10 — гравийные слои; 11 — пестрый песчаник; 12 — средний триас; 13 — угольно-глинистые слои; 14 — гравийные слои; 15 — мра; 16 — зооцен; 17 — фораминиферовые мергели; 18 — рыбные сланцы.

пада несогласным сбросом (рис. 55, 56). Нефть содержится в трещиноватых доломитизированных известняках зоны "большой оолит" (бат-байос). На месторождении было пробурено восемь скважин, из которых две оказались непродуктивными, так как попали на участки плотных нетрещиноватых известняков. Площадь месторождения 1 км². Суммарная добыча из него к 1955 г. составила 45 тыс.т нефти.

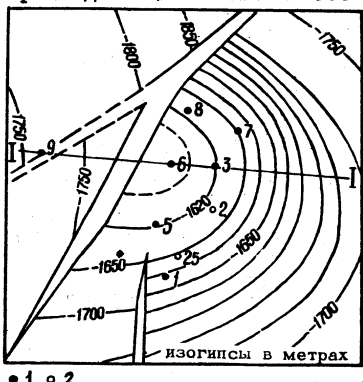


Рис. 55. Месторождение Штаффельден. Структурная карта по кровле продуктивного горизонта "верхний оолит" (бат-байос). По Х.Блименредеру, 1959.

I — продуктивные скважины;
2 — непродуктивные скважины.
Месторождение многопластовое, продуктивными являются отложения олигоцена: пешельброннские и циреновые песчаники, а также мелеттовые мергели.

А.Андрес и А.Мад (I) указывают, что образование сбросов на месторождении Ландау происходило в раннем миоцене, т.е. вскоре за отложением продуктивных горизонтов олигоцена. "И эта относительная древность антидиптических сбросов благоприятствует нефтенакоплению, так как к таким сбросам приурочено большинство открытых месторождений" (I, стр. 303).

Заласы нефти месторождения Ландау невелики.

Месторождение Эйх (газовое) расположено в северной приосевой части Рейнского грабена. Продуктивными являются отложения плиоцена и миоцена. В тектоническом отношении площадь месторождения представляет собой серию блоков, разделенных разнов направлениями сбро-

Месторождение Ландау расположено в средней части Рейнского грабена вблизи западной прибрежной зоны. Оно открыто в 1955 г., хотя вследствие значительных поверхностных нефтепроявлений поиски здесь проводились в течение нескольких десятилетий.

В структурном отношении площадь месторождения представляет собой наклоненную к востоку моноклиналь, очень сильно осложненную сбросами, разбивающими ее на большое количество мелких блоков (рис. 57). Сбросы преимущественно субмеридионального простирания с падением сбрасывателей к востоку (согласные) и к западу (несогласные). Залежи нефти приурочены к поднятым крыльям несогласных сбросов, которые экранируют их с запада. Месторождение

сами (рис. 58, б), хотя по данным более старой сейсмической съемки здесь предполагалось куполовидное поднятие (рис. 58, а). Залежи, как и на месторождении Ландау, экранированы несогласными сбросами и приурочены к их поднятым крыльям.

Другими месторождениями Рейнского грабена с залежами в ловушках тектонически экранированного типа являются Суффленхейм, Ширрхайн, Донау, Шайбенхардт, Верраброн, Гайма, Леопольдгафен и другие.

В общем, Рейнский грабен нефтью не богат. Общие начальные запасы нефти всего бассейна составляют 10 млн.т. В германской части грабена открыто 23 нефтяных и 6 газовых месторождений, а во французской - 12 нефтяных. Все месторождения по запасам мелкие.

Прогиб Гифхорн (ФРГ) - составная часть Североевропейского нефтегазоносного бассейна - представляет собой трог, выполненный соленосными отложениями пер-

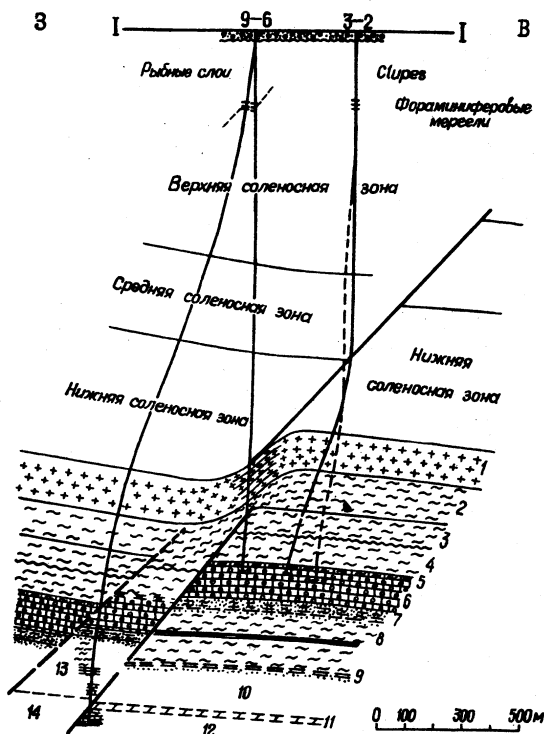


Рис. 56. Месторождение Штаффельден.
Геологический профиль. По Х.Блюменрэдеру, 1959.

- 1 - соль; 2 - мергели; 3 - зооцен;
- 4 - келловей-оксфорд; 5 - верхний бат;
- 6 - большой оолит; 7 - нижний байос;
- 8 - лайас; 9 - рэт; 10 - кейпер;
- II - угольно-глинистые слои; 12 - раковинный известняк; 13 - лайас; 14 - кейпер.

ми и терригенными осадками триаса, юры, мела и третичной системы. Он ориентирован в северо-восточном направлении. Залежи нефти и газа здесь связаны с соляными куполами, межкупольными поднятиями, а также с тектоническими и стратиграфическими ловушками. Место-

рождениями с залежами в тектонически экранированных ловушках являются Ханкенсбюттель, Лайферде, Хардессе, Форхоп-Кнесебек и др.

Нефтяное месторождение Ханкенсбюттель расположено в северо-западной прибрежной части прогиба Гифхорн. Оно было открыто в

1954 г. на основе данных сейсморазведки, показавшей наличие системы сбросов, параллельных бортам прогиба и осложняющих моноклиналь. Продуктивными являются два песчаника среднеюрского возраста — додгер — β (рис. 59), глубины залегания их составляют 1430—1530 м.

Плотность нефти 0,85—0,88. Ловушки образованы структурным носом на фоне моноклинального наклона слоев и главным сбросом Ханкенсбюттель, падающим на восток под углом 50—55°.

Залежи нефти приурочены к восточному опущенному крылу согласного сброса. Амплитуда его 70 м. Это на 10—15 м больше мощности двух пес-

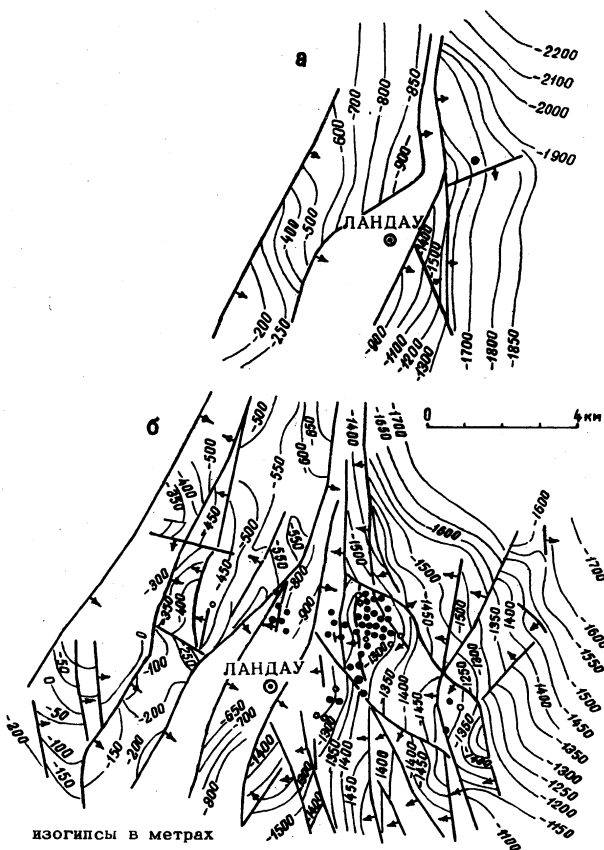


Рис. 57. Месторождение Ландау. Структурные карты по отражающему горизонту в нижнем олигоцене. По А.Андресу и А.Шаду, 1961.

а — по данным сейсморазведки 1953 г.; б — по данным повторных сейсмических работ.

чаных продуктивных горизонтов и промежуточной глинистой пачки. Вследствие этого продуктивные песчаники по сбросу контактируют с глинами среднего блока.

На площади месторождения Ханкенсбюттель имеются и другие, более мелкие сбросы, однако из-за малой амплитуды они не являются экранами и не влияют на распространение нефтяной залежи. Кроме тектонически экранированных на рассматриваемом месторождении западнее главного сброса имеются небольшие стратиграфически экранированные залежи. Формирование сбросов, осложняющих юрские отложения на площади Ханкенсбюттель, по мнению Ф. Гехта (I7), происходило одновременно с прогибанием впадины Гифхорн, а также в предмировое время. Следовательно, тогда уже существовали иловушки, благоприятные для скопления здесь нефти.

Другие тектонически экранированные залежи в прогибе Гифхорн также связаны с согласными сбросами на бортах прогиба и располагаются на опущенных крыльях (Хардессе, Форхоп-Кнесебек) или в осевой его части (Лайферде). В последнем случае залежь расположена на поднятом блоке, ограниченном с двух сторон сбросами.

Среднеевропейский (мощевый) бассейн расположен на территории западной части Австрии, южной части ФРГ и Швейцарии. Вытянут в субширотном направлении. В тектоническом отношении – это предгорный

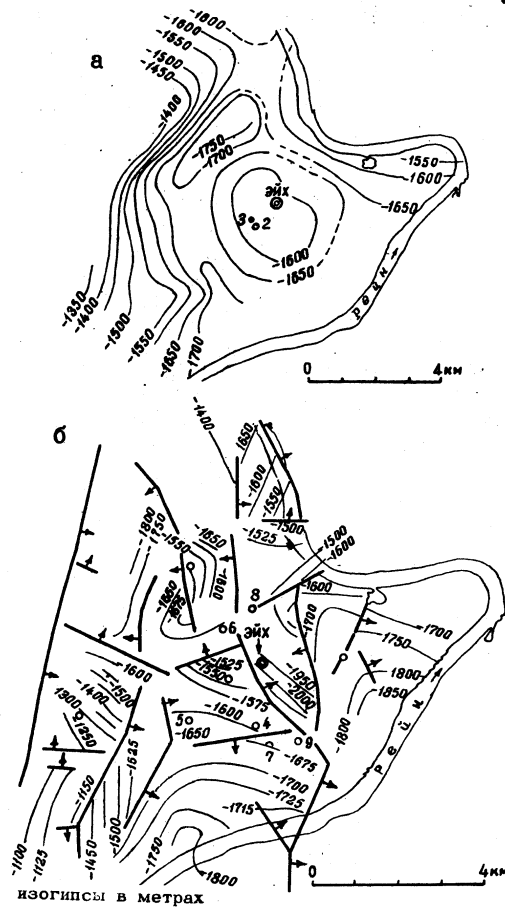


Рис. 58. Месторождение Зих. Структурные карты по отражающему горизонту. По А.Андресу и А.Шаду, 1961.

а – по данным сейсморазведки 1951 г.;
б – по данным повторных сейсмических работ.

прогиб Альпийского складчатого сооружения. Южный геосинклинальный борт прогиба узкий (ширина 20 км) и граничит с Альпами, а северный, платформенный, более широкий. Бассейн выполнен отложениями карбона, мезозоя и кайнозоя.

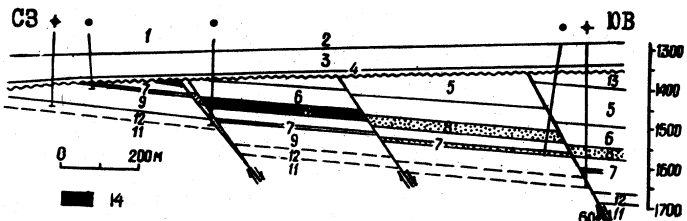


Рис. 59. Месторождение Ханненботтель. Геологический профиль. По Г.А.Гедеманну, 1959.

I - точка излома разлома; 2 - сеноман; 3 - верхний альб; 4 - средний альб; 5 - верхний додгер; 6 - зона песчаных образований; 7 - нижний обводненный песчаник; 8 - верхний песчаник; 9 - нижний додгер; II - лейас; I2 - додгер- α ; I3 - додгер- γ ; I4 - нефть.

В германской части платформенного борта расположена внутреннеморская нефтегазонесущая область. В ней известны три зоны нефтегазонакопления, связанные с крупными сбросами.

Сбросы – несогласные (наклонены к северу), осложняют пологий моноклинальный наклон слоев к югу. Залежи приурочены к южным поднятым крыльям сбросов, обращенных в сторону осевой части бассейна. Здесь известно более 20 нефтяных и газовых месторождений, в основном с залежами в тектонически экранированных ловушках и реже в сводовых ловушках. Примером является месторождение Ампфинг (рис. 60), наи-

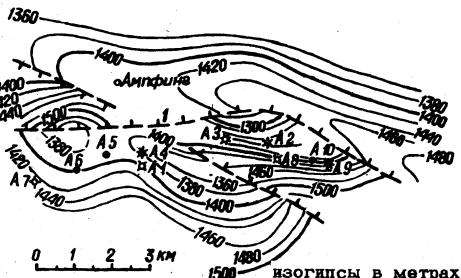


Рис. 60. Месторождение Ампфинг.

Структурная карта по реперу в олигоцене. По О.Геерману, 1959.

более крупное в этом районе. Здесь продуктивными являются песчаники олигоцена, залегающие на глубине 1750–1800 м. Мощность продуктивного горизонта 10 м. Нефтяная залежь имеет газовую шапку. На месторождении Ампфинг выявлены несколько тектонически экранированных залежей, ловушки которых образованы несогласными сбросами и структурными

носами. Месторождение открыто в 1954 г. Общая добыча нефти к концу 1955 г. составила на нем 9,1 тыс.т.

В долине р.Иллэр Среднеевропейского бассейна находится Западно-баварская нефтеносная зона, связанная с крупным несогласным сбросом. Среди других здесь имеется три нефтяных месторождения с за-лежами тектонически экранированного типа: Менхсрот, Гейментингер и Лаубен. Нефтеносными являются песчаники олигоцена на южном поднятом крыле сброса.

2. ОБЩИЕ ЗАКОНОМЕРНОСТИ СТРОЕНИЯ ТЕКТОНИЧЕСКИ ЭКРАНИРОВАННЫХ ЗАЛЕЖЕЙ НА МОНОКЛИНАЛЯХ И МЕТОДИКА ИХ ПОИСКОВ

На основе анализа материалов по более чем 150 нефтяным, нефтегазовым и газовым месторождениям с залежами в ловушках тектонически экранированного типа на моноклиналях, расположенных в 14 регионах мира, можно сделать некоторые выводы об общих чертах (закономерностях) их строения.

Одной из характерных черт строения ловушек этого типа является литологический состав контактирующих по сбросам пород. Имеющиеся эмпирические данные свидетельствуют о том, что в подавляющем большинстве случаев залежи углеводородов соприкасаются с непроницаемыми породами соседнего блока. В редких случаях, как об этом можно судить по опубликованным мелкомасштабным профилям, залежи контактируют с водоносными песчаниками (месторождения Западная Гуара и Веласкес) или метаморфизованными породами фундамента (месторождения Раг и Кантагальо).

Другим критерием является тип экранирующего сброса. Ранее А.И.Леворсен (27, стр. 131) указывал, что залежи этого типа почти всегда располагаются на приподнятых крыльях сбросов, а на опущенных они, как правило, приурочены к замкнутым ловушкам, т.е. при разломным поднятиям. Фактически из 150 проанализированных месторождений с поднятыми крыльями несогласных сбросов связаны залежи на 105 (или 70%) месторождениях, а с опущенными крыльями согласных сбросов - 37 (25%) месторождений. В обоих случаях залежи приурочены к крыльям сбросов, обращенным в стороны осевых частей региональных впадин. И лишь на семи месторождениях (5%) залежи находятся на поднятых крыльях согласных сбросов (тип I на рис. 61), т.е. на крыльях, обращенных к внешним частям впадин.

А.И.Леворсен более частую (по его мнению, преимущественную) приуроченность залежей к поднятым крыльям сбросов объясняет тем, что на "опущенном крыле горные породы находятся под большим давлением, чем до сбросообразования"... (по сравнению с поднятым крылом), "нефть и газ в пористой среде перемещаются в направлении градиента давления" (27, стр. 131). По нашему мнению, это объяснение недостаточно убедительно. Дело в том, что во всех тектонически экранированных залежах на моноклиналях пластовые давления точно соответствуют гидростатическим (при анализе не отмечено ни одного случая аномально высокого давления). Следовательно, приведен-

ные давления в поднятых и опущенных крыльях сбросов одинаковы и нет градиента давления между ними (за исключением, конечно, регионального фона).

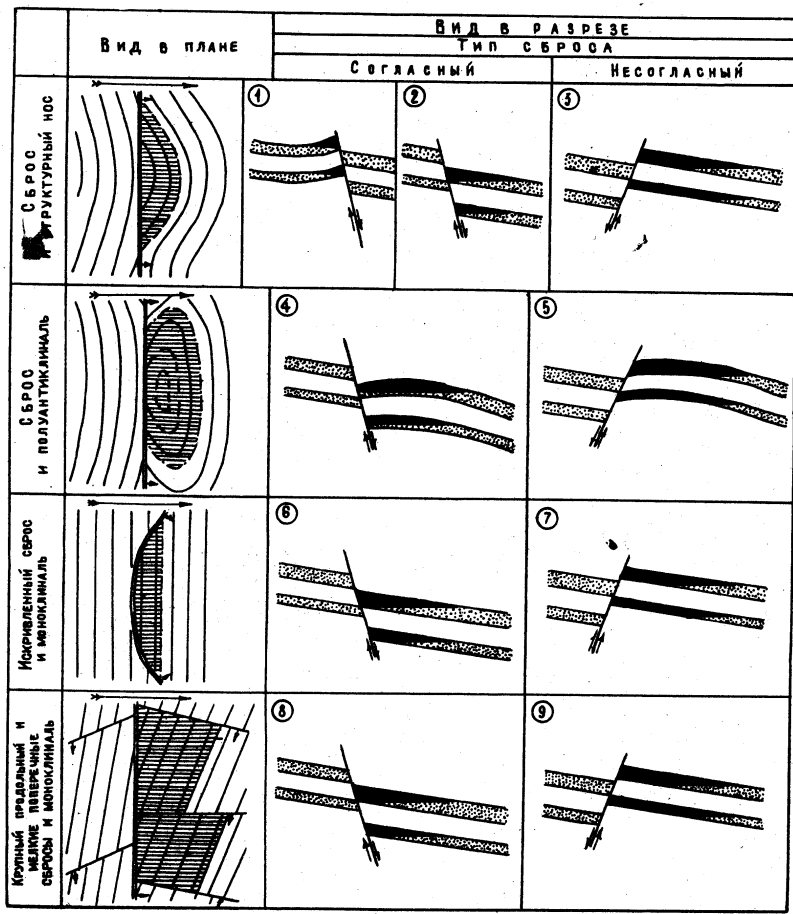


Рис. 61. Классификация тектонически экранированных залежей нефти и газа.

1 - залежи углеводородов; 2 - водонасыщенный коллектор;
3 - направление регионального наклона пород.

Более частая приуроченность тектонически экранированных залежей к несогласным сбросам по сравнению с согласными может быть обусловлена более благоприятными у первых условиями возникновения

ловушек. У несогласного сброса с самого начала его возникновения верхняя часть пласта-коллектора контактирует с непроницаемыми породами соседнего блока (покрышкой этого коллектора) и, следовательно, сразу образуется тектонически экранированная ловушка, которая с ростом сброса увеличивается в объеме (рис. 62, а). У согласного сброса ловушка возникает только после достижения им

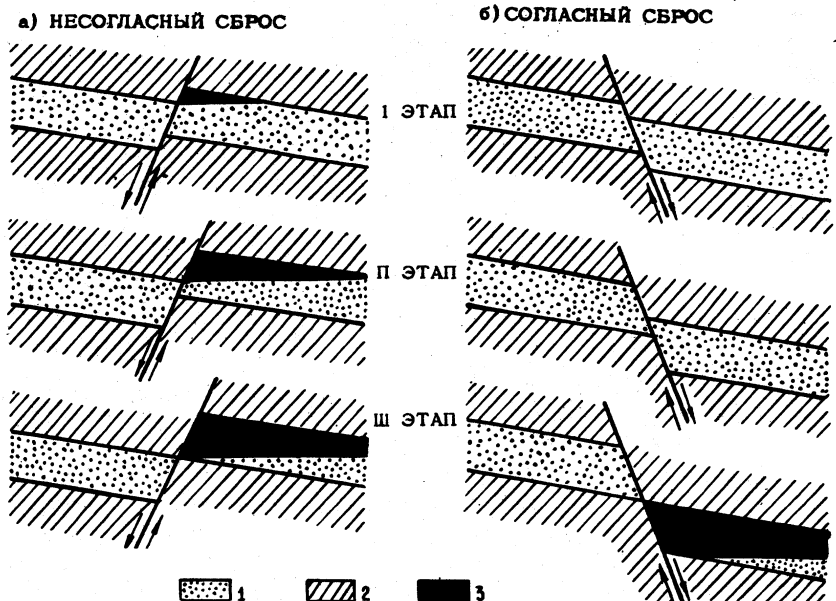


Рис. 62. Схемы образования тектонически экранированных ловушек.
1 - проницаемые породы; 2 - непроницаемые породы; 3 - ловушки.

амплитуды большей, чем мощность пласта-коллектора, когда горизонт опущенного крыла приходит в контакт с непроницаемыми породами (рис. 62, б). Другими словами, при одинаковой истории формирования несогласный сброс раньше образует ловушку, чем согласный. На это положение ранее обращали внимание М.Кворлис (60) и Г.Д.Хобсон (46).

Кроме того, приуроченность залежей к тому или иному типу сбросов обусловлена геотектоническими условиями региона, из-за чего наблюдается преимущественное появление определенного типа сбросов в различных регионах. Вследствие этого в одних регионах тектонически экранированные залежи связаны, как правило, только с

несогласными сбросами (внешняя зона Галф Коста, Рейнский грабен, Среднеевропейский бассейн), в других – с согласными (Венский бассейн, прогиб Гифхорн), в третьих – с теми и другими (Восточновенесуэльский бассейн, внутренняя зона Галф Коста).

Тектонически скринированные залежи в проанализированных месторождениях приурочены к неогеновым, палеогеновым, меловым, юрским отложениям и лишь в двух регионах (Иллинской и Днепровско-Донецкая впадина) – к палеозойским. Это можно объяснить, во-первых, лучшими условиями сохранения залежей углеводородов в более молодых отложениях и, во-вторых, большей нарушенностью разрывными нарушениями мезозойско-кайнозойских продуктивных образований (в предгорных и межгорных впадинах, молодых грабенах) по сравнению с палеозойскими в типично платформенных условиях (Волго-Уральская область, ряд нефтегазоносных районов Североамериканской платформы и др.).

Среди проанализированных месторождений развиты преимущественно нефтяные (56%) и нефтегазовые (41%), значительно в меньшей степени распространены чисто газовые (3%). При этом крупные и средние по запасам месторождения являются нефтяными (Талко, Мексика и др.) или нефтегазовыми (Офисина и др.), в которых основные запасы все равно представлены нефтью. Такое распределение месторождений, по-видимому, обусловлено тем, что сбросы лучше скрывают нефть, чем газ, вследствие ее меньшей подвижности и проникающей способности. Ловушки тектонически скринированного типа находят свое место в общих схемах классификации залежей нефти и газа, разработанных Н.А. Еременко (20), А.А. Бакировым и др. (3) и другими исследователями. В частности, в довольно подробной схеме А.А. Бакирова и др. (3) в классе залежей структурного типа выделяется группа залежей, приуроченных к моноклиналям, а в последней – подгруппа залежей, скринированных разрывными нарушениями. На основе выполненного анализа подгруппу тектонически скринированных залежей на моноклиналях можно более детально классифицировать, разбив на 9 типов в зависимости от приуроченности к согласному или несогласному сбросу и составных элементов ловушек (рис. 61):

I. Ловушки, образованные сочетанием сброса и структурного носа и расположенные на поднятом крыле согласного сброса (тип I, месторождения Мэй, Родесса, Фиг Ридж, Мерси, Норт Миссион, Ист Мидуэй в Галф Косте); на опущенном крыле согласного сброса (тип 2, месторождения Паттерсон, Ливония, Клир Крик в Галф Косте; Гестинг, Гайзельберг, Раг, Ван-Сикль в Венском бассейне; Хардессе, Ханкенсбюттель, Хорхол в прогибе Гифхорн); на поднятом крыле несогласного

сброса (тип 3, месторождения Боней, Луллинг, Дубоси, Корсикана-Паузэл, Фашинг, Цедар Крик в Галф Косте; Офисина, Западная Гуара, Мерседес, Гуавинита в Восточновенесуэльском бассейне; Ампинг, Менхстрот, Геймертингер в Среднеевропейском бассейне).

2. Ловушки, образованные сочетанием сброса и подуантиклинали, располагаются на опущенных крыльях согласных сбросов (тип 4, месторождение Саливанс Лейк в Галф Косте) и поднятых крыльях несогласных сбросов (тип 5, месторождения Талио, Мексика, Ниггер Крик, Киррей, Ричленд, Хэм Гозет, Дарст Крик в Галф Косте).

3. Ловушки, образованные искривленным сбросом и моноклиналью, также приурочиваются к опущенным крыльям согласных сбросов (тип 6, месторождения Раминера юго-западная в Галф Косте) и поднятым крыльям несогласных сбросов (тип 7, месторождение Мерседес в Восточновенесуэльском бассейне; Маунт-Позо, Раунд-Маунтейн во влади-не Сан-Хоакин; Фоуке, Персон в Галф Косте).

4. Ловушки, образованные крупными продольными и мелкими попе-речными сбросами, осложняющими моноклиналь. Среди них выделяются ловушки, расположенные на опущенных крыльях согласных сбросов (тип 8, месторождения Веласкес и Кантагальо в Магдаленской влади-не; Восточная Гуара в Восточновенесуэльском бассейне; Фейт Маг в Галф Косте) и на поднятых крыльях несогласных сбросов (тип 9, месторождения Пантер Риф в Галф Косте; Офисина, Мерседес и Тукушто в Восточновенесуэльском бассейне).

Весьма характерной особенностью экранирующих сбросов является значительный конседиментационный рост их в период отложения ныне продуктивных толщ или по крайней мере образование вслед за отложением этих толщ. Конседиментационный характер формирования экранирующих сбросов устанавливается на месторождениях всех ре-гионов, по которым имеются соответствующие данные (Восточновене-суэльский и Венский бассейны, Галф Кост, Рейнский и Суэцкий гра-бены, прогиб Гифхорн), приведенные выше. Из этого можно сделать вывод, что ловушки в анализируемых месторождениях являются древ-ними, возникшими одновременно или почти одновременно с отложением ныне продуктивных толщ.

На последующих стадиях развития, особенно в неоген-антропо-геновое время, экранирующие сбросы в одних регионах больше не фор-мировались (превратившись в погребенные) или испытывали незначи-тельный постседиментационный рост, а в других регионах постседи-ментационное формирование сбросов в периоды региональных восходя-щих движений было интенсивным. При этом устанавливается, что сбро-сы первой группы экранируют залежи более крупные по запасам и в

большем количестве (Галф Кост, Восточновенесуэльский бассейн), чем сбросы второй группы (Венский бассейн, Рейнский грабен). Как указывалось выше, конседиментационная составляющая прироста амплитуды экранирующих сбросов по продуктивным отложениям в Восточновенесуэльском бассейне и Галф Косте достигает 70-100%, а в Венском бассейне - 30-40%. Следовательно, низкая тектоническая активность сбросов на последних стадиях развития региона и особенно их погребенность являются весьма благоприятным фактором образования тектонически экранированных залежей нефти и газа на моноклиналях.

При наличии в регионе крупных региональных сбросов последние часто образуют ловушки у целой группы месторождений (Штайнбергский и Годонино-Гельский сбросы в Венском бассейне, сбросы Балконес, Лильинг, Мексика, Талко в Галф Косте, краевые нарушения в Рейнском и Суэцком грабенах).

Таким образом, при прочих равных условиях тектонически экранированные залежи нефти и газа на моноклиналях характеризуются следующими чертами строения: а/ преимущественным распространением на поднятых крыльях несогласных сбросов; б/ контактированием продуктивных горизонтов по сбросам с непроницаемыми породами соседнего блока; в/ конседиментационным характером формирования экранирующих сбросов в век отложения ныне продуктивных толщ; г/ погребенностью сбросов или их слабой выраженностью в верхних комплексах отложений. Кроме того, в тектонически экранированных ловушках чаще образуются залежи нефти, чем газа.

Описанные выше основные эмпирические закономерности строения залежей нефти и газа в ловушках тектонически экранированного типа, установленные на основе анализа уже открытых месторождений, можно использовать для оценки перспективности поисков таких залежей в других регионах и для выводов об условиях формирования месторождений нефти и газа.

Х Х Х

Открытие первых месторождений нефти и газа в ловушках тектонически экранированного типа на моноклиналях во многих регионах произошло при ориентировке бурения на поиски обычных сводовых залежей на антиклинальных структурах или при заложении скважин у поверхностных выходов нефти или газа без наличия каких-либо данных о строении участка и типе ловушки. Так было, например, в Восточновенесуэльском бассейне, Галф Косте, Рейнском грабене, Венском бассейне, где одним из методов (геологическая съемка, структурное бу-

рение или сейсморазведка) обнаруживалось структурное осложнение, которое интерпретировалось как антиклинальная складка и вводилось в бурение. В результате последнего выявлялась залежь, но устанавливалось, что ловушки там тектонически экранированные на моноклиналях, а не сводовые (Офисина, Мерседес, ряд месторождений внешней зоны Галф Коста и др.). Первые месторождения в Рейнском грабене (Пешельбронн) и Венском бассейне (Гбели) были открыты при заложении скважин у поверхностных нефтегазопроявлений.

После открытия первого месторождения в регионе последующие поисковые скважины в 1910–1930 гг. обычно закладывались на основе данных геологической съемки или структурного бурения, а в более поздние годы – преимущественно по данным сейсморазведки и структурного бурения.

Так, в районе Большая Офисина (Венесуэла) роль отдельных методов в подготовке площадей с ловушками тектонически экранированного типа характеризуется следующими данными: с 1937 по 1947 г. было пробурено 45 поисковых скважин, из них 30 оказались продуктивными, причем 9 скважин были заложены по данным КМПВ, 12 – по данным МОВ, 14 – по данным комплекса МОВ и структурного бурения, 9 – по данным только структурного бурения и одна – по данным геологической съемки. При этом почти все скважины закладывались выше установленных или предполагаемых сбросов.

В Рейнском грабене А.Андрес и А.Шад (I) выделяют четыре этапа в истории поисков залежей. На первых трех этапах, закончившихся примерно в 1950 г., поиски залежей производились соответственно на основе данных: геологической съемки и поверхностных нефтепроявлений; структурного бурения; детальной гравиметрической съемки. С 1950 г. началось широкое внедрение сейсморазведки МОВ с проверкой результатов ее глубоким бурением, за которыми следовали повторные детализационные сейсмические работы.

С 1940–1950 гг. во всех рассматриваемых регионах поиски ловушек тектонически экранированного типа проводятся сейсморазведкой и в меньшей степени при помощи структурного бурения. Несмотря на высокий уровень развития сейсморазведки, выявление их и в настоящее время представляет довольно сложную задачу.

Методика поисков этих ловушек характеризуется специфическими чертами, существенно отличающимися от методики поисков залежей других типов. По своей сложности она, по-видимому, занимает промежуточное положение между поисками залежей в сводовых ловушках (в том числе тектонически экранированных), с одной стороны, и за-

лежей в стратиграфических и литологических ловушках – с другой. При поисках сводовых залежей (даже и нарушенных сбросами), в основе методики лежит выявление положительных локальных структур, а при поисках тектонически экранированных залежей на моноклинациях – экранирующих сбросов, обнаружить которые сейсморазведкой значительно труднее. В этом отношении могут оказать помощь повторные сейсмические работы, которые проводятся на площади после бурения нескольких скважин. В Рейнском грабене, например, как указывают А.Андрес и А.Шад (I), повторная сейсморазведка часто давала существенно новые данные о геологическом строении площади. Например, на месторождениях Ландау (рис. 57) и Эйх (рис. 58) повторные сейсморазведочные работы позволили протрассировать густую сеть разрывных нарушений, в то время как первая сейсморазведка показывала наличие не осложненного сбросами поднятия (месторождение Эйх) или одного нарушения (месторождение Ландау).

3. ПЕРСПЕКТИВЫ ПОИСКОВ ТЕКТОНИЧЕСКИ ЭКРАНИРОВАННЫХ ЗАЛЕЖЕЙ В НЕФТЕГАЗОНОСНЫХ РЕГИОНАХ СССР

ДНЕПРОВСКО-ДОНЕЦКАЯ ВЛАДИНА

В Днепровско-Донецкой впадине открыто более 50 месторождений нефти и газа в стратиграфическом интервале от нижнего карбона до иры включительно. Подавляющее большинство из них приурочено к сводовым и присводовым частям локальных положительных структур. Однако фонд не разведанных еще поднятий на малых и средних глубинах здесь ограничен и с каждым годом сокращается. Поэтому со всей остротой встает проблема поисков залежей в ловушках нового типа - тектонически, стратиграфически и литологически экранированных, расположенных на моноклинальных участках, в мезоклинальных зонах, на далеких по громжениям крыльев и периклиналей положительных структур и т.д.

Ниже, на основе установленных общих закономерностей строения и распространения залежей тектонически экранированного типа на моноклиналях в различных регионах мира, дан анализ перспектив поисков подобных месторождений в Днепровско-Донецкой впадине.

В строении осадочного чехла Днепровско-Донецкой впадины принимают участие отложения от девонского до кайнозойского возраста включительно ^{х/}, которые в структурном отношении разделяются на пять этажей: кайнозойский, мезозойский (включая верхнюю пермь), верхнепалеозойский (нижняя пермь - карбон), девонский (надсолевой, верхнесоленосный и мексолевой комплексы отложений) и девонский подсолевой.

Разрывные нарушения в Днепровско-Донецкой впадине имеют широкое распространение, очень неравномерное по стратиграфическому разрезу и площади. Их можно разделить на три класса: глубинные, региональные и локальные.

Согласно существующим представлениям о глубинных разломах (31, 36), характеризующихся "длительностью и унаследованностью развития, большим пространственным протяжением, большой глубиной

^{х/} Общее геологическое строение Днепровско-Донецкой впадины подробно освещено в ряде опубликованных работ (8, 12, 15, 21, 37).

заложения и определенной связью с формациями горных пород", в рассматриваемом регионе таковыми являются краевые и поперечные разломы. Их длина измеряется сотнями километров, а амплитуда - сотнями и тысячами метров; своими корнями они уходят в верхнюю мантию, проявляясь, по данным ГСЗ, в поверхности Мохоровичча. Краевые глубинные разломы разделяют владину на грабен и борта.

Региональные разломы, развитые преимущественно внутри грабена, характеризуются длиной в десятки и сотни километров, амплитудой в десятки и сотни метров и распространяются только до поверхности докембрийского фундамента или в крайнем случае до поверхности Конрада.

Локальные разрывные нарушения разделяются на два подкласса: а/ эпиконтинентальные, осложняющие сводовые и присводовые части локальных, часто солянокупольных, поднятий и являющиеся производными от роста последних; б/ развитые на моноклинальных участках бортов и грабена и обычно сопутствующие региональным и глубинным разрывам.

В формировании тектонически экранированных залежей важную роль играют региональные и краевые глубинные разломы, а также сопутствующие им локальные разрывные нарушения. Из них наиболее изучены к настоящему времени системы северного и южного краевых нарушений с сопутствующими им локальными разрывами.

Северный и южный краевые разломы, ограничивающие Днепровский грабен, хорошо фиксируются по поверхности докембрийского фундамента на многочисленных поперечных профилях КМПВ (рис. 63). По поверхности фундамента и отложениям девона они часто представлены не одной плоскостью разрыва, а системой сближенных сбросов, кулисообразно сочленяющихся друг с другом. Амплитуда их изменяется по простиранию от 3-5 км до нескольких десятков метров. При этом на участках прибортовых прогибов амплитуда краевых нарушений увеличивается, а на участках выступов - уменьшается, возможно вплоть до полного затухания южного разлома в пределах Остапьевско-Белочерковского и Брагинского выступов.

В осадочный чехол непосредственно в виде разрывов краевые нарушения распространяются не выше предверхнепермской поверхности несогласия. Северное краевое нарушение в отложениях карбона и нижней перми выражено в виде системы сбросов. Последние подсечены скважинами в каменноугольных отложениях с амплитудой до 100-250 м на Шевченковской, Североголубовской (I8) и Великобубновской (скв. 7-р) площадях. Достаточно уверенно сбросы устанавливаются

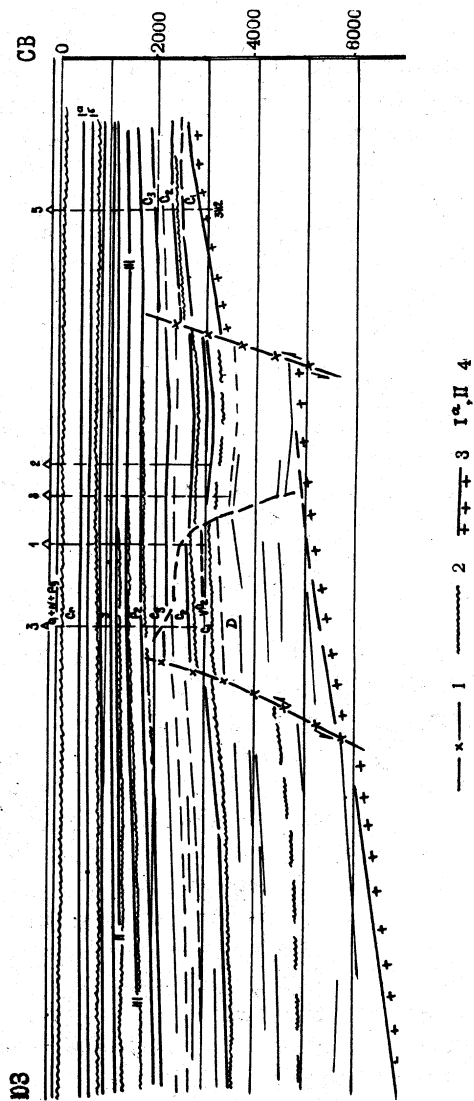


Рис. 63. Сейсмогеологический профиль через северное крыловое нарушение Днепровского грабена на участке Новотроицкой структуры. По И.П.Лысенко и Л.П.Ланда.
1 - сбросы; 2 - структурообразующие горизонты; 3 - поверхность фундамента; 4 - отражющие горизонты.

на основании близко расположенных скважин на борту и в грабене, как это наблюдается на Новотроицкой площади (рис. 63), а также зафиксированы на ряде участков площадными сейсмическими работами. В отложениях мезозойского структурного этажа сбросы северного разлома на отдельных участках вообще не проявляются, будучи полностью погребенными, а на других выражены в виде некрутых флексур

с опущенными южными крыльями. По отложениям кайнозойского структурного этажа не отмечается сколько-нибудь существенных проявлений глубинного разлома, за исключением некоторого увеличения наклона пород в зоне разлома.

Южное краевое нарушение на участках большой амплитуды разлома по фундаменту в отложениях карбона выражено в виде крутых обратных структур, осложненных взбросами с амплитудой до 100–300 м, что достаточно четко проявляется на Колайдинской, Зачепиловской, Пролетарской и Михайловской площадях. На других участках, в частности на Левенцовской площади, оно выражено в виде системы нескольких сбросов.

В отложениях мезозойского структурного этажа южное нарушение на всем своем протяжении непосредственно в виде разрыва не проявляется. На участках больших амплитуд по фундаменту оно выражено в виде обратных флексур (с крутыми и опущенными юго-западными крыльями), как это наблюдается на Колайдинской, Зачепиловской, Михайловской, Новоселовской и Пролетарской площадях. На остальных участках оно либо вообще не выражено, либо проявляется в виде прямых флексур небольшой крутизны.

В кайнозойском структурном этаже наличие краевого нарушения ощущается еще слабее. Здесь лишь на участке Зачепиловской и Михайловской площадей наблюдается обратный (ижный) наклон в залегании пород, хотя и без сколько-нибудь резкого увеличения крутизны залегания их по сравнению с участками борта и прибрежной части грабена. Это можно интерпретировать как следствие тех же, но более слабых движений по разлому, которые в мезозое привели к образованию обратных крутых флексур. На большей же части простирания южное краевое нарушение в отложениях палеогена не находит видимого проявления, о чем свидетельствует одинаковый наклон в залегании пород в зоне разлома и на соседних участках, а также наличие участков с попеченным к простиранию разлома простиранием и зонипс кайнозойских отложений.

На основе анализа мощностей отложений и вертикального распространения краевых глубинных разломов в истории их развития можно выделить три основных этапа, охватывающие девонский период, карбон – раннюю пермь и позднюю пермь – современный период.

Наиболее интенсивный рост нарушений, приведший к заложению Днепровского грабена, происходил на первом этапе, когда в отдельные периоды времени они являлись даже границей распространения осадков и вблизи них проходила береговая линия. Так было, по-ви-

димому, при отложении соленосных толщ, а также некоторых терригенных частей разреза девона. В ряде разведочных скважин, пробуренных вблизи краевых нарушений (ЗОI-р Шаловаловская, 220-р Колайдинская, I-р Пирятинская, 4-р Левенцовская, 3-р Лесковская и др.), в девонских отложениях встречены осадки прибрежных фаций: грубообломочные гравелиты и песчаники с включением обломков гранитов и гнейсов. Подобными гранитами и гнейсами представлен и докембрийский фундамент, вскрытый ниже этими же скважинами. Такой состав осадков несомненно свидетельствует о том, что они отлагались вблизи береговой линии у мест выхода докембрийских пород на поверхность.

В другие, по-видимому более продолжительные промежутки времени в девоне, краевые разломы не являлись границей распространения осадков, хотя рост их и происходил. Осадки отлагались и на бортах впадины, но в резко уменьшенных мощностях, а краевые разломы развивались конседиментационно. Во время региональных перерывов (внутридевонский, предкарбоновый, предранневизейский и предпоздневизейский) вследствие общего подъема всей территории впадины, даже одинакового по амплитуде для бортов и грабена, ранее отложившиеся на бортах осадки были уничтожены денудацией. В результате этого фундамент на большей части бортов перекрыт верхневизейскими отложениями. Все это создает видимость формирования краевых разломов только на стадиях восходящих движений региона, т.е. постседиментационно.

На втором этапе (карбон – ранняя пермь) рост сбросов краевых разломов происходил конседиментационно и постседиментационно, однако с меньшей интенсивностью, чем на первом этапе. При этом по северному краевому разлому имеются прямые данные об изменении мощностей карбона (Североголубовская, Шевченковская, Новотроицкая, Великобубновская площади, Краснорецкий сброс на северной окраине Донбасса), говорящие об их конседиментационном росте (18, 21).

Южный краевой разлом в каменноугольный период в виде конседиментационного сброса развивался только в турнейское и ранневизейское время, а позднее – в виде конседиментационной флексуры. О проявлении движений по нему в поздневизейское, намюрское и среднекарбоновое время свидетельствуют повышенные градиенты мощности этих отложений, установленные на таких прислоненных к разлому структурах, как Зачепиловская, Михайловская, Левенцовская, Пролетарская (18, 21). А о том, что эти движения проявлялись в

виде конседиментационной флексуры, а не сброса, косвенно ^{х/} свидетельствует следующее:

1. Если бы в период осадконакопления сброс непосредственно распространялся в отложения карбона, то реверсивные движения блоков в предпозднепермское время не приводили бы к образованию обратной флексуры, а только взброса.

2. Развитие вдоль южного краевого разлома только постседиментационных структур - в отличие от северного, вдоль которого локальные поднятия характеризуются конседиментационным развитием в карбоне.

В предпозднепермский перерыв северный краевой разлом проявлялся на большей части своей в виде сброса, южный же - местами в виде взброса (Зачепиловская и другие площади), а местами в виде сброса (Левенцовская площадь).

На третьем этапе (поздняя пермь - кайнозой) во время осадконакопления движения вдоль древних нарушений не происходили или приводили лишь к незначительным пликативным изгибам слоев. А во время перерывов в осадконакоплении (предьюрский, предмеловой, предпалеогеновый) продолжались небольшие подвижки вдоль древних сбросов в том же направлении, обусловившие лишь флексурообразный изгиб пород мезо-кайнозоя без разрыва их сплошности. Однако вдоль некоторых из них происходили реверсивные движения ранее опускавшихся блоков. Это приводило к образованию обратных флексур на Колайдинской, Зачепиловской, Пролетарской и других площадях.

Движения по глубинным и региональным разломам в неотектоническую эпоху (неоген-антропогеновое время) изучены пока еще недостаточно хорошо. На основе морфометрических исследований В.А. Мелиховым (29) установлено, что разломы, выделенные по поверхности докембрийского фундамента по данным КМПВ, находят отражение и на профилях базисной поверхности второго порядка. Это свидетельствует о проявлении движений по древним разломам на неотектоническом этапе развития региона. Однако общую величину и скорость движений оценить пока не представляется возможным. По-видимому, они сравнительно невелики (единицы, до 10 м), во всяком случае ниже точности определения амплитуд разрывных нарушений по данным бурения. Поэтому проявление неотектонических движений часто не фиксируется по ныне лежащему выдержанному реперу в палеогене (подошве мергелей киевской смыты).

^{х/} Прямых данных (подсечение одного и того же сброса в разных частях разреза карбона), к сожалению, не имеется.

Региональные и локальные разрывные нарушения, развитые внутри Днепровского грабена и на бортах впадины и не связанные с соляными куполами, изучены значительно хуже краевых нарушений. Однако имеющиеся данные позволяют считать, что и они являются по-гребенными сбросами допозднепермского формирования. И лишь эпи-континентальные сбросы, осложняющие сводовые и присводовые части солянокупольных структур, развивались также в мезозойское и кайнозойское время.

Тектонически экранированные ловушки в Днепровско-Донецкой впадине могут быть связаны с охарактеризованными выше глубинными, региональными и локальными разрывными нарушениями, возникшими непосредственно под действием блоковых подвижек фундамента или (часто для локальных сбросов) в виде сопутствующих более крупным нарушениям.

К настоящему времени в Днепровско-Донецкой впадине уже выявлено несколько месторождений с залежами тектонически экранированного типа, не связанными со сводовыми и присводовыми частями локальных положительных структур. Это Горобцовское, Гнединцевское (газовые залежи в нижнем карбоне), Лиманское и, возможно, Руденковское месторождения.

Горобцовское месторождение приурочено к моноклинали, расположенной к северу от Зачепиловской структуры (рис. 64).

Скв. I-р на глубине 1700 м в отложениях намюрского яруса подсекла сброс с амплитудой 80 м, а ниже из интервала 2360–2366 м (горизонт В-8 виэйского яруса) из нее получен приток нефти с водой. Плотность нефти 0,846. Скв. 2-р подсекла сброс в отложениях верхнего виэе на глубине 2220 м с амплитудой 80 м, а ниже на глубине 2230–2245 м вскрыла горизонт В-8, который оказался обводненным (правда, по данным БКЗ, без испытания), хотя он и залегает в ней на 107 м выше, чем в скв. I-р.

Верхневиэйские песчаники Горобцовской площади выдержаны по простирианию. Поэтому можно достаточно обоснованно предполагать, что залежь нефти, вскрытая в скв. I-р, приурочена к тектонически экранированной ловушке. Обводненность горизонта В-8 в скв. 2-р объясняется расположением ее в другом блоке. Следует отметить, что при такой интерпретации строения площади основная часть ловушки (блок I) осталась неразведенной, так как скв. I-р расположена на краю ее.

Вскрытая скважиной I-р нефтяная залежь контактирует по сбросу с непроницаемыми аргиллитами, перекрывающими продуктивный гори-

зонт. Последнее обосновывается следующим: амплитуда сброса 80 м, а мощность непроницаемых пород над продуктивным горизонтом больше – 130 м. Так как залежь приурочена к поднятым крыльям сброса, то она и контактирует с этими аргиллитами. Сбросы на площади являются погребенными – по отражающему горизонту U^2 (верхняя пермь) они не проявляются.

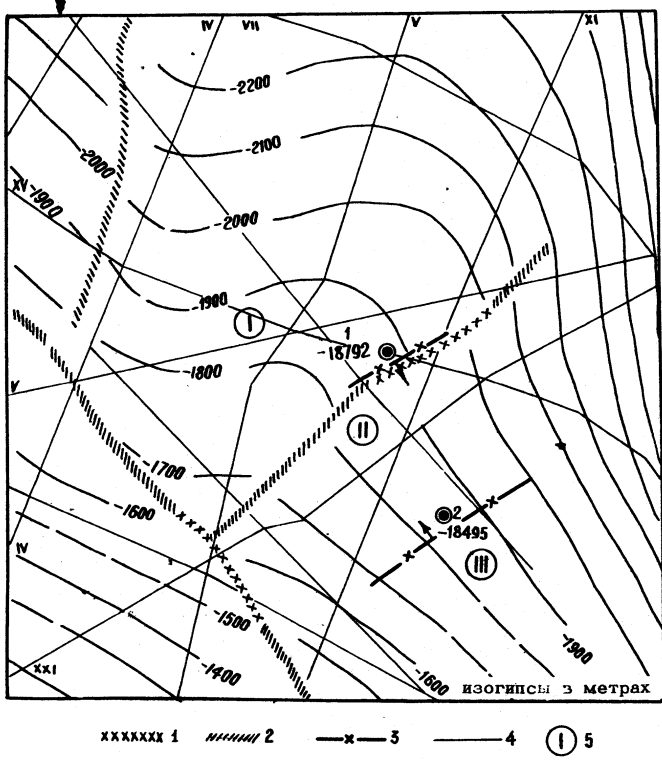


Рис. 64. Горобцовская площадь. Структурная карта по отражающему горизонту U^2 (визейский ярус).

По А.И. Ермаковой.

Сбросы по данным сейсморазведки: 1 – установленные; 2 – предполагаемые; 3 – сбросы по данным бурения; 4 – сейсмические профили; 5 – номера блоков.

На Гнединцевском месторождении в отложениях верхневизейского подъяруса разведана газовая залежь в горизонтах В-4¹, В-4, В-5 и В-6 (рис. 65). Ловушка ее комбинированная: частично образована локальным поднятием, еще сохраняющимся по продуктивным горизонтам,

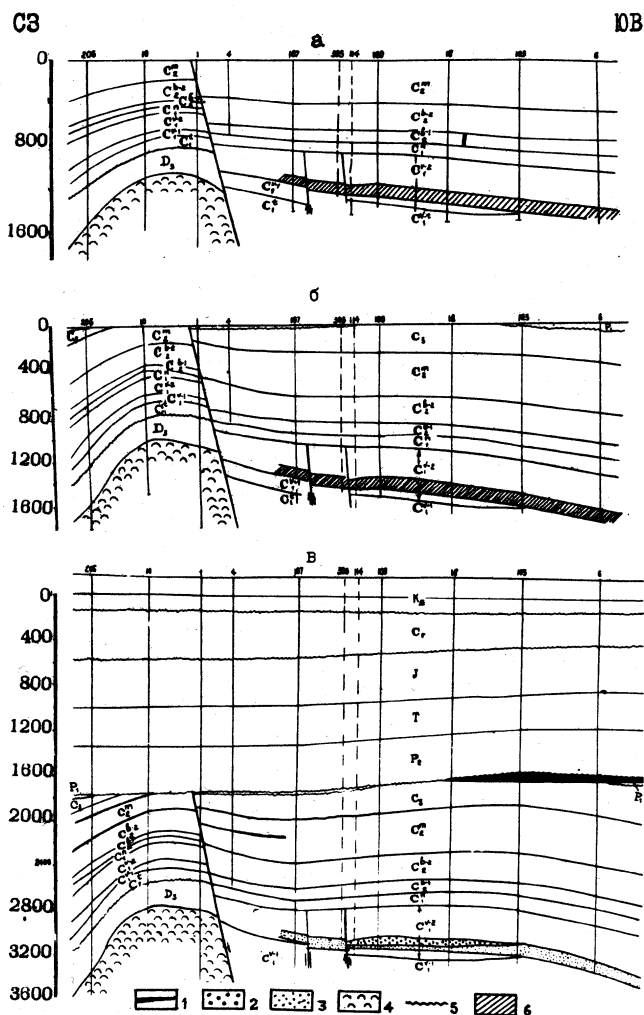


Рис. 65. Месторождение Гнединцы. Палеотектонические профили. По Б.П.Кабышеву, 1969.

а - к предпозднекарбоновому времени; б - к предпозднепермскому времени; в - современный этап; 1 - нефть; 2 - газ; 3 - водонасыщенный коллектор; 4 - соль; 5 - границы позднекорричных несогласий; 6 - продуктивная часть разреза визейского яруса.

а частично сбросом, проходящим между скважинами II4 и 303, и структурным носом. Этот вывод обосновывается следующими данными. Газовые горизонты В-4, В-5 и В-6 имеют общий газо-водяной контакт на отметке -3112 м. Высота этажа газонесности равна 85 м^{х/}. Амплитуда же пликативного перегиба на западной периклинали Гнединцевского поднятия составляет не более 35-45 м. Остальная часть высоты залежи экранируется сбросом. В скв. 303, расположенной в 300 м северо-западнее скв. II4, песчаные горизонты В-4 и В-5 вскрыты почти на одинаковых отметках со скв. II4 и значительно выше контакта газ-вода, но оказались обводненными. Это можно объяснить только наличием тектонического экрана между данными скважинами, так как литологический состав пород в них не претерпевает существенных изменений. Характерно, что сброс выполняет роль экрана, несмотря на то, что продуктивные горизонты по нему контактируют с водонасыщенными песчаниками соседнего блока. Кроме того, по продуктивным горизонтам сброс характеризуется небольшой амплитудой. Основными условиями возникновения экранирующих свойств, по-видимому, являются древний возраст и отсутствие подвижек по нему с каморского века.

Последний вывод вытекает из анализа мощностей каменноугольных отложений. В это время на Гнединцевской площади замкнутое поднятие не формировалось, а развивался структурный нос или моноклиналь. В начале карбона (и, вероятно, в девоне) структурный нос отделялся от Богдановского поднятия одним или несколькими сбросами, проходящими между скважинами I07 и II4 (рис. 65, а). С камора движения по этим сбросам уже не происходили. Замкнутое поднятие на Гнединцевской площади формировалось только в поздне-пермское и мезокайнозойское время. Поэтому с глубиной амплитуда пликативного перегиба на северо-западном крыле структуры уменьшается, так что по нижневизейским отложениям это крыло полностью выподаживается. Учитывая, что экранирующий газовые залежи сброс и структурный нос по времени формирования древние (палеозойские), тектонически экранированная ловушка также является древней.

В последнее время на Гнединцевском месторождении в скв. II4

^{х/} Следует отметить, что в скв. I8 получен приток газа также из горизонта В-7, в то время как в других скважинах этот горизонт на таких же отметках насыщен водой. Причина недостаточно ясна. Возможно, это объясняется наличием тектонического экрана между скважинами I00 и I8, или насыщение горизонта В-7 в скв. I8 обусловлено перетоком газа из вышеупомянутых горизонтов вследствие негерметичности колонны в довольно длительный период времени, прошедший между окончанием бурения скважины и ее испытанием.

в процессе бурения испытателем пластов на каротажном кабеле ОПТ-7-10 были опробованы несколько горизонтов в нижневизайских и турнейских отложениях, залегающих под нижневизайской известняковой плитой. При этом с глубин 3531,5 м, 3533,5 м и 3534 м подняты пробы газа с конденсатом. Газ содержит 91% метана, 5,6% этана, 2,65% пропана и 0,5% бутана. С глубины 3575 м и 3627 м подняты пробы газа без конденсата. Вскрытие скв. II4 возможно новые газовые залежи также приурочены к ловушкам тектонически экранированного типа, так как по нижневизайским отложениям отсутствует прогиб между Гнединцевским и Богдановским поднятиями – в скв. I07 нижневизайские отложения залегают на 120 м выше, чем в скв. II4 (рис. 65).

Лиманское месторождение приурочено к удаленной северо-западной периклинали Зачепиловской структуры, отделяющейся от последней несогласным сбросом (рис. 66, 67). Продуктивным является горизонт В-19 поздневизайского возраста, содержащий нефтяную залежь

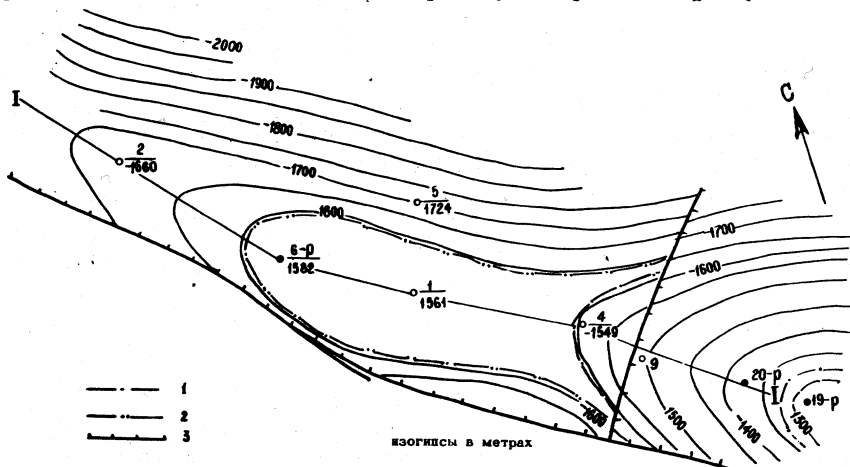


Рис. 66. Лиманское месторождение. Структурная карта по продуктивному горизонту В-19 (верхний визе). По Г.М.Александрову и Р.В.Гелете, 1969.

I – контур газ-нефть; 2 – контур нефть-вода; 3 – сбросы.

(скв. I-к и 6-р) с газовой шапкой (скв. 4-к). В скв. 20-р горизонт В-19 насыщен водой, а в скв. 9-к он при испытании оказался "сухим". Экранирующий сброс скважинами не подсечен. Исходя из структурных построений, он развит в отложениях карбона, а в верхнепермские и выше лежащие осадки уже не распространяется.

В заключение рассмотрения уже открытых тектонически экранированных залежей в Днепровско-Донецкой впадине следует отметить, что закономерности их строения и возраст экранирующих оббросов в общем соответствуют этим факторам, установленным нами в отношении зарубежных месторождений.

X X

Хотя месторождения нефти и газа с залежами в ловушках тектонически экранированного типа на моноклиналях в общем балансе месторождений мира занимают подчиненное положение, однако в ряде регионов в них сосредоточена значительная часть запасов нефти и газа. Таким регионом может оказаться и Днепровско-Донецкая впадина, где имеются весьма благоприятные предпосылки для широкого развития этого типа залежей. Исходя из конкретных условий впадины и общих закономерностей строения тектонически экранированных залежей в других районах, можно наметить наиболее благоприятные стратиграфические комплексы и наиболее перспективные участки для поисков здесь месторождений данного типа.

Благоприятные стратиграфические комплексы должны характеризоваться следующими условиями:
 а/ чередованием проницаемых и непроницаемых (с преобладанием последних) горизонтов небольшой мощности; б/ довольно выдержаным литологическим составом (особенно по вертикали); в/ нарушенностью крупными и мелкими сбросами. Такими условиями в Днепровско-Донецкой впадине об-

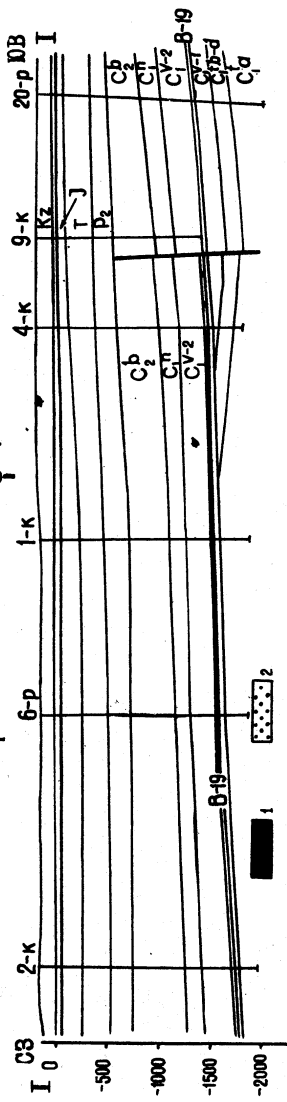


Рис. 67. Лиманское месторождение. Геологический профиль. По Г.И.Александрову и Р.В.Генете, 1969.

1 - нефть; 2 - газ.

ладают нижнекаменноугольные, девонские и частично среднекаменноугольные отложения. Первоочередным и самостоятельным объектом поисков являются нижнекаменноугольные отложения, содержащие 37% прогнозных запасов нефти и газа в регионе и характеризующиеся наиболее благоприятными условиями для образования тектонически экранированных залежей. Поиски залежей в среднекаменноугольных отложениях в рассматриваемых ловушках на большей части территории впадины следует производить попутно с поисками их в нижнекаменноугольных отложениях. И лишь на отдельных участках северной прибрежной зоны, где эти отложения менее опесчанены, а нижнекаменноугольные залегают очень глубоко (более 4–5 км), они могут быть самостоятельным объектом разведки (например, район северной прибрежной зоны впадины между Качановской и Коломакской структурами).

Высокоперспективны в отношении открытия залежей тектонически экранированного типа девонские отложения. Однако разведка их находится еще в начальной стадии. По этим отложениям несомненно имеется большой фонд неразведенных локальных антиклинальных структур, хотя выделять их существующими методами пока еще трудно. Поэтому вопрос о выявлении тектонически экранированных ловушек на моноклиналях в девонских отложениях в настоящее время не стоит так остро и актуально, как в осадках карбона. Тем не менее на ряде площадей прибрежных зон Днепровско-Донецкой впадины (Борковская, Максаковская и др.), где под антиклинальными структурами в карбоне установлены разорванные сбросами моноклинали по отложениям девона (23), уже теперь имеются предпосылки для заложения новых поисковых скважин на тектонически экранированных ловушках.

Высокоперспективные терригенные отложения нижней перми и верхнего карбона, являющиеся в настоящее время одним из основных объектов поисков залежей в ловушках сводового типа, малоблагоприятны для образования в них тектонически экранированных залежей, так как характеризуются невыдержаным литологическим составом пород. В них наблюдается частое замещение глин и аргиллитов песчаниками и алевролитами, вследствие чего образуются массивно-пластовые залежи большой высоты. Нарушающие такие залежи разрывы не служат экранами для углеводородов, так как амплитуда их обычно меньше высоты залежей и мощности проницаемой части разреза (Шебелинское, Сливаковское, Новоефремовское месторождения). Исключение составляют случаи, когда эти отложения экранируются соляными штоками. Тогда невыдержанность их состава не является фактором, влияющим на образование тектонически экранированной ловушки.

Отложения мезозоя и верхней перми также неблагоприятны для поисков тектонически экранированных залежей на моноклиналях по той причине, что региональные и другие крупные разрывные нарушения в них не распространяются (кроме сводовых частей соляных куполов, где формирование сбросов во многом обусловлено только сопливым тектогенезом и происходило и в мезозое).

В площадном отношении перспективными участками для поисков тектонически экранированных залежей в нижнекаменноугольных отложениях являются зоны краевых нарушений Днепровского грабена, моноклинальные участки в пределах самого грабена, а также, хотя и в меньшей степени, борта впадины. Наиболее перспективна зона северного краевого нарушения. В настоящее время достоверно установлено, что северное краевое нарушение фундамента в осадочный чехол распространяется до отложений верхней перми. В осадках нижнего и среднего карбона оно обычно выдержано в виде одного или нескольких сближенных согласных сбросов с опущенными южными крыльями. Не исключается также возможность наличия здесь несогласных сбросов с северным наклоном сбрасывателей. Сбросы северного краевого нарушения характеризуются конседиментационным развитием в каменноугольный период, а с позднепермской эпохи — прекращением роста или весьма небольшой интенсивностью развития в виде флексур. Такие условия наиболее благоприятны для формирования и сохранения залежей в ловушках, экранированных этими сбросами.

Несколько менее перспективной, но все же благоприятной является зона южного краевого нарушения. Объясняется это тем, что последнее на протяжении пермской и мезозойской истории развития характеризовалось большей тектонической активностью по сравнению с северным. В осевой части Днепровского грабена представляют интерес для поисков тектонически экранированных залежей нефти и газа далекие погружения крыльев и периклиналей крупных валообразных поднятий (Солоховско-Диканьское, Глинско-Розыщевское, Малосорочинско-Радченковское и др.), структурные носы, экранированные сбросами, межантклинальные зоны и т.д.

Эти участки, а также прибрежные зоны в нижнекаменноугольных отложениях наиболее перспективны в средней и северо-западной частях Днепровско-Донецкой впадины (до Кошелевского выступа). Менее перспективны данные ловушки в юго-восточной части впадины и на окраинах Донбасса. Это обусловлено тем, что там открыты пока только газовые месторождения в ловушках сводового типа, а газовые

залежи в тектонически экранированных ловушках на моноклиналях статистически встречаются значительно реже, чем нефтяные. Правда, возможность открытия в более глубоких горизонтах юго-восточной части Днепровско-Донецкой впадины и нефтяных месторождений полностью не исключается. Тогда возрастет здесь и перспективность тектонически экранированных ловушек.

Основным методом поисков тектонически экранированных ловушек в Днепровско-Донецкой впадине является сейсморазведка в комплексе с бурением отдельных поисковых скважин до перспективных отложений. В меньшей степени может быть использовано структурное бурение - на участках неглубокого (1000-1500 м) залегания каменноугольных отложений (зона южного краевого нарушения и борта впадины). Зоны краевых нарушений должны стать первоочередными объектами для поисков тектонически экранированных ловушек еще и потому, что на большей их протяженности по перспективным нижнекаменноугольным отложениям заведомо присутствует один элемент ловушек - продольный региональный сброс. Необходимо сейсморазведкой точно прорассировать его положение и выявить вблизи него структурные носы или мелкие поперечные сбросы, которые совместно с региональным нарушением будут образовывать ловушки. Для этого, по-видимому, потребуется совершенствование методики сейсмических работ, так как в настоящее время в ходе их в отложениях карбона Днепровско-Донецкой впадины не всегда достаточно уверенно выделяются сбросы со сравнительно небольшой амплитудой (30-50 м) на глубинах 2-3 км. Довольно часто сейсморазведкой сбросы пропускаются, о чем говорит последующее подсечение их скважинами, как в рассмотренном выше примере на Горобцовской площади (скв. 2).

Большую роль в поисках ловушек тектонически экранированного типа могут сыграть повторные сейсмические исследования, проводящиеся после бурения на площади первых нескольких скважин, или постановка площадных сейсмических работ в первую очередь на тех участках прибрежных зон, на которых имеются пробуренные до каменноугольных отложений скважины, но структурные условия которых неизвестны или плохо изучены (например, Чупаховская, Шевченковская, Североголубовская площади). На этих площадях каменноугольные отложения несомненно нарушены сбросами, а некоторые из них даже подсечены в скважинах. С учетом пробуренных здесь скважин достоверность выделения сейсморазведкой тектонически экранированных ловушек будет значительно большей.

На основе уже проведенных в последние годы площадных сейсмо-

разведочных работ в отложениях карбона Днепровско-Донецкой впадины можно выделить более 20 с той или иной степенью достоверности установленных ловушек тектонически экранированного типа на Щуровской, Озерянской, Плисковской, Радянской, Радченковско-Малосорочинской, Руденковской, Опошнянской, Краснозаярской и других площадях. На них целесообразно пробурить по одной поисковой скважине со вскрытием низнекаменноугольных отложений с целью оценки продуктивности ловушек, а также для комплексной переинтерпретации сейсмических материалов, которая будет способствовать уточнению трассировки ранее выделенных нарушений.

В заключение необходимо подчеркнуть, что Днепровско-Донецкая впадина является весьма перспективной в отношении поисков тектонически экранированных залежей нефти и газа вне пределов сводовых и присводовых частей локальных положительных структур. В ловушках этого типа предполагаются преимущественно нефтяные залежи, а не газовые. Развиты они будут на средних глубинах. Выявлять такие ловушки легче, чем стратиграфически и литологически экранированные. Поиски залежей углеводородов в ловушках тектонически экранированного типа на моноклиналях находятся на самой начальной стадии. Нет сомнения в том, что целенаправленные поиски ловушек такого типа позволят значительно увеличить фонд перспективных объектов для поискового бурения, а ввод их в бурение - открыть новые месторождения нефти и газа в Днепровско-Донецкой впадине.

2. ДРУГИЕ РЕГИОНЫ СССР

Степень разведенности большинства нефтегазоносных регионов СССР пока еще недостаточно высока. Поэтому в них не исчерпаны перспективы выявления нефтяных и газовых месторождений в сводовых ловушках на антиклинальных структурах, разведка которых обычно наиболее эффективна. По мере разведки и использования фонда таких структур наступает период, когда особенно актуальной становится задача поисков залежей неантеклинального типа (тектонически, стратиграфически и литологически экранированных). Иногда поиски тектонически экранированных залежей на моноклиналях с самой начальной стадии освоения региона приобретают важное и самостоятельное значение, как это наблюдается в Восточновенесуэльском бассейне и во внешней зоне Галф Коста.

К настоящему времени на территории Советского Союза месторождения нефти и газа с залежами тектонически экранированного типа

на моноклиналях кроме Днепровско-Донецкой впадины в небольшом количестве известны в Башкирии, в зоне бортового уступа Прикаспийской впадины и в Прибалтике.

В юго-западной части Башкирии, по данным Г.А.Фаттахутдинова (34), терригенные отложения девона полого ($0^{\circ}10'$ - $0^{\circ}36'$) погружаются к югу и юго-востоку (рис. 68). Эта моноклиналь осложнена

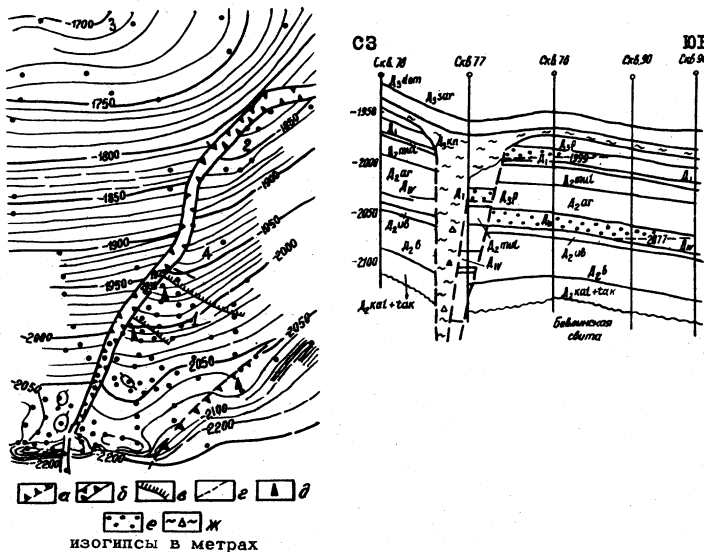


Рис. 68. Структурная карта юго-западной Башкирии по кровле пашайского горизонта и профиль через Хомутовскую площадь. По Г.А.Фаттахутдинову, 1970.

Площади: 1 - Хомутовская; 2 - Сатаевская и Каныбековская; 3 - Шкаповская; 4 - Азнакаевская; а - Алябьевско-Сатаевский грабен; б - предполагаемый сброс; в - литологическое выклинивание коллектора; г - линия профиля; д - залежи нефти на карте; е - залежи нефти на профиле; ж - аргиллиты кыновского горизонта.

Алябьевско-Сатаевским грабеном шириной 0,5-2,5 км, простирающимся в северо-восточном направлении на расстояние 60 км. Залежи нефти в пашайских и нижележащих отложениях терригенного девона приурочены к юго-восточному блоку моноклинали и располагаются цепочкой вдоль экранирующего их грабена. На Сатаевской и Каныбековской площадях (рис. 68) ловушка нефтяной залежи в пласте D₁ образована моноклиналю и изогнутым сбросом. На Хомутовской площади в горизонте D₁ ловушка комбинированная: на северо-западе сброс, а на северо-востоке и юго-западе - литологическое выклини-

вание коллектора. Сходное строение имеет и центральная часть Башкирии вблизи г.Уфы, где залежи нефти на Северосергееvской площади в пластах D_1 пашийского и D_{II} муллинского горизонтов экранируются основным продольным и мелкими поперечными сбросами. Амплитуды сбросов по продуктивным горизонтам во всех указанных выше случаях достигают 80 м.

Охарактеризованные сбросы, по данным Г.А.Фаттахутдинова (34), образовались в начале кыновского времени. В каменноугольных и нижнепермских отложениях они отражаются в виде слабовыраженных флексур.

Весьма перспективной зоной для поисков тектонически экранированных залежей на моноклиналях является бортовая часть Прикаспийской впадины, строение которой во многом сходно со строением внешней зоны Галф Коста. Сбросовые нарушения развиты как во внешней, так и во внутренней зоне бортового уступа Прикаспийской впадины и напоминают системы сбросов Балконес, Мексика, Талко и другие в Галф Косте. Так, например, по данным М.Б.Эздрина (39), Усовско-Тепловская зона нефтегазонакопления в Саратовском Поволжье на всем протяжении (около 100 км) осложнена сбросами. "На севере она рассечена бортовым уступом, а на юге, непосредственно за бортом, протягивается система встречных сбросов, образующих прибортовой грабен, который прослеживается почти на протяжении всей зоны. Ширина грабена от 2 до 7 км. К его северному борту, совпадающему с бортовым уступом Прикаспийской впадины, примыкает ряд структурных носов и террас. Южный борт грабена, расположенный во внутренней прибортовой части Прикаспийской впадины, также несет на себе ряд структурных осложнений, зафиксированных по отражающим горизонтам в карбоне. Благоприятное сочетание выявленных здесь нарушений дает основание предполагать возможность обнаружения тектонически экранированных залежей, связанных с пермскими и каменноугольными и, вероятно, севернее бортового уступа и девонскими отложениями" (39).

На территории Прибалтики в последние годы в отложениях кембрия выявлено несколько месторождений нефти с залежами тектонически экранированного типа на моноклиналях, описанных А.А.Каплан и П.И.Сувейзис (24). В тектоническом отношении регион представляет собой восточный склон Балтийской синеклизы. Он сложен породами от кембрия до современных, залегающих на докембрийском складчатом основании.

Наиболее изученной в настоящее время является Гаргайдайская

Нефтеносная площадь, расположенная на территории Литвы в 25 км восточнее г. Клайпеды. В тектоническом отношении она представляет собой пологую моноклиналь с северо-западным наклоном, нарушенную основным субмеридиональным сбросом с амплитудой до 180 м и более мелкими поперечными разрывами (рис. 69). Все сбросы несогласные. Тектонически экранированные ловушки образованы пересечением основного продольного и более мелких поперечных сбросов и приурочены к их поднятым крыльям.

Нефтеносными являются тискеские песчаники кембрия. Из девяти пробуренных на Грагждайском месторождении скважин пять дали притоки нефти с дебитами от нескольких до 50-70 т/сутки (отмечалось фонтанирование). Максимальные притоки нефти получены из скважин, расположенных в верхних угловых частях блоков у мест пересечения сбросов.

Грагждайская площадь была подготовлена электрической сейсморазведкой, установившей по поверхности фундамента и в осадочном чехле два локальных поднятия и основной сброс. Последующие деталь-

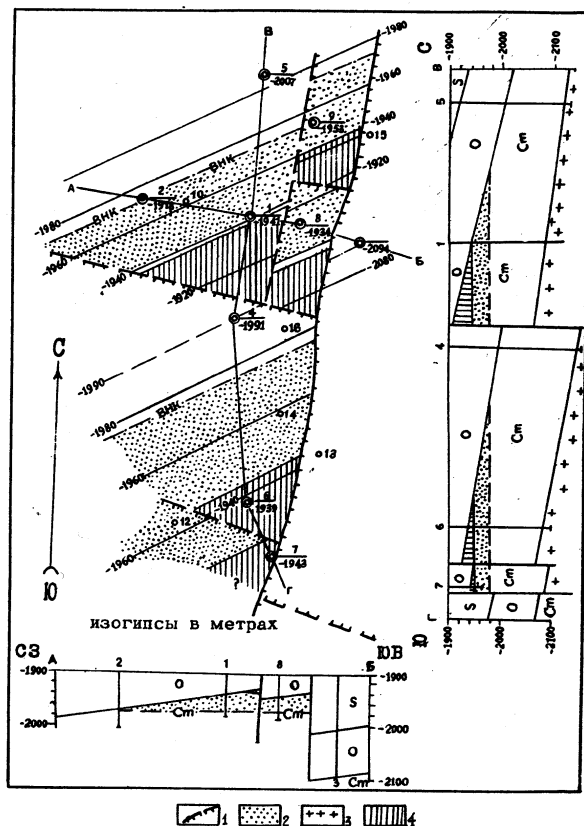


Рис. 69. Грагждайское месторождение. Структурная карта по кровле тискесского горизонта кембрия и профили. По А.А.Каплан и П.И.Сувейзис.

1 – сбросы; 2 – участки с непромышленными притоками нефти; 3 – поверхность докембрийского фундамента; 4 – участки с промышленными притоками нефти.

ные грави- и магнитометрические исследования и глубокое бурение не подтвердили наличие антиклинальных структур, а показали развитие на площади моноклинально наклоненных блоков.

Экранирующие сбросы на Гаргайдайском месторождении, как и на большинстве других участков Прибалтики, развиты в отложениях кембрия, силура, девона и карбона и не распространяются в виде разрывов в пермские и вышележащие отложения, будучи погребенными. Формирование сбросов "связано главным образом с эпохами погружения" региона (24), т.е. они являются конседиментационными в противоположность антиклинальным структурам Прибалтики, преимущественно постседиментационным.

Во многом сходно с описанным выше строение Красноборской площади в Калининградской области и Кулгинской в Латвийской ССР. Все это позволило А.А.Каплан и П.И.Сувейзис (24) сделать вывод о приуроченности залежей нефти в Прибалтике в основном к тектонически экранированным ловушкам на моноклиналях, а не к антиклинальным структурам. Характерно, что в этом регионе детальные грави- и магнитометрические исследования в комплексе с сейсморазведкой КМПВ и МОВ позволяют весьма уверенно выделять разрывные нарушения и тектонически экранированные ловушки.

О наличии месторождений нефти и газа с залежами тектонически экранированного типа на моноклиналях в других регионах Советского Союза в литературе сведений не имеется.

Использование установленных и охарактеризованных выше общих закономерностей строения тектонически экранированных залежей (преимущественная приуроченность к поднятым крыльям несогласных сбросов, конседиментационность в развитии и погребенность экранирующих сбросов и др.) должно способствовать более эффективным их поискам. Перспективны же в этом отношении многие регионы Советского Союза и в первую очередь те, осадочный чехол в которых более интенсивно осложнен разрывными нарушениями сбросового типа. Это прежде всего грабенообразные прогибы типа Днепровско-Донецкой впадины, межгорные и предгорные прогибы (Ферганская впадина, районы Предкавказья и Предкарпатья), пограничные зоны крупных отрицательных платформенных структур (бортовой уступ Прикаспийской впадины). В меньшей степени благоприятны для поисков тектонически экранированных залежей более спокойные типично платформенные участки в Волго-Уральской и Западносибирской областях, хотя и здесь нижняя часть осадочного чехла, непосредственно залегающая на фундаменте, может быть достаточно интенсивно нарушена разрывами.

4. НЕКОТОРЫЕ ВОПРОСЫ ФОРМИРОВАНИЯ ТЕКТОНИЧЕСКИ ЭКРАНИРОВАННЫХ ЗАЛЕЖЕЙ НА МОНОКЛИНАЛЯХ

Рассмотрим некоторые вопросы формирования месторождений нефти и газа в ловушках тектонически экранированного типа на моноклиналях и особенно роль сбросов в этом процессе.

Формирование тектонически экранированных залежей в Галф Косте, Восточновенесуэльском и Венском бассейнах исследователи обычно рассматривают в тесной связи с вопросом о происхождении нефти и газа. При этом большинство зарубежных геологов, изучавших район Галф Кост и Восточновенесуэльский бассейн, придерживаются гипотезы органического происхождения нефти и формирования залежей ее в результате преимущественно латеральной миграции, а сбросы рассматривают только как экраны.

Гедберг, Сасс и Функхаузер (44) приводят следующие данные о южном борте Восточновенесуэльского бассейна, отрицающие вертикальную миграцию по сбросам и говорящие в пользу образования нефти вблизи тех горизонтов, где она теперь находится:

1. Нефти различных горизонтов в пределах одного блока имеют весьма различные свойства. Так, плотность ее изменяется от 0,74 до 1, с содержание парафина - от следов до 15% и более, наблюдаются различные газонасыщенность, цвет, содержание серы и др., причем эти изменения незакономерны по отношению к глубине залегания продуктивных горизонтов. Характерным примером является наличие сильно парафинистой нефти в горизонтах Д и Е на месторождении Офисина в средней части продуктивного разреза, которые перекрываются и подстилаются горизонтами с беспарафинистой нефтью.

2. Различия в солености воды горизонтов в пределах одного блока, несовместимые с вертикальной миграцией.

3. Песчаники в низах свиты фрейтис, залегающие непосредственно выше свиты официна, на всех месторождениях лишены нефти, хотя мало чем отличаются от нижележащих продуктивных горизонтов с точки зрения коллекторских свойств, покрышек и ловушек. Отсутствие нефти в свите фрейтис названные выше исследователи объясняют отсутствием нефтематеринских отложений.

4. Общая тенденция к увеличению удельного веса нефти (вплоть до асфальтоподобной) с глубиной (хотя имеются и некоторые исключения) находится в соответствии с общей направленностью к опресне-

ние бассейна осадкоакопления при отложении низов свиты оффсина и осадков верхнего мела.

5. Отсутствие поверхностных нефтепроявлений, даже в районе Перседес, где большинство экранирующих залежи сбросов выходит на поверхность.

В отношении месторождений с залежами тектонически экранированного типа в Галф Косте большинство американских геологов (К.Ландис, Л.Г.Бикс и др.) придерживаются представлений, согласно которым сбросы выполняют в основном роль экранов для латерально мигрировавших углеводородов, источником которых являются нефтематеринские породы мезозоя и кайнозоя. Интересная схема формирования залежей предложена Д.Р.Такером для системы сбросов Сэмплис (рис. 27), образующих прогиб Карнс (68). Поскольку структурные формы системы Сэмплис сходны с таковыми в других сбросовых зонах Галф Коста (Мексика, Тампо, Южный Араканс и др.), остановимся на этом представлении подробнее (рис. 70).

По мнению Д.Р.Такера, по кровле продуктивной свиты эдвардс к предпозднемеловому времени образуется пликативный прогиб Карнс (стадия I, рис. 70). После некоторого регионального наклона пород к юго-востоку по южному крылу его возникает пликативное вздымание пород и формируются сводовые залежи углеводородов (стадия 2, рис. 70). В последующем (автор не уточняет когда) формируются сбросы и нарушают залежь, превращая ее в тектонически экранированную (стадии 3,4 на рис. 70). По нашему мнению, эта схема образования залежей недостаточно обоснована вследствие того, что базируется на неверных представлениях о возрасте экранирующих сбросов.

Д.Р.Такер считает, что "сбросы не начинали формироваться по крайней мере до конца раннемелового времени" (68, стр. 838). Выше было показано, что экранирующие разрывы в периферийных сбросовых системах Галф Коста формируются с самого начала отложения новых продуктивных свит, причем наибольший прирост амплитуды их приходится на период осадкоакопления в меловое время.

В истории региона не было периода (начиная с раннего мела), когда бы прогиб Карнс развивался без сбросов. Например, амплитуда экранирующего сброса на месторождении Персон (рис. 28, 29), расположеннном в этом прогибе, так изменяется снизу вверх: по кровле продуктивной свиты эдвардс 150 м, по кровле нижнего мела - 115 м, по кровле верхнего мела - 20 м. Следовательно, к предпозднемеловому времени амплитуда сброса по кровле эдвардса уже составляла 35 м (23%), а к концу верхнего мела - 130 м (87%). Кроме того, анализ мощностей показывает, что в пределах всех грабенов периферий-

ной зоны Галф Коста пликативный наклон слоев направлен только к оси бассейна и нет противоположных наклонов, как это показано на схеме Д.Р.Такера (стадия I,2 рис. 70). Следовательно, даже при условии раннего (меловой период) времени образования месторождений нефти и газа залежи в сбросовых зонах Галф Коста, по-видимому, сразу формировались как тектонически экранированные, а не как скважинные.

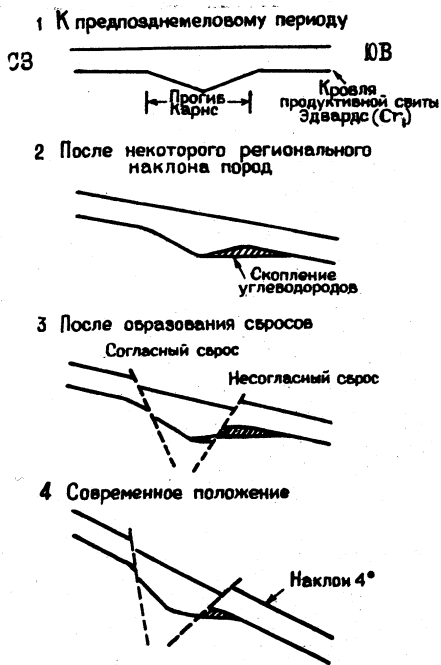


Рис. 70. Схема формирования залежей углеводородов в зоне сбросов Самплис. По Д.Р.Такеру, 1968.

теринскими в Венском бассейне являются мезозойские отложения, а формирование залежей в миоцене и плиоцене обусловлено вертикальной миграцией.

Г.Н.Доленко (19) и некоторые другие исследователи защищают гипотезу неорганического происхождения нефти и газа в Венском

По вопросу о происхождении углеводородов и формировании их залежей в Венском бассейне высказаны две основные точки зрения. В работах М.И.Вареницова (7), А.Т.Кротовича (26), Р.Яношека (47), К.Фриля (35) и других исследователей защищается гипотеза органического происхождения нефти (нефтематеринскими считаются глинисто-мергельные отложения миоценца в осевой наиболее погруженной части прогиба). Формирование залежей, по этим представлениям, происходило благодаря латеральной миграции флюидов от оси прогиба к бортам, скоплению их в приразломных ловушках (брехиантклинальных и полукуполов) и последующему перераспределению по разрезу путем вертикальной миграции по разрывам, имевшей в общем подчиненное значение.

В.И.Высоцкий и Л.А.Файнгерш (9) считают, что нефтематеринскими в Венском бассейне являются мезозойские отложения, а формирование залежей в миоцене и плиоцене обусловлено вертикальной миграцией.

бассейне, а формирование их залежей обусловливают вертикальной миграцией углеводородов с больших глубин по региональным разломам. При этом залежи по времени возникновения считаются молодыми: образование их произошло в конце плиоценового века (конец плиоцена) и связано с последней и наиболее сильной роданской фазой альпийского тектонического цикла. Одним из доказательств этого Г.Н.Доленко (19) считает молодой (постплиоценовый) возраст ловушек в Венском бассейне, что не соответствует действительности, ибо ловушки в данном регионе (сбросы, купола, полукупола), как показано выше, формировались на протяжении всего неогена, а постплиоценовая фаза лишь увеличила, хотя и довольно значительно, их амплитуды.

На основе установленных общих закономерностей строения тектонически экранированных залежей на моноклиналях (преимущественная приуроченность их к поднятым крыльям несогласных сбросов, конседиментационный характер развития экранирующих сбросов, погребенность и слабая активность их на последних этапах развития региона и др.) с учетом существующих представлений можно сделать некоторые выводы о роли сбросов в формировании этого типа залежей. Основной вывод, подтверждающий представления ряда советских исследователей (20, 10), состоит в том, что в одних случаях сбросы играют роль только экранов для углеводородов, а в других – и экранов, и проводников. Прямыми доказательством роли сбросов как экранов является существование тектонически экранированных залежей, где сбросы удерживают углеводороды. О сбросах же как проводниках (путем вертикальной миграции) свидетельствуют косвенные данные – поверхностные нефте-газопоявления у сбросов, многопластовость и большая стратиграфическая высота продуктивности, наличие залежей в самых верхних горизонтах разреза континентального происхождения. Эти признаки имеются в Рейнском грабене и Венском бассейне и, наоборот, отсутствуют в Восточновенесуэльском бассейне, Галф Косте и др.

Задача исследований состоит в том, чтобы установить, когда и в каких условиях разрывы являются проводниками, а когда экранами. Эта задача включает выяснение структурных, палеоструктурных, фациальных, гидродинамических и других условий района развития разрывных нарушений и может быть решена только на основе комплексного анализа этих вопросов. Сейчас же можно высказать только некоторые соображения, вытекающие из установленных закономерностей строения тектонически экранированных залежей нефти и газа вне пределов локальных поднятий.

В теоретическом плане очевидно, что наиболее благоприятные условия для миграции углеводородов по разрывным нарушениям создаются в периоды более интенсивного их формирования.

На основе установленной нами зависимости между запасами нефти в тектонически экранированных залежах и условиями развития экранирующих сбросов можно сделать вывод, что не всякая активность движений по сбросам благоприятна для миграции по ним углеводородов, а только постседиментационная. В то время, когда сбросы растут на фоне регионального подъема территории, происходит раскрытие системы трещин и, наоборот, даже при значительном конседиментационном формировании сбросов трещины его, по-видимому, не раскрываются и сбросы являются непроводящими. Это связано, вероятно, с тем, что при росте сбросов в условиях прогибания региона и осадконакопления, хотя в региональном плане и господствуют напряжения растяжения, вблизи поверхности сбрасывателя вследствие ее наклона возникают местные скимающие напряжения, что обосновывалось нами ранее при анализе механизма образования приразломных конседиментационных структур (21). Местные напряжения сжатия, видимо, и препятствуют раскрытию трещин сброса в период его конседиментационного роста.

Этот вывод подтверждается также распространением нефтяных и газовых залежей на солянокупольных поднятиях Днепровско-Донецкой владины (Рыбальское, Качановское, Сагайдакское, Бельское и др.). Подавляющее большинство сбросов, осложняющих эти поднятия, характеризуются постседиментационным формированием в предпоздне-пермскую, предмеловую и предпалеогеновую эпохи региональных восходящих движений. Это приводило к вертикальной миграции флюидов по сбросам снизу вверх в отложения верхней перми, триаса и юры и созданию большого этапа нефтегазоносности в пределах нарушенных сбросами структур.

Анализ тектонически экранированных залежей на моноклиналях позволяет также утверждать о несовместности представлений о молодом возрасте всех залежей (по В.Б.Порфириеву, миоцен-плиоценовом) и формированием их в результате вертикальной миграции по сбросам. У большинства таких залежей экранирующие сбросы являются погребенными, в неогене, а часто и значительно ранее они уже не формировались, т.е. условия существования этих сбросов были такие же, как и в современный период, когда они выполняют только роль экранов для углеводородов. Отсутствие подвижек по сбросам и обусловливало отсутствие вертикальной миграции флюидов по ним.

Даже допущение появления глубинных углеводородов с аномально высоким пластовым давлением, способствующим гидроразрыву трещин сбросов, не спасает положение, так как этот подток, вероятно, может происходить также только в периоды интенсивного постседиментационного роста сбросов. Кроме того, проявление таких процессов сохранилось бы в виде наличия в тектонически экранированных залежах аномально высоких пластовых давлений, что не подтверждается ни на одном из проанализированных месторождений.

В общем можно следующим образом представить схему формирования месторождений нефти и газа с залежами тектонически экранированного типа на моноклиналях. В период отложения ныне продуктивных толщ и вслед за ним в конседиментационно развивающихся ловушках в результате латеральной миграции углеводородов и экранирования их сбросами формируются первичные залежи нефти и газа. В районах, где в последующем не происходило значительных постседиментационных подвижек по сбросам или они вообще становились погребенными, первичные залежи без существенных изменений сохранились до настоящего времени (Восточноненесуэльский бассейн, Галф Кост и др.). Там же, где в период после формирования первичных залежей в регионе проявились одна или несколько постседиментационных тектонических фаз с соответствующей активностью движений по сбросам, происходили раскрытие трещин сбросов, разрушение первичных залежей углеводородов, миграция их по сбросовым трещинам вверх с насыщением вышележащих горизонтов. Формировались таким образом вторичные залежи, часть нефти и газа истекала на поверхность (Венский бассейн, Рейнский грабен). Такие залежи нефти и газа – как сохранившиеся первичные, так и вторичные – более мелкие по заласам, чем в первом случае, но имеют большую стратиграфическую высоту распространения.

Из приведенной схемы формирования тектонически экранированных залежей нефти и газа следует положение об экранирующих и проводящих свойствах сбросов. Экранами являются конседиментационные сбросы, проводниками – постседиментационные. Часто встречающиеся сбросы смешанного формирования на конседиментационных стадиях развития (и в периоды отсутствия роста вообще) выполняют роль экранов для углеводородов, а в периоды постседиментационного роста – роль проводников.

ЛИТЕРАТУРА

1. А н д р е с А., Ш а д А. Сейсмическое картирование сбросовых зон в северной и средней частях Верхнерейнского грабена. "У Межд. нефтяной конгресс", т. I, Гостоптехиздат, 1961.
2. А ли - Заде А.А., М артиросян А.М., Ч ерно-м ордиков М.З., Ш апиро Б.А. О влиянии дизъюнктивных нарушений на гидродинамическую изоляцию нефтегазоносных блоков. "Геология нефти и газа", 1966, № 5.
3. Б акиров А.А., Б акиров Э.А., М елик-Пашаев В.С., М узыченко Н.М., Ф омкин К.В., Юдин Г.Т. Теоретические основы и методы поисков и разведки скоплений нефти и газа. "Высшая школа", 1968.
4. Б род И.О., В асильев В.Г. и др. Нефтегазоносные бассейны земного шара. "Недра", 1965.
5. Б люменредер Ж. Месторождения Франции. Эльзас. "ХХ Межд. геолог. конгресс", т. 2, Гостоптехиздат, 1959.
6. Б рудерер В., Л уи М.К. Условия, контролирующие распределение и образование нефти в Рейнском грабене Франции и ФРГ. Сб. "Распространение нефти", Гостоптехиздат, 1961.
7. В арецков М.И. Геология и нефтеносность Венского бассейна. Сборн. геол. работ, посвященных памяти акад. И.М.Губкина. Гостоптехиздат, 1948.
8. В итенико В.А., Н овосильецкий Р.М., Ш вай Л.П. Некоторые вопросы формирования, сохранения и разрушения нефтяных и газовых залежей Днепровско-Донецкой впадины. Сб. "Тектоника и нефтегазоносность Днепровско-Донецкой впадины", "Наукова думка", 1966.
9. В и с о ц к и й В.И., Ф айнгерш Л.А. Образование нефти в Венском бассейне. "Геология нефти", 1969, № 12.
10. В олков А.М., Р ильков А.В. Влияние дизъюнктивных нарушений на формирование месторождений нефти и газа. В кн.:

- "Влияние вертикальной миграции флюидов на формирование залежей нефти и газа". Тр. ЗапСибНИГНИ, вып. 8, "Недра", 1968.
- II. Бакиров А.А. Нефтегазоносные области Америки. Гостоптехиздат, 1959.
12. Гавриш В.К. Глубинные структуры и методика их изучения. "Наукова думка", 1969.
13. Геология нефти. Справочник, т. 2, книга 2, "Недра", 1968.
14. Гедеманн Г.А. Нефтяные месторождения Гоне, Везердорф-Север, Эррель-Юг, Ханкенсбюттель. "ХХ Межд. геол. конгресс", т. 2, Гостоптехиздат, 1959.
15. Глушко В.В., Клиточенко И.Ф., Крамаренко В.Н., Максимов С.П., Чирвинская М.В. Геология нефтяных и газовых месторождений Украинской ССР. Гостоптехиздат, 1963.
16. Герман О. Юнггерманский молассовый бассейн."ХХ Межд. геол. конгресс", т.2, Гостоптехиздат, 1959.
17. Гехт Ф. Тектоника и миграция нефти в нефтяных месторождениях прогиба Гифхорн (северо-западная Германия)."У Межд. нефт. конгресс", т. I, Гостоптехиздат, 1961.
18. Гончаров Е.К., Кабышев Б.Д., Шевченко А.Ф. Характер тектонического развития северной краевой части Доно-Днепровского прогиба в каменноугольный период. Труды УкрНИГРИ, вып. I6, "Недра", 1968.
19. Доленко Г.Н. Геология нефти и газа Карпат. Изд-во АН УССР, 1962.
20. Еременко Н.А. Геология нефти и газа. "Недра", 1968.
21. Кабышев Б.П. Условия формирования надразломных и приразломных структур Днепровско-Донецкой впадины. Сб. "Геология и геохимия горючих ископаемых", вып. I6, "Наукова думка", 1968.
22. Кабышев Б.П. Перспективы поисков тектонически экранированных залежей нефти и газа на моноклинальных участках Днепровского грабена. "Нефтегазовая геология и геофизика", 1970, № 3.
23. Кабышев Б.П. Некоторые вопросы разведки девонских отложений в Днепровско-Донецкой впадине. "Нефтяная и газовая промышленность", 1970, № I.
24. Каплан А.А., Сувейзис П.И. Некоторые особенности тектоники Прибалтики в связи с ее нефтегазоносностью. БМОИП, отд. геол., № 3, 1970.

25. Кудрявцев Н.А. Глубинные разломы и нефтяные месторождения. Гостоптехиздат, 1963.
26. Кротович А.Т. Основные черты развития Венского бассейна в третичную эпоху. "Нефть и газ", 1959, № 6.
27. Леворсей А.И. Геология нефти. Гостоптехиздат, 1958.
28. Линецкий В.Ф. Миграция нефти и формирование ее залежей. "Наукова думка", 1965.
29. Мелихов В.А. К вопросу сопоставления морфометрических и геофизических данных. Сб. "Достижения геологической науки по Днепровско-Донецкой владим за годы Советской власти", Чернигов, 1967.
30. Моралес Л.Г. и колумбийские нефтяники. Геологическое строение и нефтеносность долины среднего течения р.Магдалена в Колумбии. Сб. "Распространение нефти", Гостоптехиздат, 1961.
31. Пейве А.В. Связь осадконакопления, складчатости, магматизма и минеральных месторождений с глубинными разломами. Изв. АН СССР, сер. геол., № 3, 1956.
32. Ренц Г.Г., Олбердинг Г., Дэллмес К.Ф., Паттерсон Дж.М., Роби Р.Г., Уэйсборд Н.Э. Хозе Мак-Волл. Восточновенесуэльский бассейн. Сб. "Распространение нефти", Гостоптехиздат, 1961.
33. Симонсон Р.Р. Нефть в долине Сан-Диего в Калифорнии. Сб. "Распространение нефти", Гостоптехиздат, 1961.
34. Фаттахутдинов Г.А. Нефтяные залежи в терригенном девоне юго-восточного склона Русской платформы, окраинированные грабенами и сбросами. "Геология нефти и газа", 1970, № 5.
35. Фридль К. Нефтяные месторождения Венского бассейна. "У Межд. нефтий конгресс", т. I, Гостоптехиздат, 1961.
36. Хайн В.Е. Общая геотектоника. "Недра", 1964.
37. Чирвинская М.В. О классификации разрывных нарушений территории Украинской ССР. "Проблемы физики Земли", Геофизический сборник АН УССР, "Наукова думка", вып. I5, 1966.
38. Шад А. Нефтеносность Рейнского грабена. "Х Межд. геол. конгресс", т. 2, Гостоптехиздат, 1959.
39. Эздрич М.Б. Новые вероятные зоны нефтегазонакопления на юго-восточном склоне Русской платформы. Сб. "Геол., нефтегазоносность и методика поисково-разведочных работ в Нижнем Поволжье". Тр. НВНИИГТ, вып. II, 1969.
40. Виг Г., Бельисса А., Ренц Г. и др. Геологическое строение осадочных бассейнов и нефтяных месторождений Венесуэлы. "Х Межд. геол. конгресс", т.3, Гостоптехиздат, 1959.

41. C u r r e n t A.M. Gilbertown field, Choctaw County, Alabama. "Structure of typical American oil fields", vol. III, Tulsa, 1948.
42. Corpus Christi. Geological society. A simposia 1961-1962.
43. H a g e r D.S., B u r n e t t C.M. Mexia-Talco fault line in Hopkins and Delta couties Texas. BAAPG, N 3, 1960.
44. H a d b e r g H.D. , S a s s L.C., F u n k h o u s e r H.J. Oil fields of Greater Oficina area Central Anzoategui, Venezuela. BAAPG, N 12, 1947.
45. H e r a l d F.A. (ed) Occurrence of oil and gas in Northeast Texas, 1951.
46. H o b s o n G.D. Faultind and oil accumulation. "Inst. Petrol", v. 42, 1956, 23-26.
47. J a n o s c h e k R. The Inner - Alpine Vienna basin. "Habitad of oil", 1958.
48. K n e b e l R.M. The Fashing fault find. "The petroleum ingineer", N 2, 1957.
49. K o r n f e l d J.A. East Texas basin offers new type fi- elds. "World oil", v. 146, N 1, 1958.
50. L a n d e s K.K. Petroleum geology, New York, 1959.
51. M c C a l l u m H.D. Darst Creek oil field, Guadalupecounty, Texas BAAPG, N 1, 1933.
52. M e n c h e r E., F i c h e r H.J., R e n z H.H., W a l - l i s W.E., P a t t e r s o n J.M., R o b l e R.H. Geolo- gy of Venezuela and its oil fields. BAAPG, N 4, 1953.
53. M o o r e E.L., Shields J.A. Chimire field., Anzoategul, Ve- nezuela BAAPG, N 5, 1952.
54. M o o r e D.B. Subsurface geology of the Gilbertown oil fild . Geological surway of Alabama, Circular 35, 1967.
55. M u r r a y G.E. (ed.). Geology of the Atlanic and Gulf Coast province of North America, 1961.
56. Oil and Gas fields of Southeast Louisiana, vol. 1, 1965.
57. O l s o n W.S. Source - bed problem in Velasques fields, Colombia. BAAPG, N 8, 1954.
58. P a t t e r s o n J.M., W i l l s o n J.G. Oil fields of Mercedes region, Venezuela. BAAPG, N 12, 1953.
59. P h i l p o t t T.H. Louisiana - Arkansas region may yield abbtional oil. "World oil", N 6, v.35, 1952.
60. Q u a r l e s M.Jr. Salt - ridge hypothesis on origin of Texas Gulf Coast type of faulting. BAAPG, N 3, 1953.

61. R e a s e r D.F. Balcones fault system: its northeast extent. BAAPG, N 10, 1961.
62. S c h w a r t z C.B. Fouke oil and gas field,, Miller county, Arkansas. "Structure of typical American oil fields", v. 3, 1948.
63. S m i t h D.A. Theoretical consideration of sealing and non-sealing faults. BAAPG, N 2, 1966.
64. S t e i n h o f f R.O. Professor view continental slope origin of Gulf Coastal faulting. "Oil and gas Journ", v. 65, N 12, 1967.
65. S t o w a s s e r H. Strukturbildung am Steinbergbruch im Wiener Becken. "Erdoel - Erdgas - Zeitschrift", 82, Mai 1966.
66. Structure maps of Texas oil fields. Dallas, 1957.
67. S t u a r t S. U m p l e b y. Faulting, accumulation and fluid distribution in Ramsey pool, Payne County, Oklahoma. BAAPG, v. 40, N 1, 1956.
68. T u c k e r D.R. Lower cretaceous geology northwestern Karnes county, Texas. BAAPG, N 5, 1968.
69. Typical oil and gas fields of southeast Texas, 1962.
70. Typical oil and gas fields of Southwestern Louisiana, 1964.
71. Typical oil and gas fields of southeast Texas; ed. R.L. De-nhan, 1967.
72. W a l t h a l l B.H., W a l p e r J.L. Peripheral Gulf rif-fing Northeast Texas. BAAPG, N 1, 1967.
73. W e e k s L.G. Habitat of oil and some factors that control it. "Habitat of oil", 1958.
74. W e n d e r l a n d E.A., Shelby T.H. Talco oil field, Franklin and Titus counties, Texas. "Structure of typical American oil fields", v. 3, Tulsa, 1948.
75. W i g g i n s P.N. Geology of Ham Gossett oil field, Kauf-man county, Texas. BAAPG, N 2, 1954.
76. W r i g h t A.C. Merigale field, Wood county, Texas. BAAPG, N 12, 1945.
77. Y o u s s e f M.J. Structural pattern of Egypt and its interpretation. BAAPG, N 4, 1968.

ОГЛАВЛЕНИЕ

Введение	3
I. Месторождения с тектонически экранированными залежами нефти и газа за рубежом	5
Восточновенесуэльский бассейн	5
Бассейн Галф Кост (США)	23
Венский бассейн	57
Другие нефтегазоносные регионы (впадины Магдаленская, Сан-Хоакин, Иллинойская, Рейнский и Суэцкий грабены и др.)	68
2. Общие закономерности строения тектонически экранированных залежей на моноклиналях и методика их поисков	84
3. Перспективы поисков тектонически экранированных залежей в нефтегазоносных регионах СССР	92
Днепровско-Донецкая впадина	92
Другие регионы СССР	107
4. Некоторые вопросы формирования тектонически экранированных залежей на моноклиналях	112
Литература	118

Министерство геологии УССР
Украинский научно-исследовательский
геологоразведочный институт (УкрНИГРИ)

В.А.Витенко, Б.П.Кабышев

Закономерности строения и формирования тектонически
экранированных залежей нефти и газа

Редактор А.М.Комкова
Корректор Л.И.Гузюк

БГ 09797. Подписано к печати 30.XI 1971г.

Формат 60 x 84 $\frac{1}{16}$. Бум. л. 3, 875.

Печ. л. 7,2. Уч.-изд. л. 6,3. Тираж 600

Цена 70 коп. Зак. 226.

Издательство Львовского университета
Львов, Университетская, I
Ротапринт УкрНИГРИ. Львов, пл.Мицкевича, 8